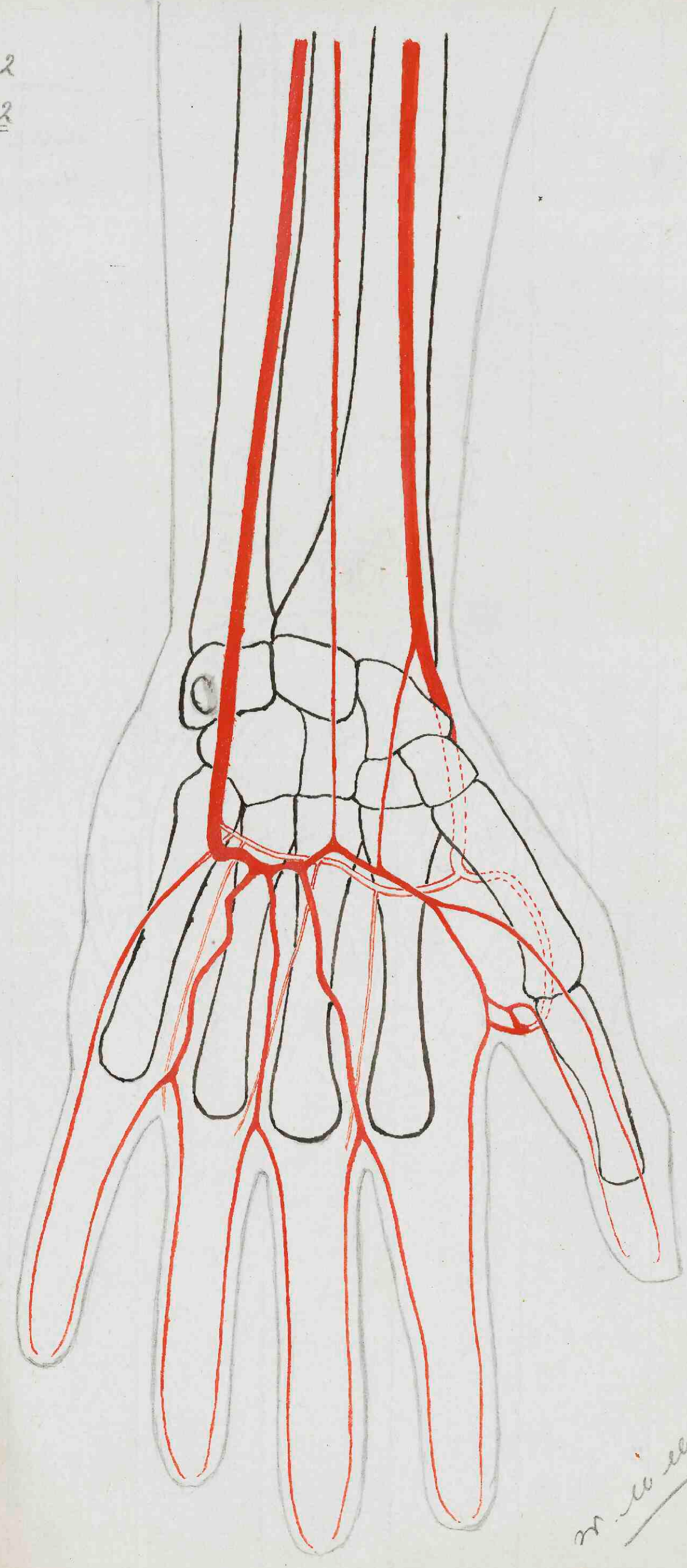




# Anatomische tekeningen

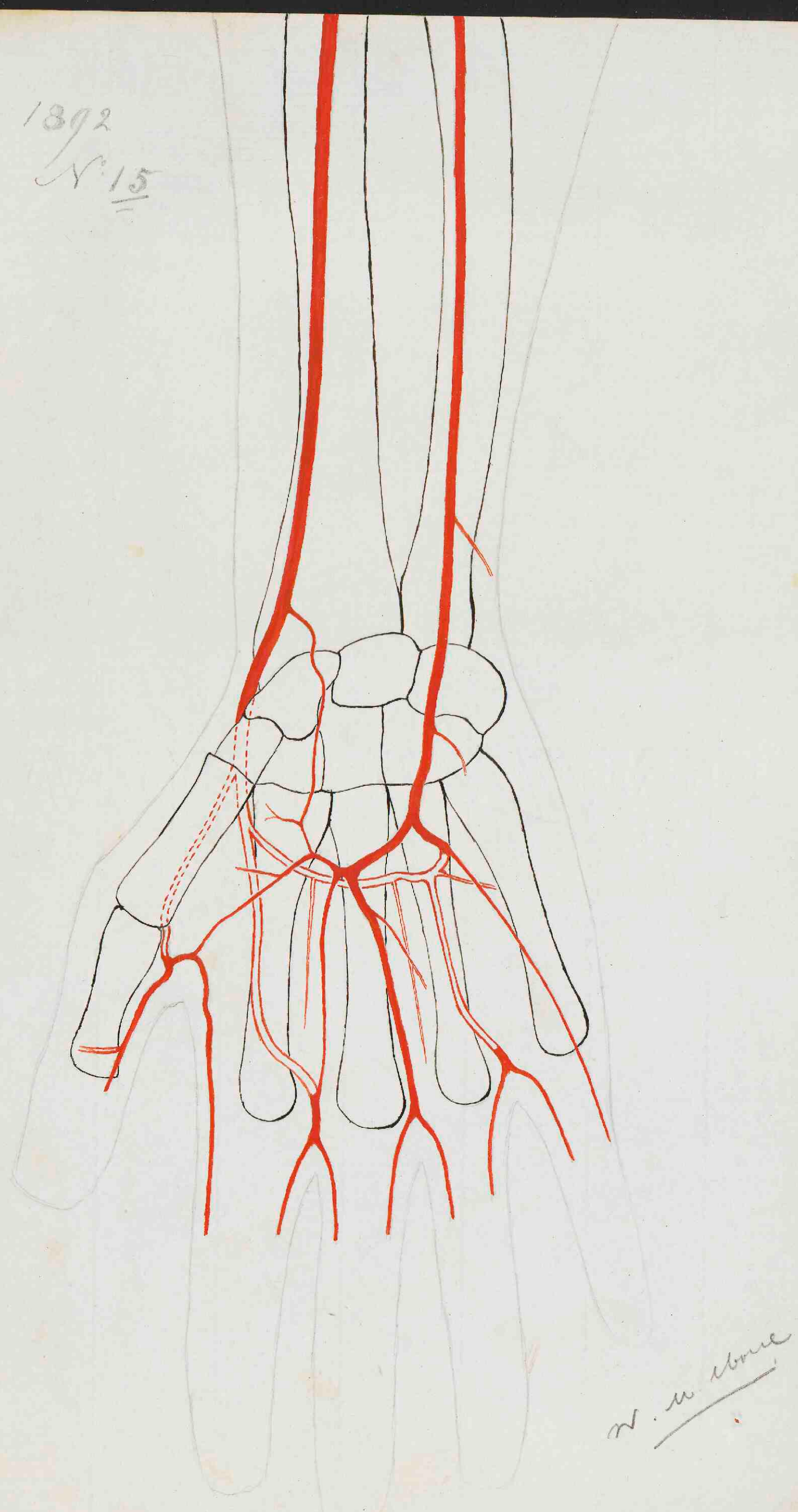
<https://hdl.handle.net/1874/209840>

1892  
S. 2

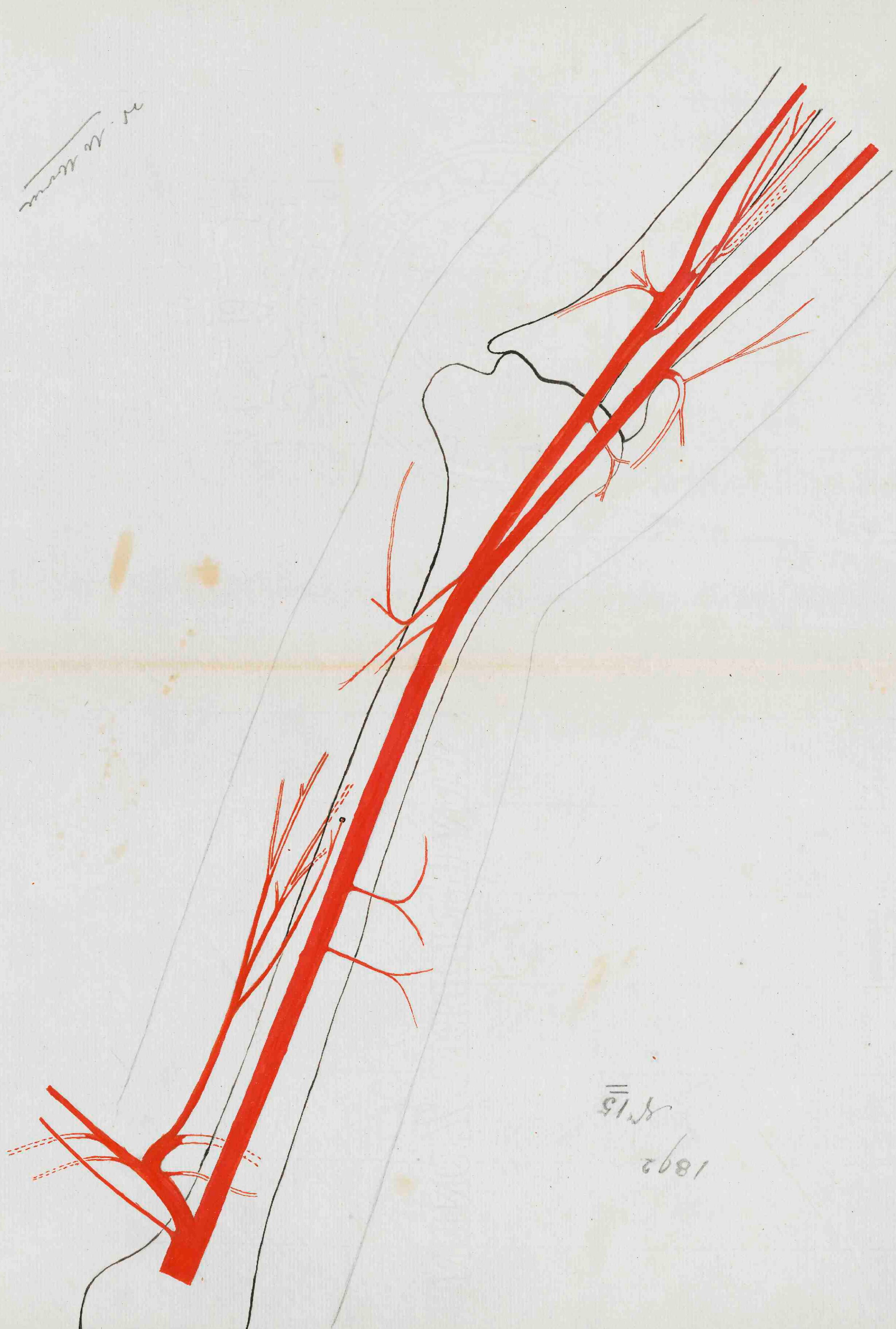


M. de la Roche

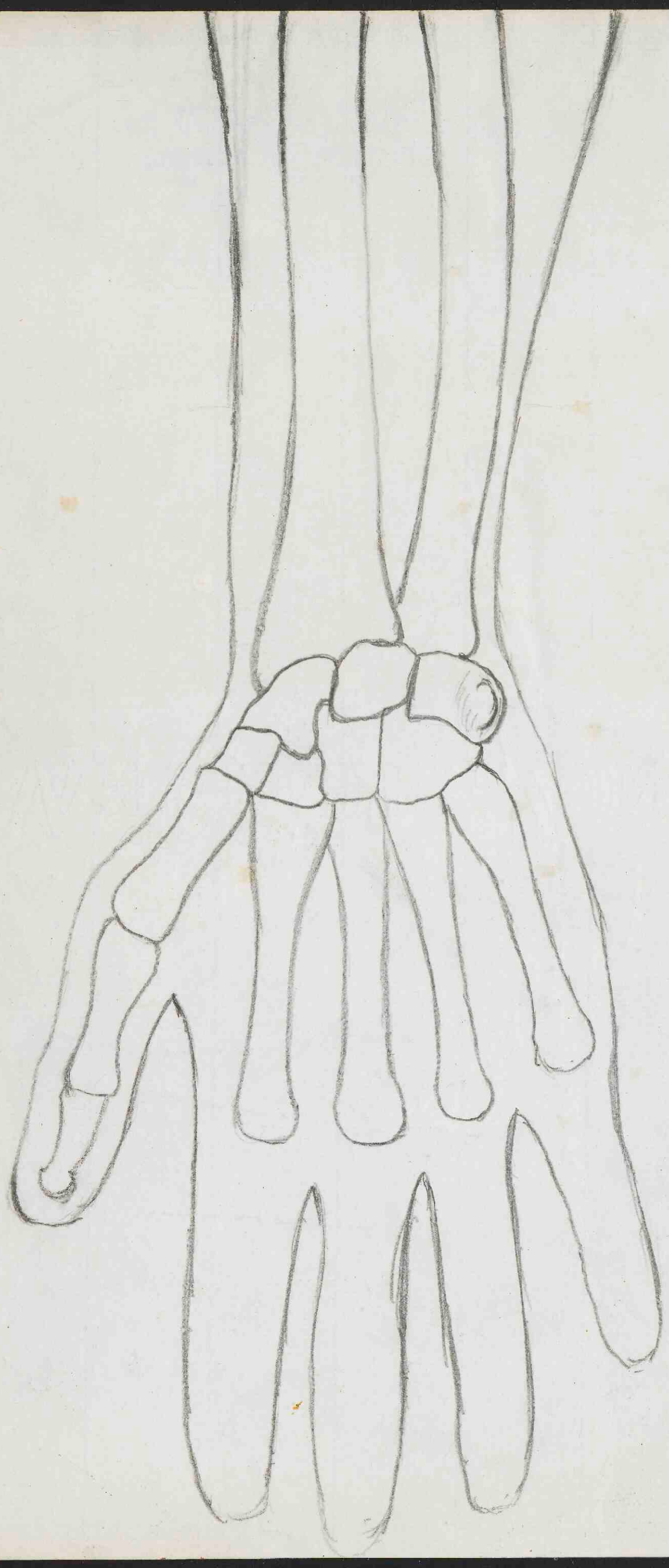
1892  
N<sup>o</sup> 15

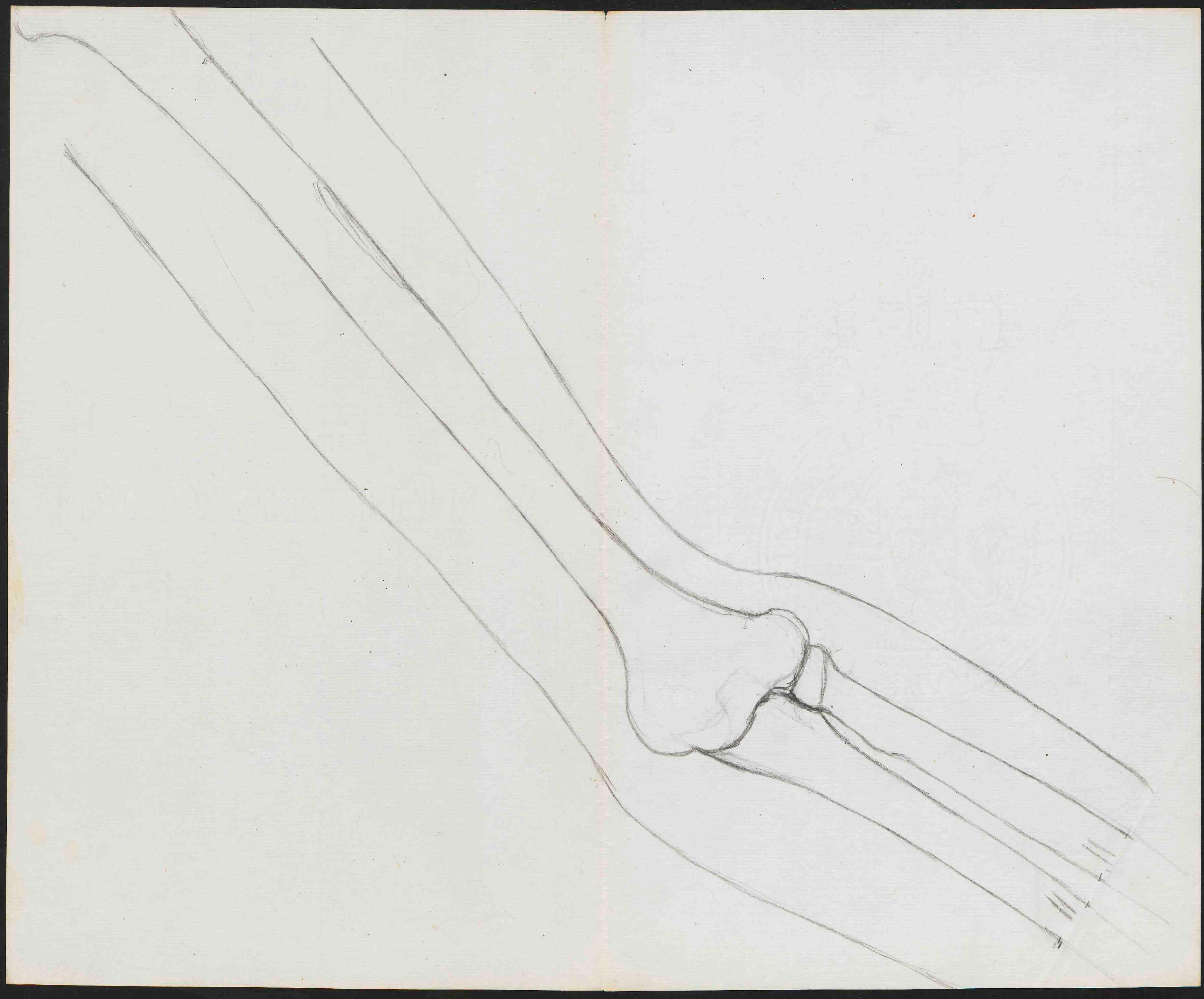


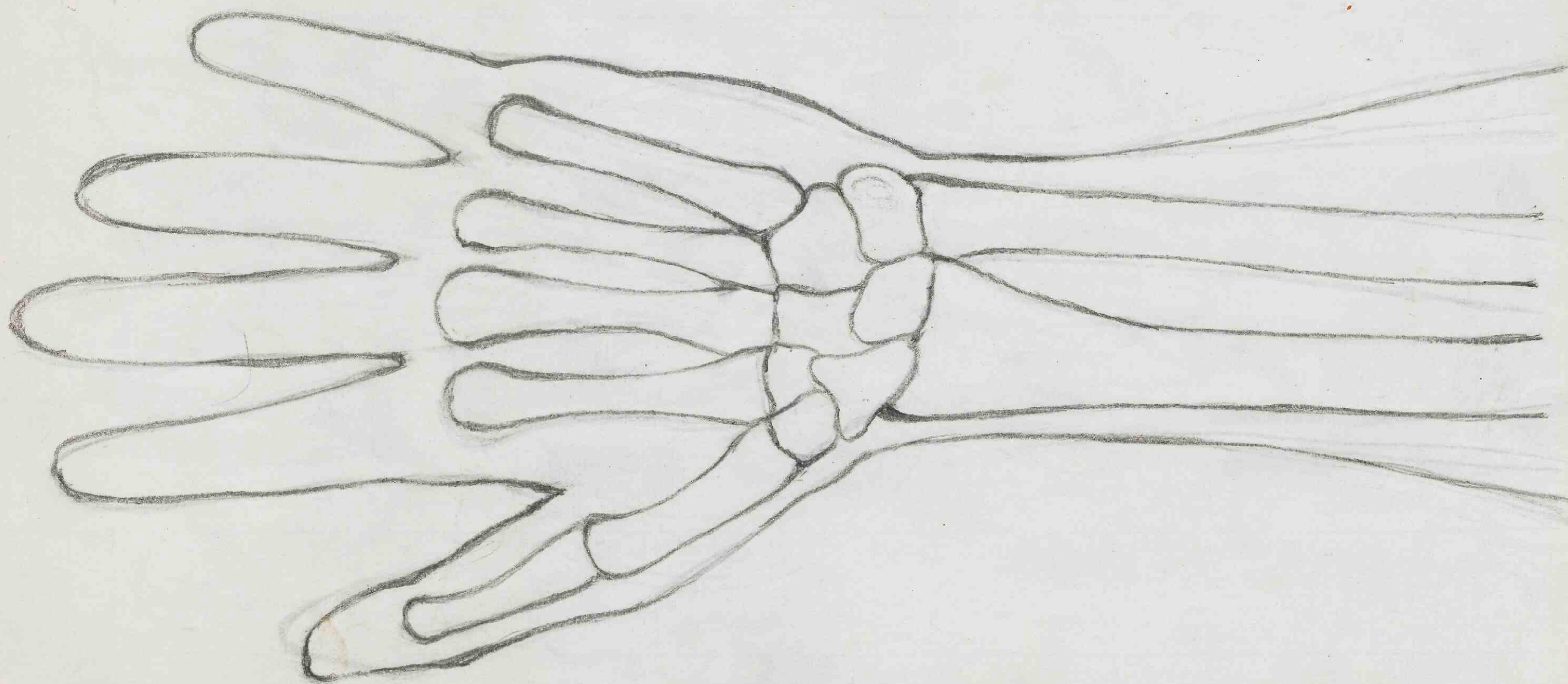
M. M. Moore



1881





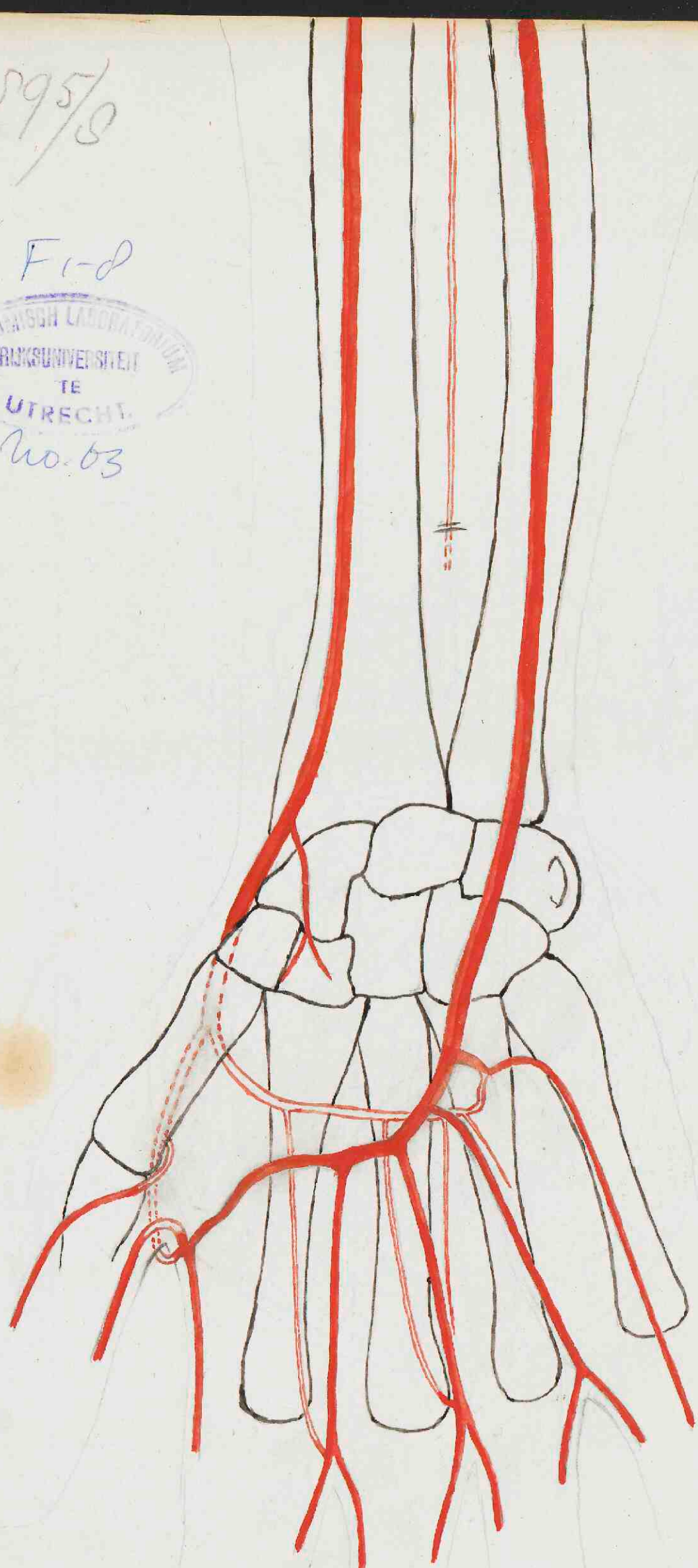


1895/3

F-1-d

RIJKS LABORATORIUM  
RIJKSUNIVERSITEIT  
TE  
UTRECHT

No. 03



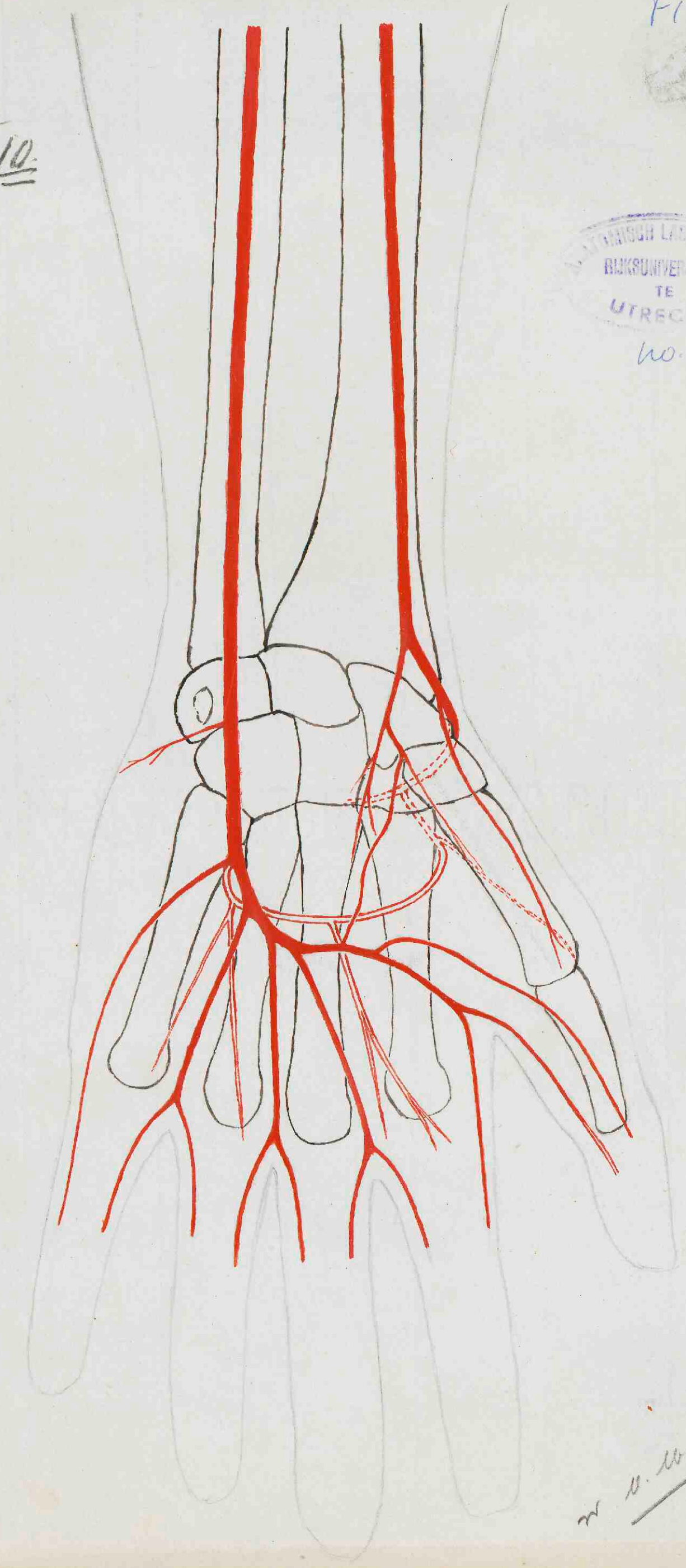


8/9b81

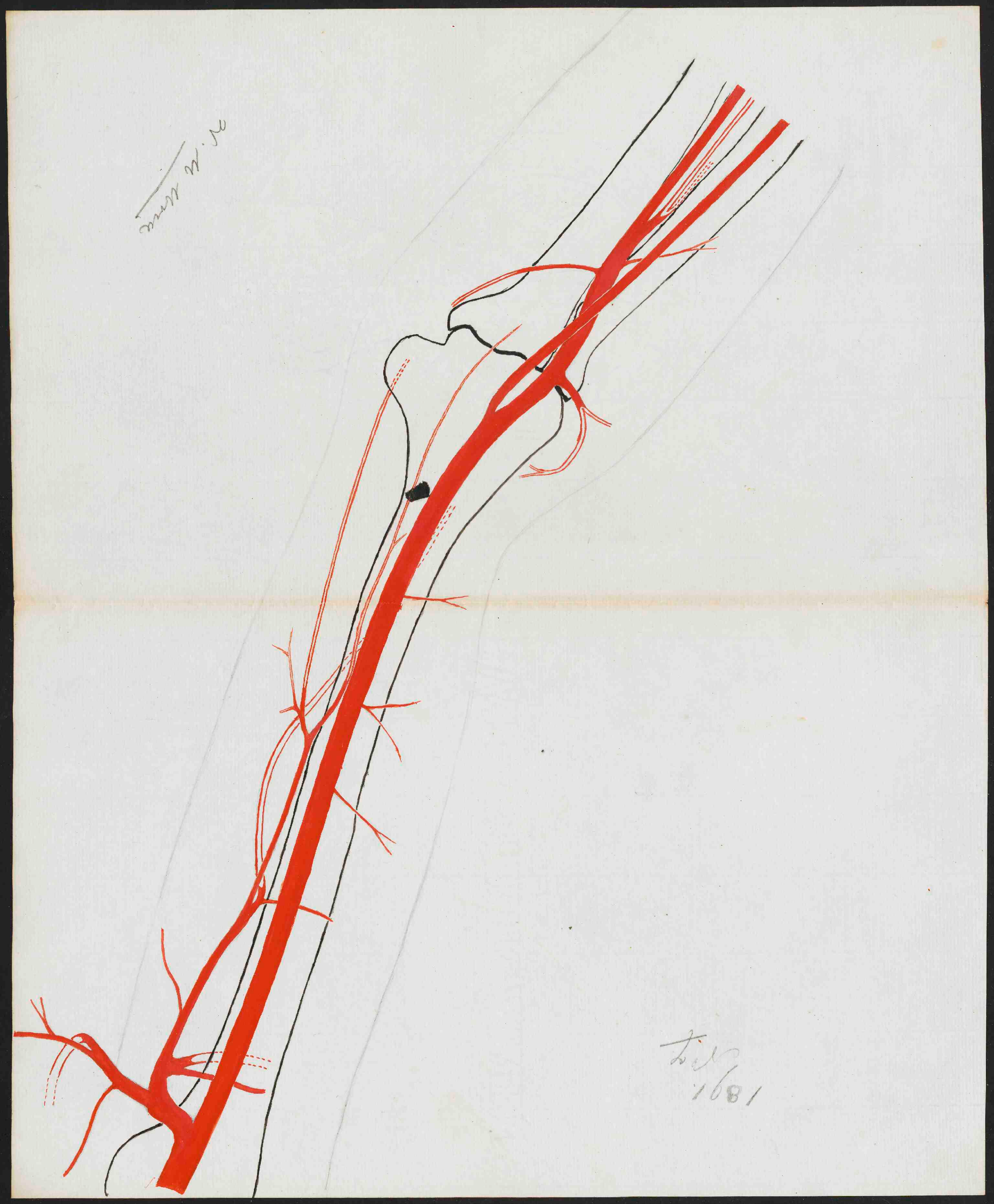
1892.  
N° 10.

F1-D

NEDERLANDSCH LABORATORIUM  
RIJKSUNIVERSITEIT  
TE  
UTRECHT.  
no. 67

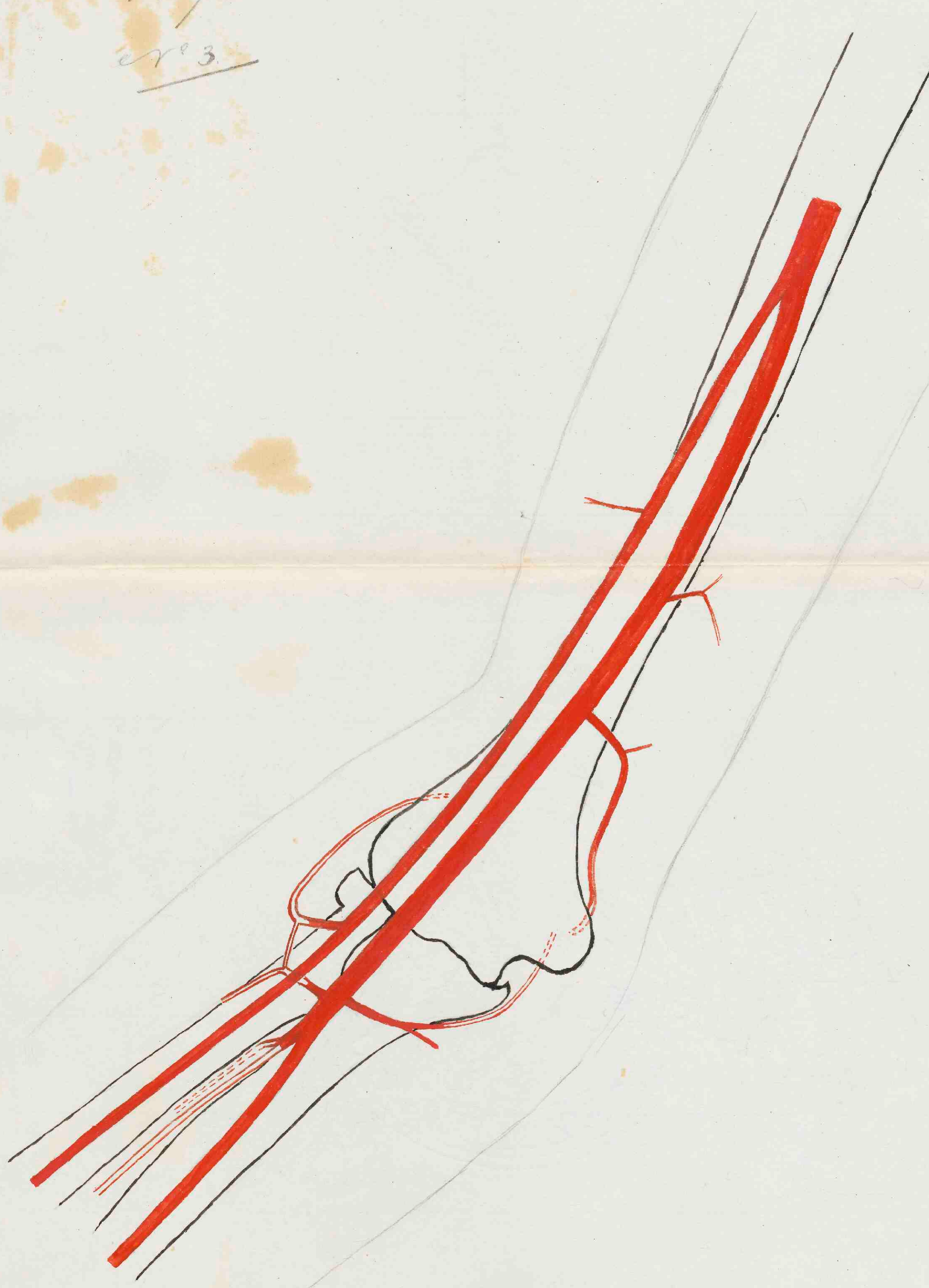






Oct  
1681

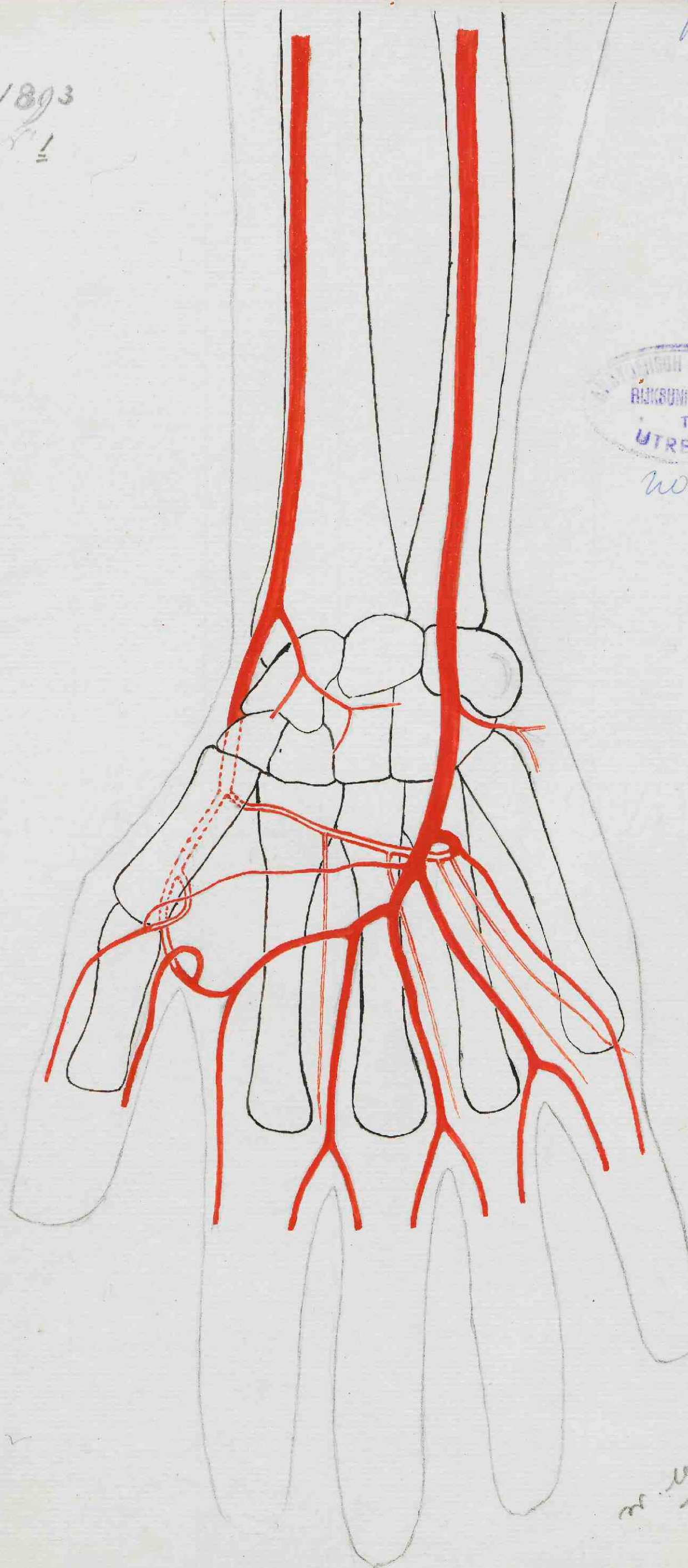
1895  
er<sup>o</sup> 3.



Fl-8

1893

11



DR. J. VAN LAMMEREN  
RIJKSUNIVERSITEIT  
TE  
UTRECHT

no. 46

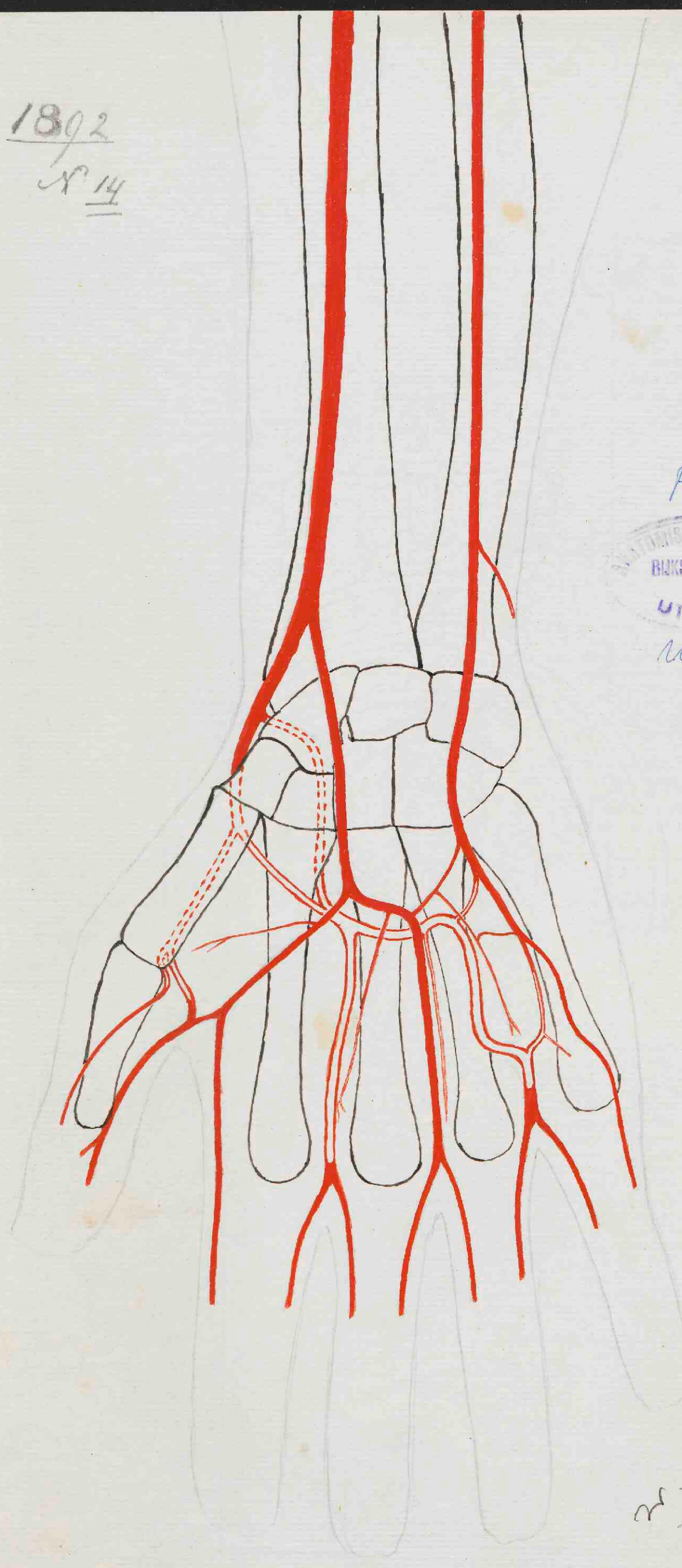
no. 46

1893  
VII



W.H. Wood

1892  
N<sup>r</sup> 14



F. d

STONSON-LASCA  
BUKSUNDEEN  
TE  
UTRECHT

No. 44

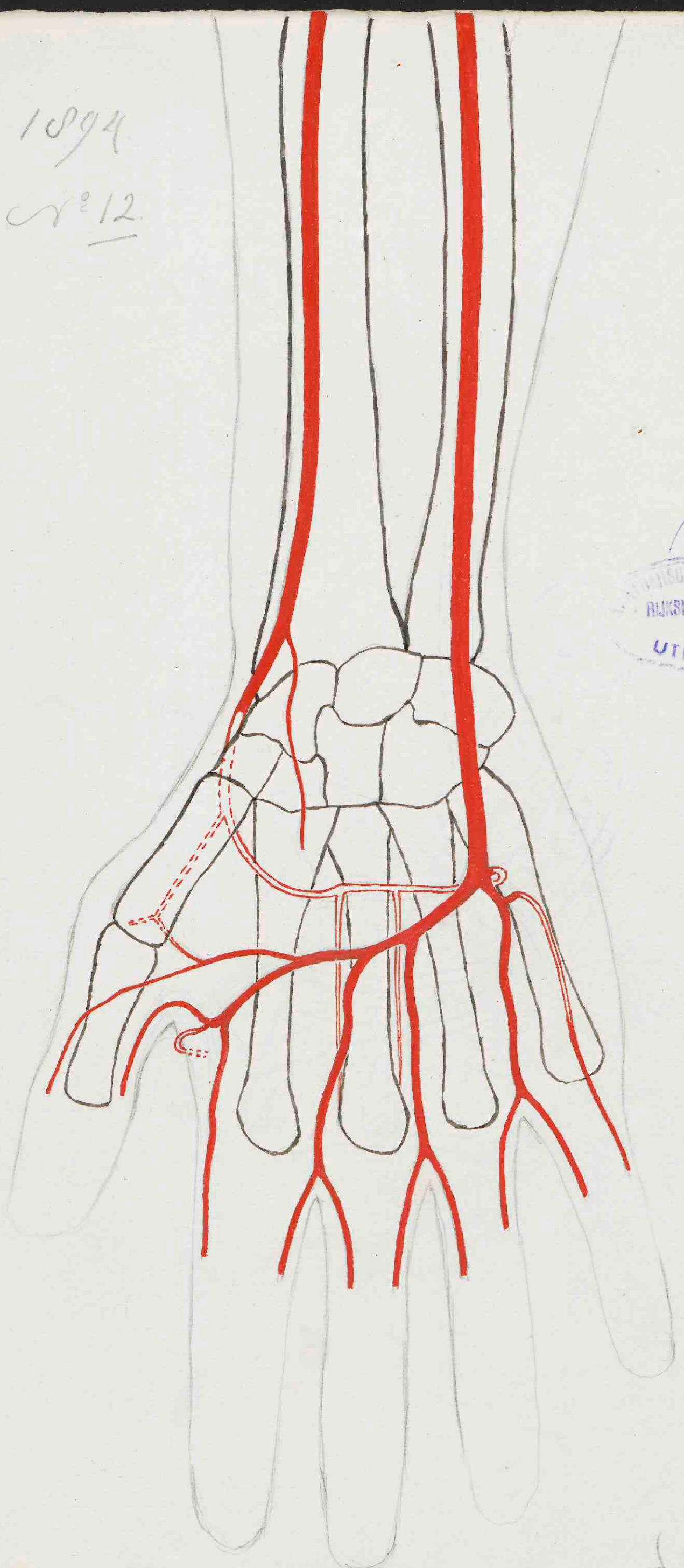
R. M. Moore

F1-8

1094

N° 12

No. 40

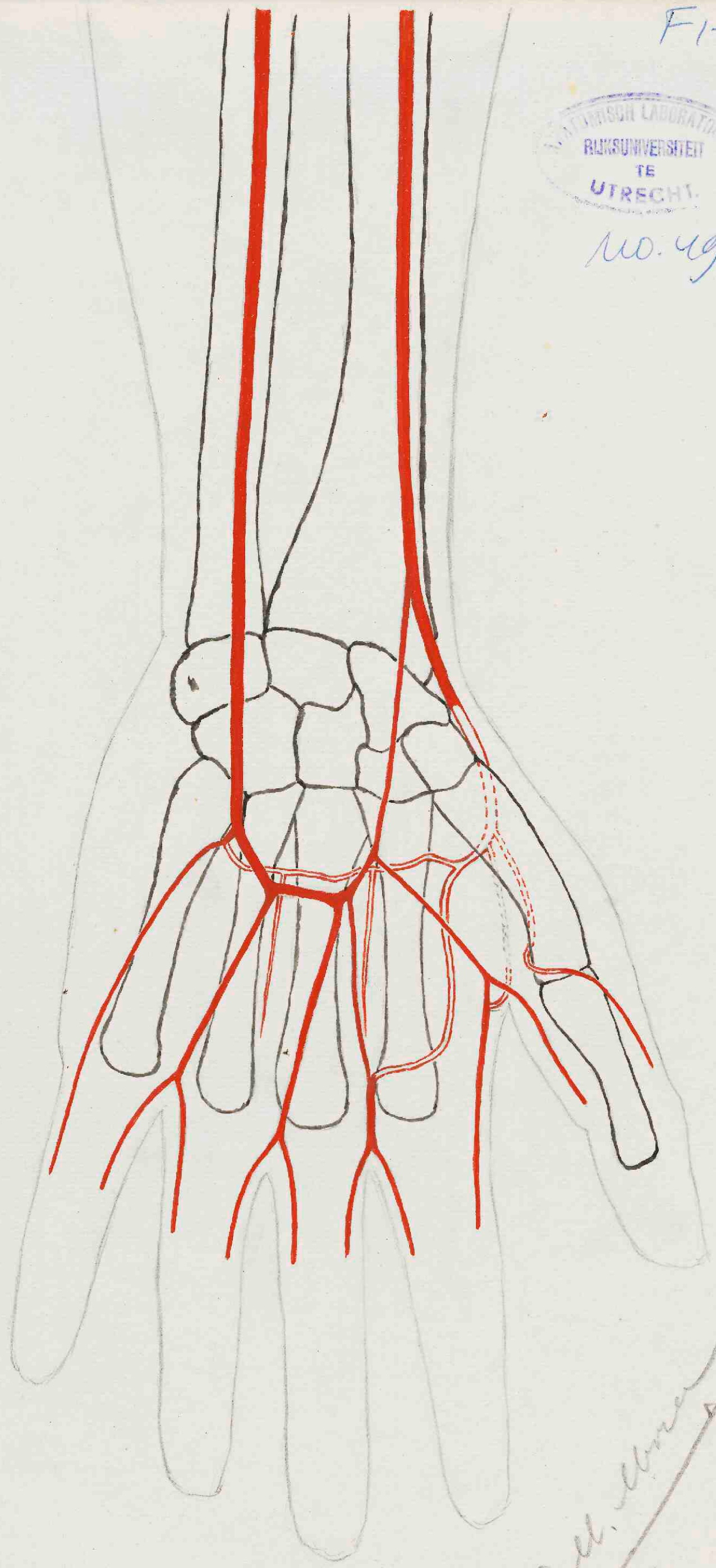


D. S. 1994

F1-8

1895.

W<sup>3</sup>.





1892  
W.W.

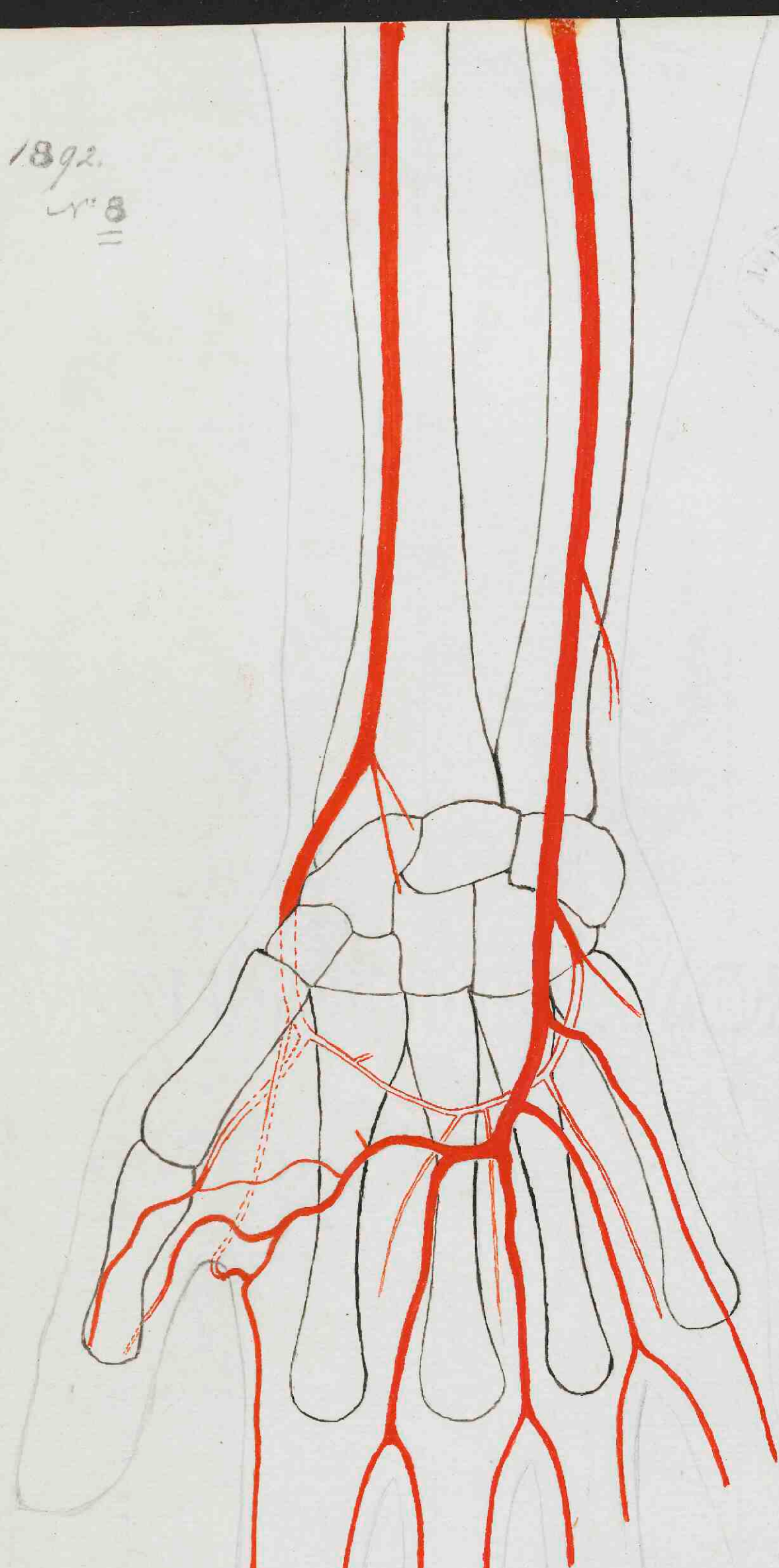
W. W. Wood

Fl-D

1892.  
v. 8  
=



No. 51



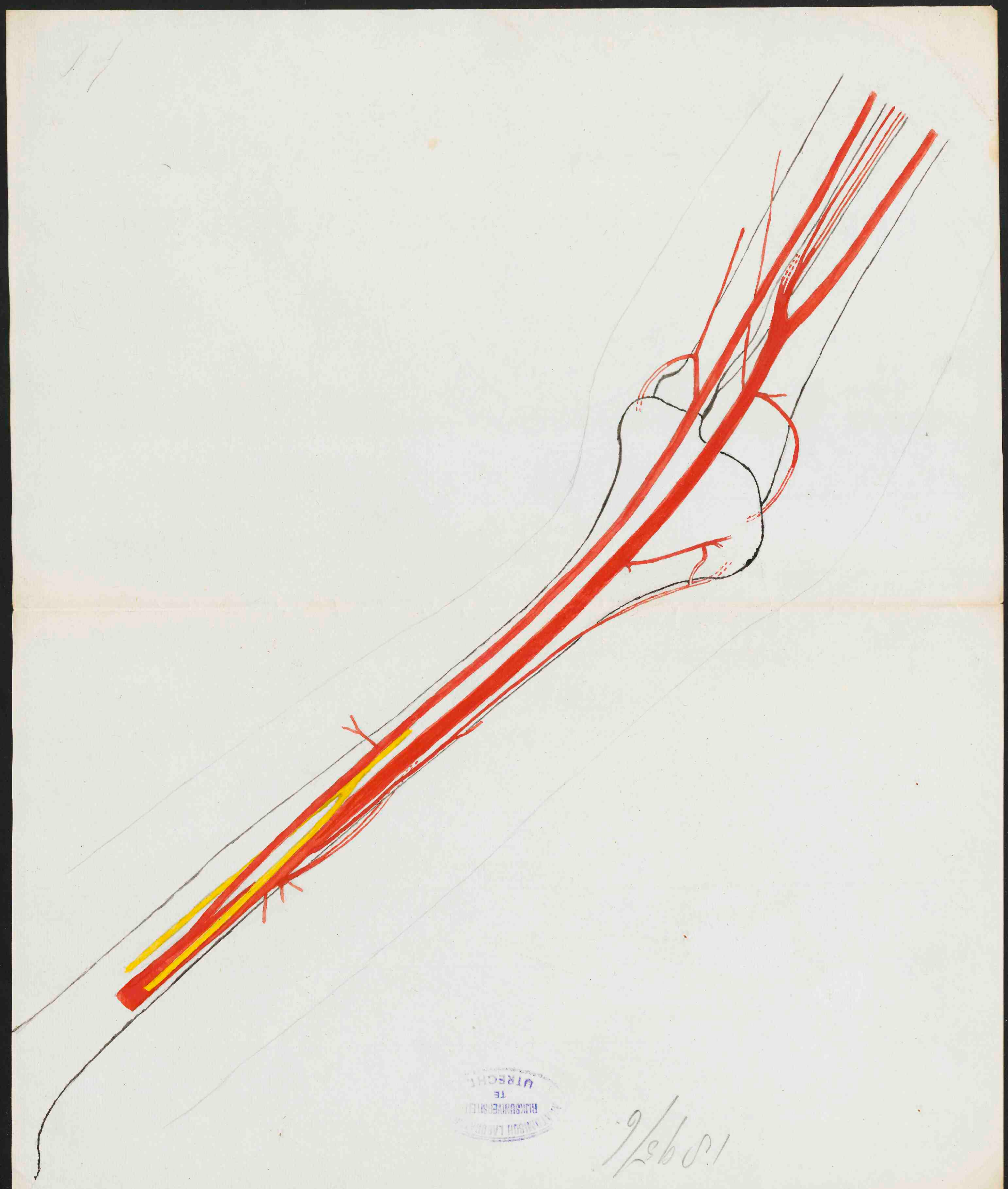
m. v. m.

1895.

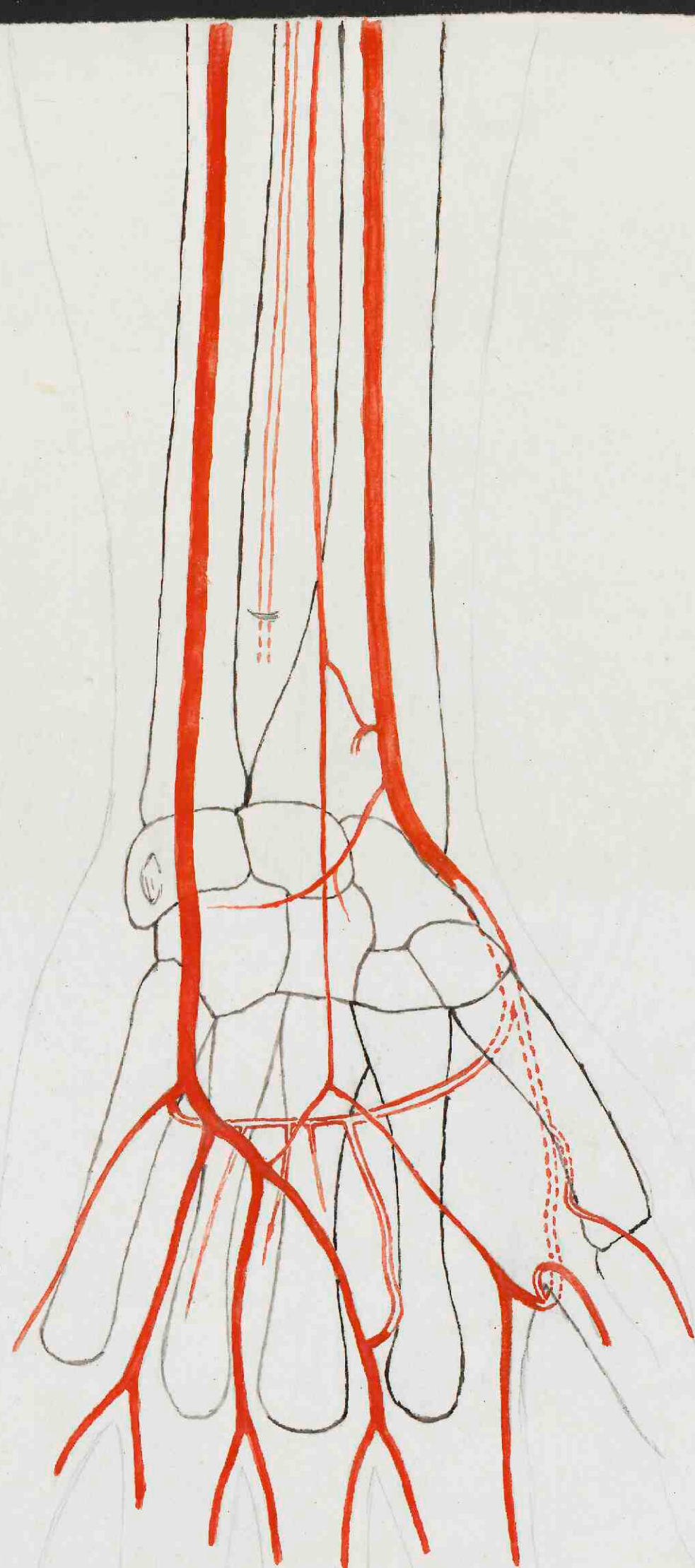
n<sup>o</sup> 3.



*M. Malabaricus.*



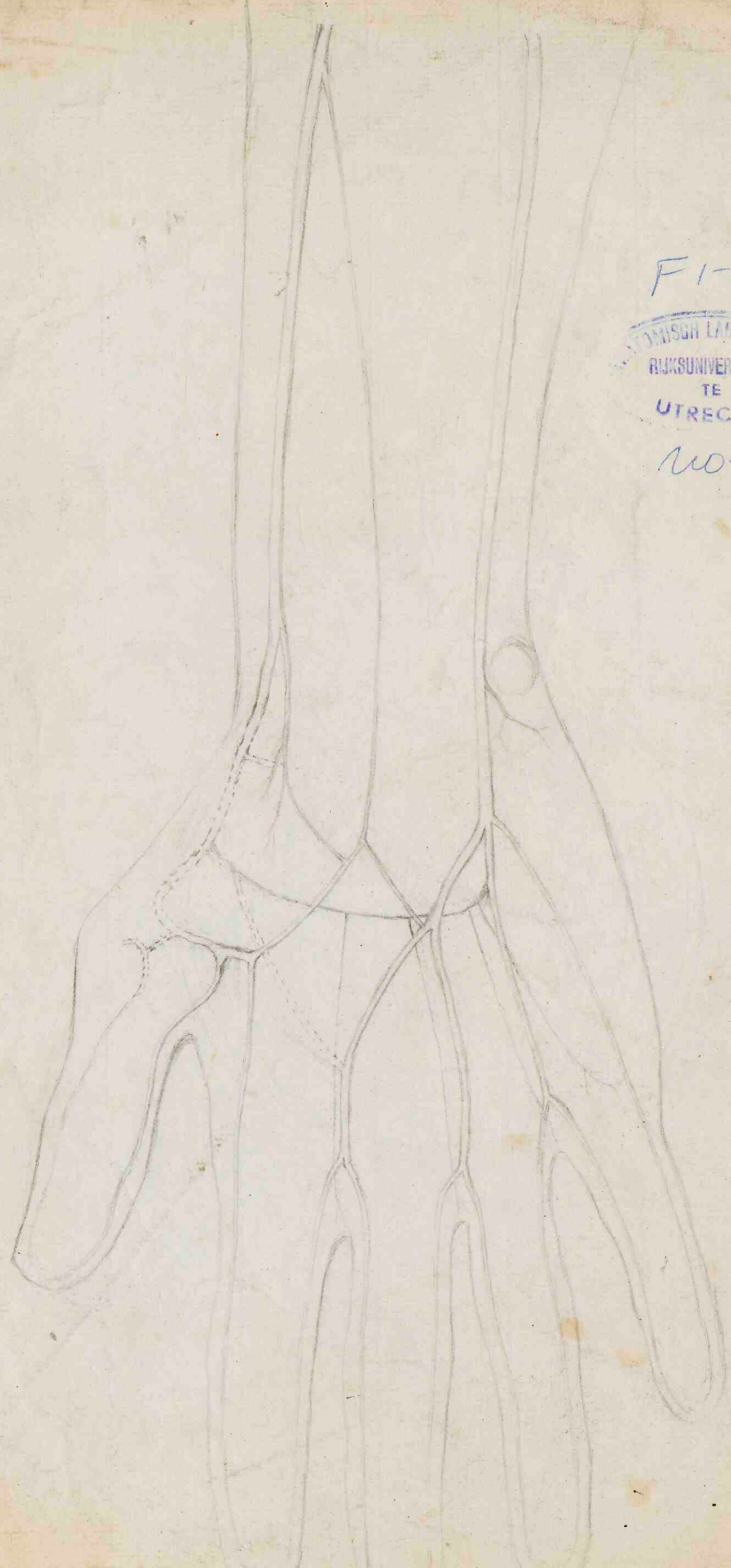
1895/6



F 1-8

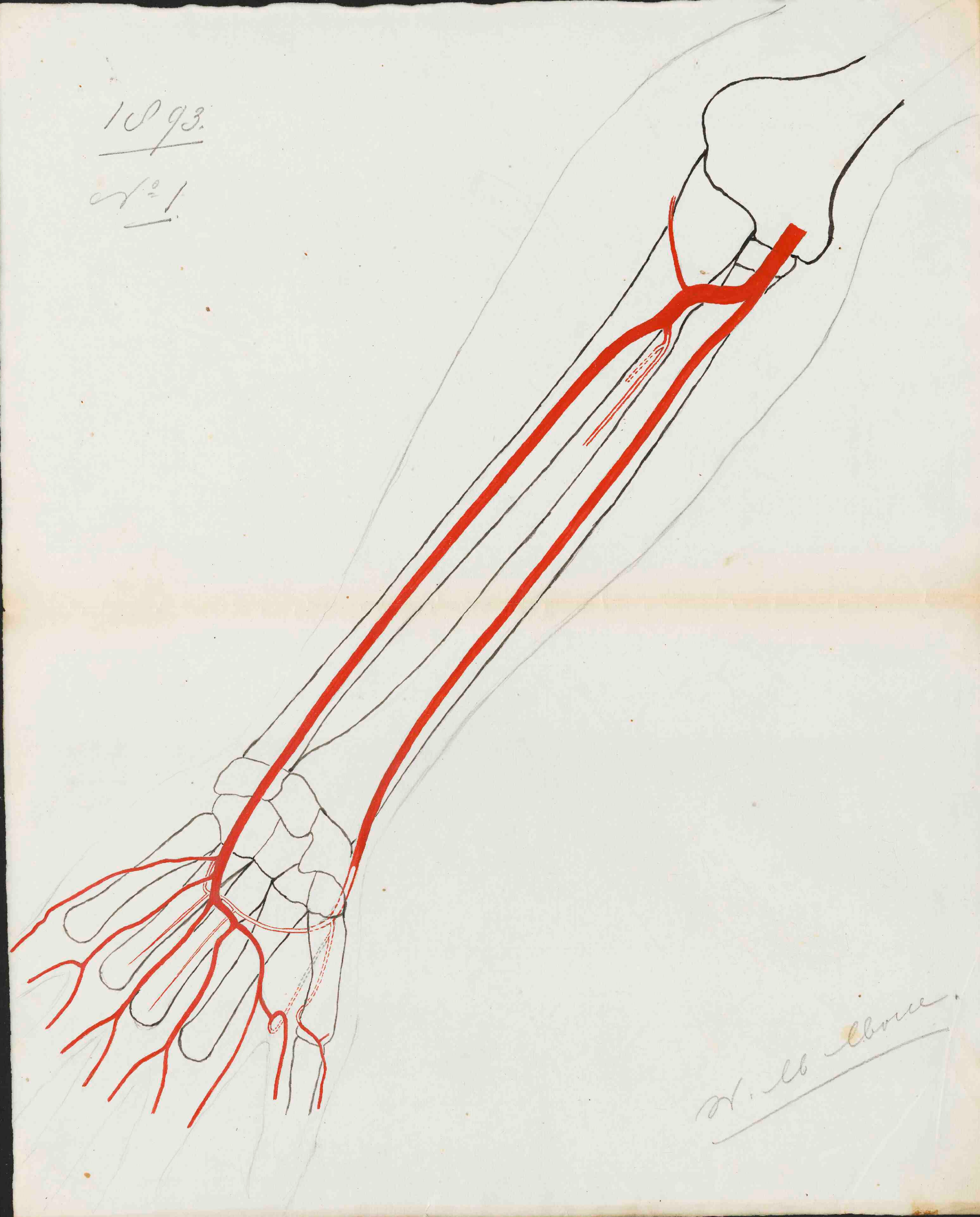
NEDERLANDS  
RIJKSUNIVERSITEIT  
TE  
UTRECHT.

no. 79

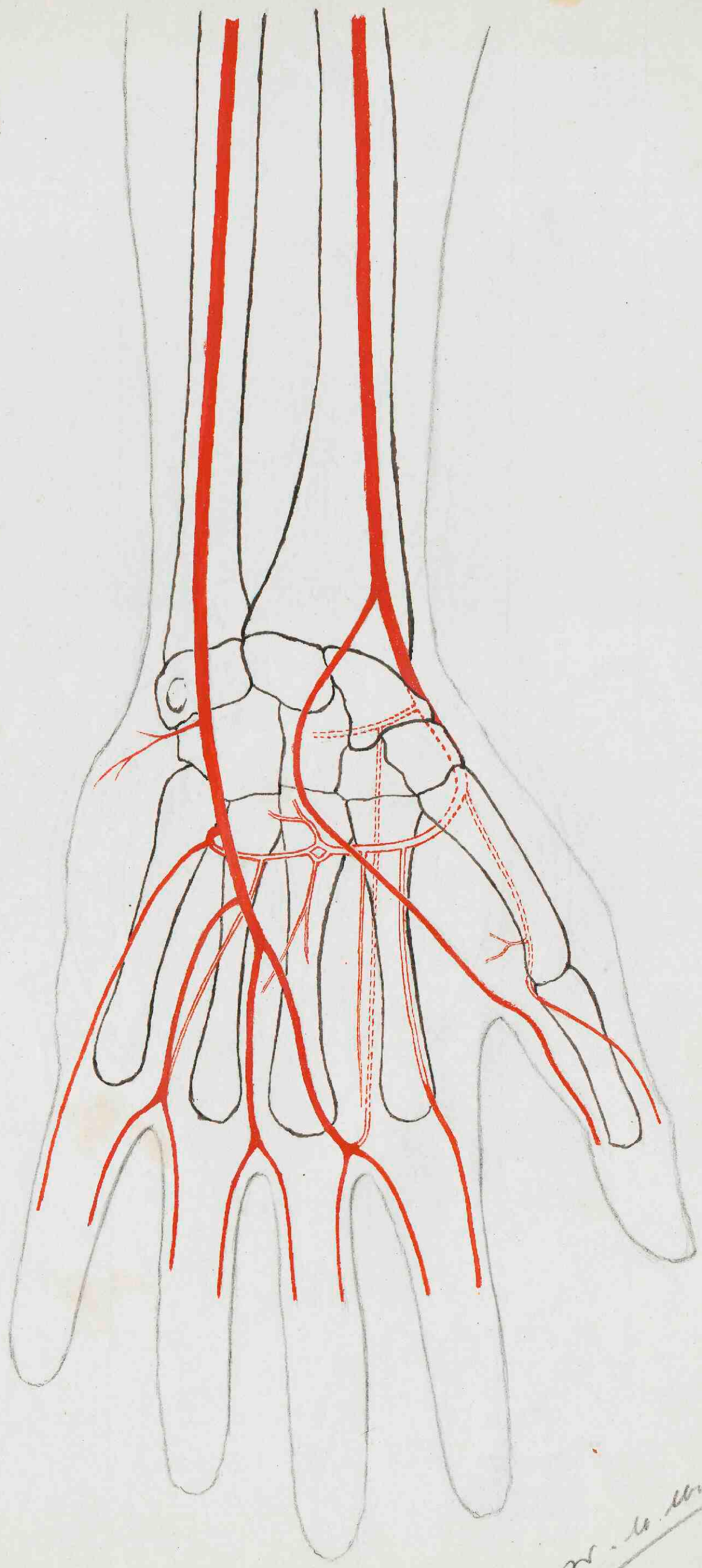


1893.

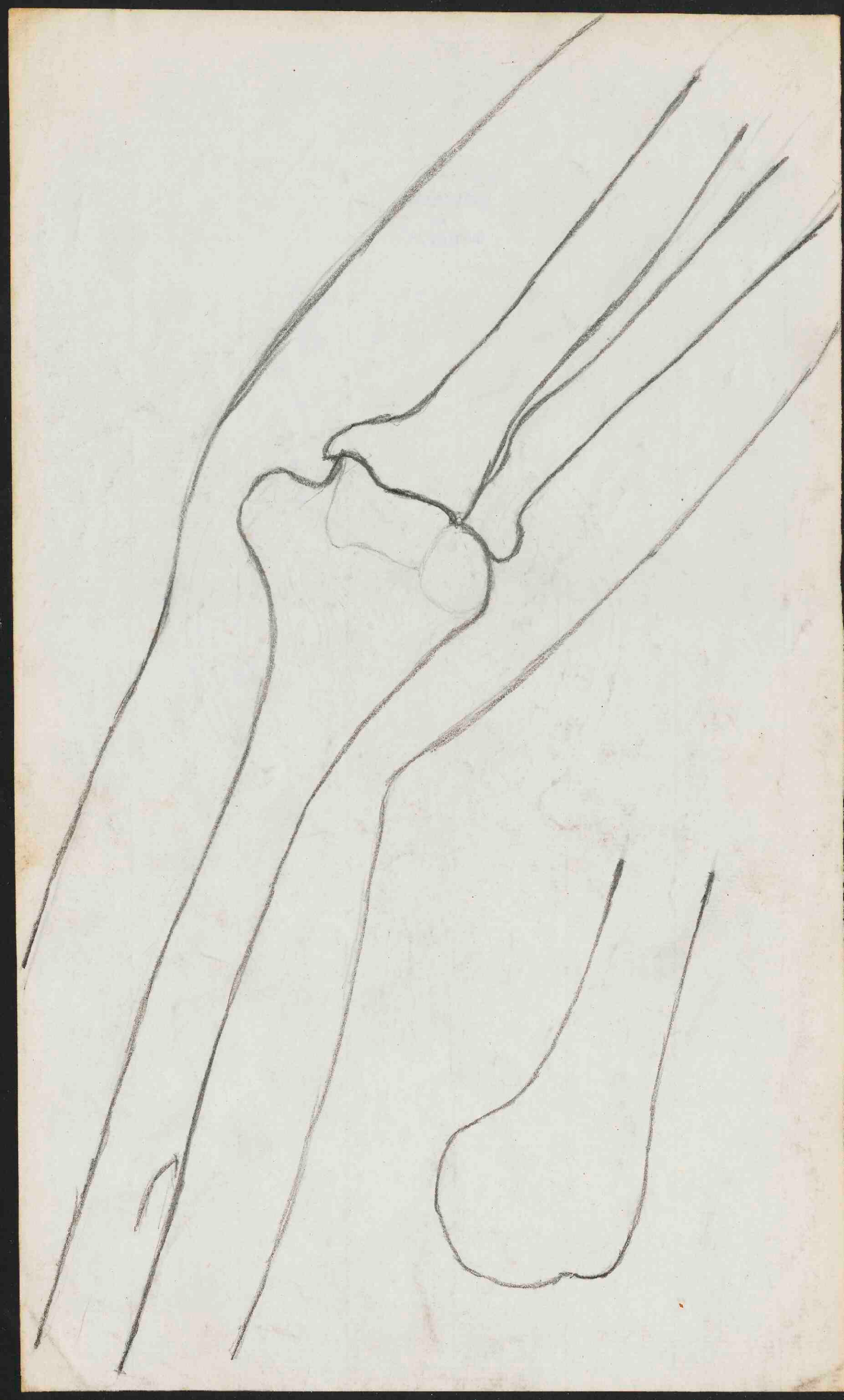
No 1



1893.  
N<sup>o</sup> 2



M. J. Morris





1891  
Nov

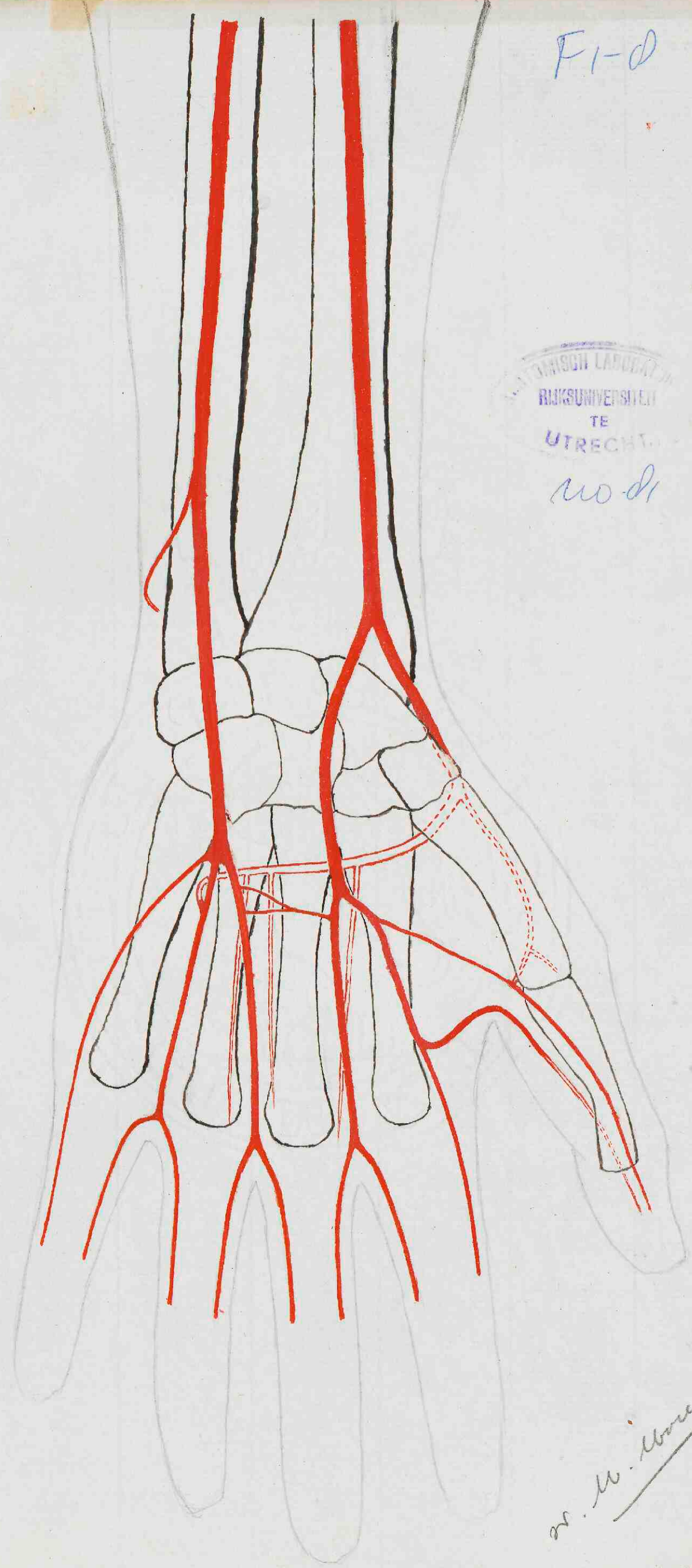
W. H. Moore

F1-0

1891  
N.Y.

RIJKSUNIVERSITEIT  
TE  
UTRECHT

no. 81

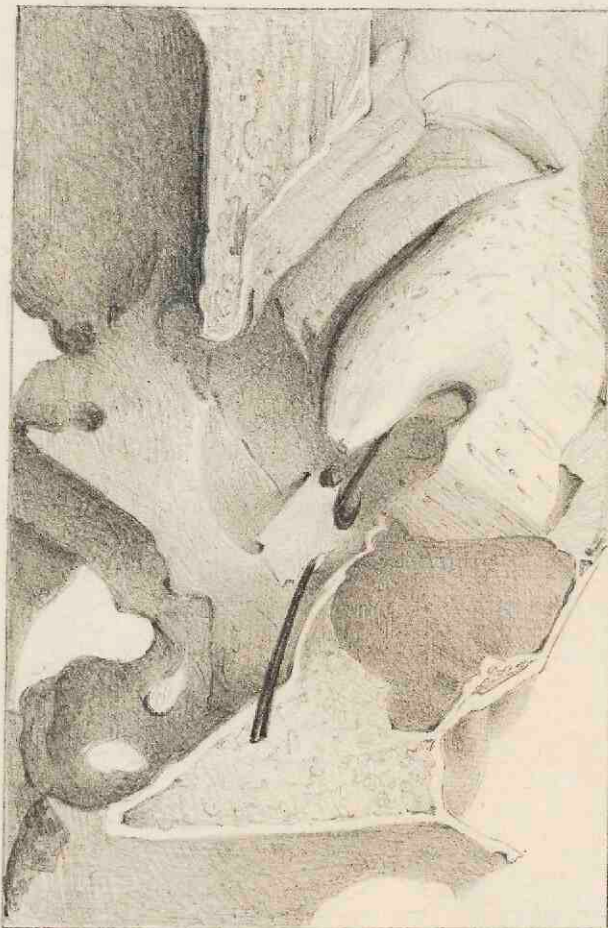


Dr. M. J. Bouw

RIJKSUNIVERSITEIT  
TE  
UTRECHT

FI-2

no. 04



F 1-d



no 83

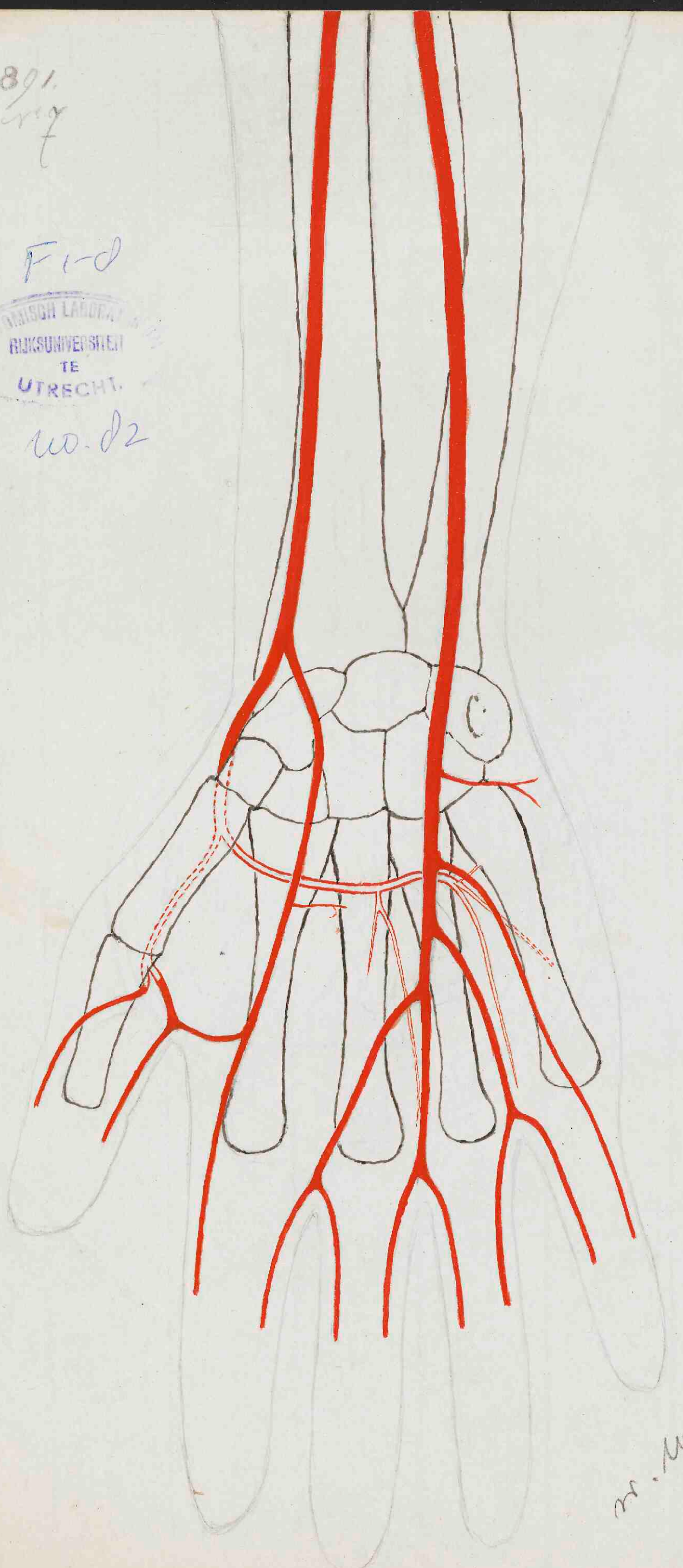


1891.  
Aug

F-1

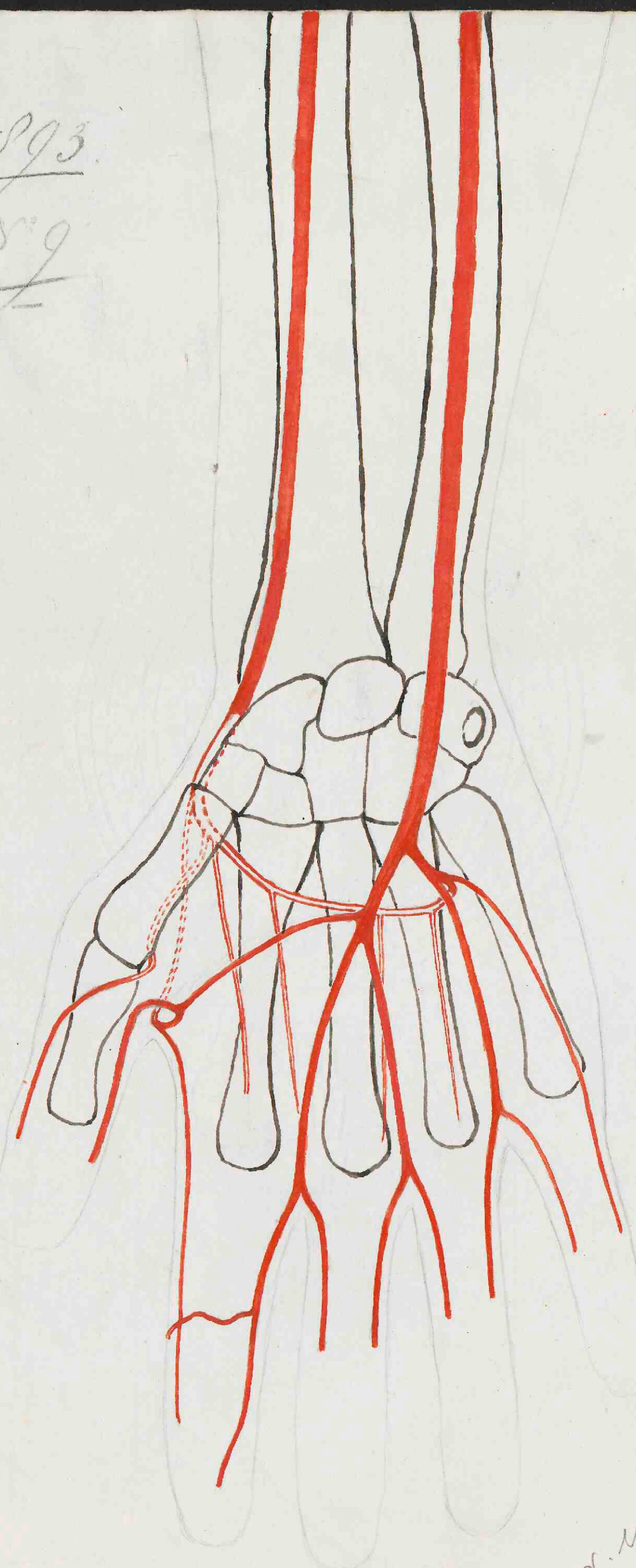
RIJKS-LANDS  
RIJKSUNIVERSITEIT  
TE  
UTRECHT.

W. d2



1893.

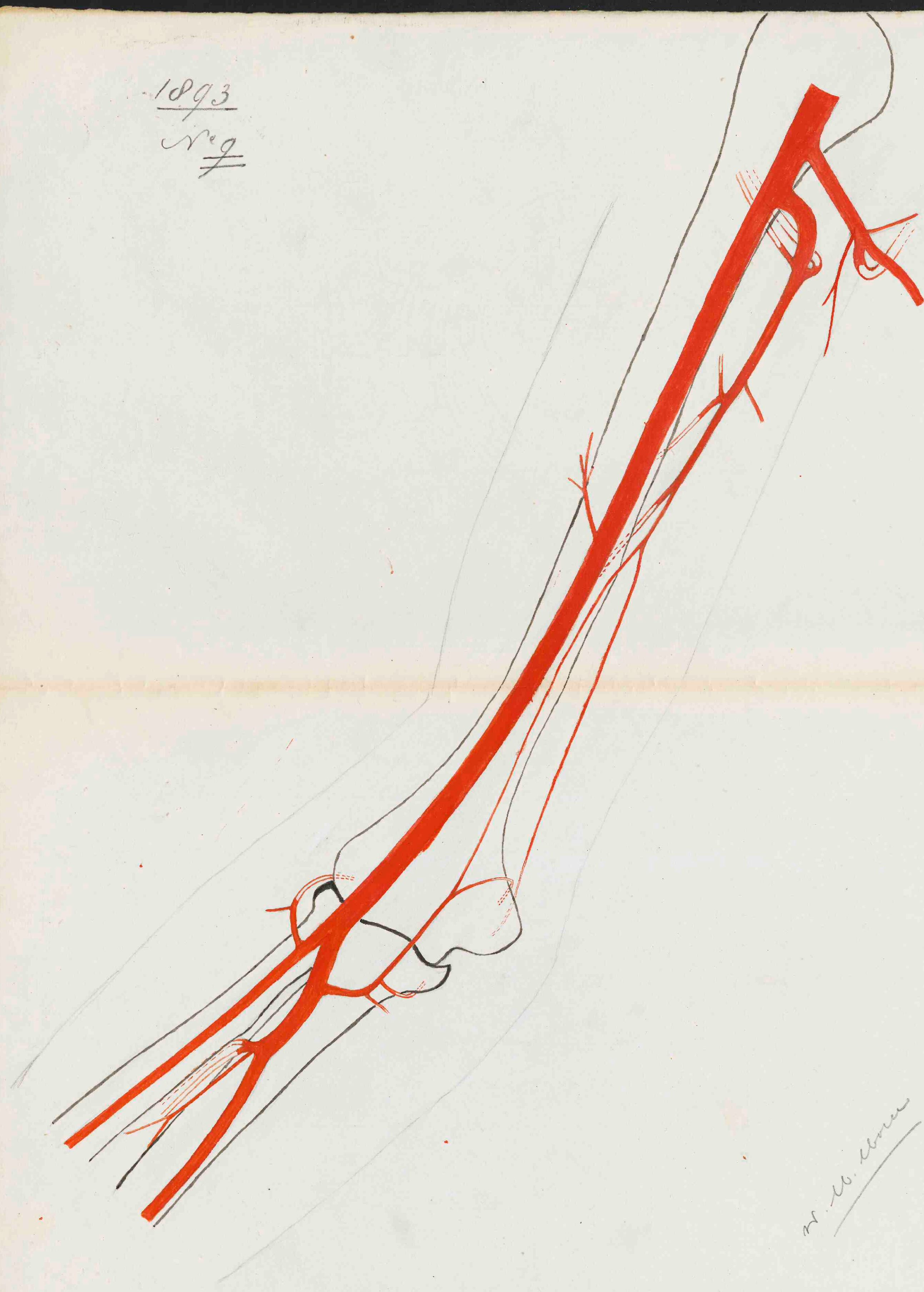
N. L.



M. M. Stone

1893

Neg



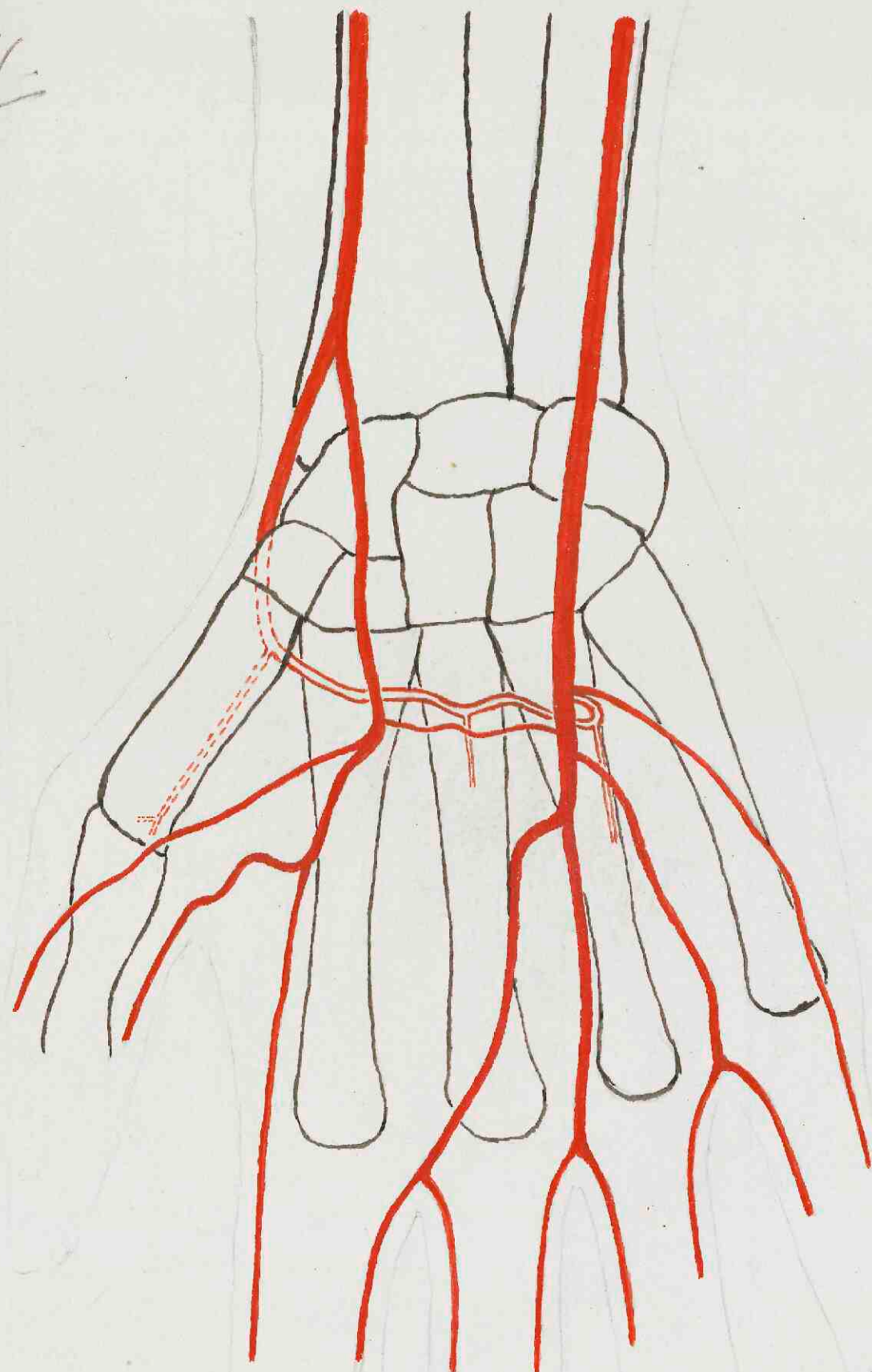
F1-8

RIJKS-LABORATORIUM  
RIJKSUNIVERSITEIT  
TE  
UTRECHT.

no. 60

1893.

w<sup>o</sup> 4



1893.

N<sup>o</sup> 9.



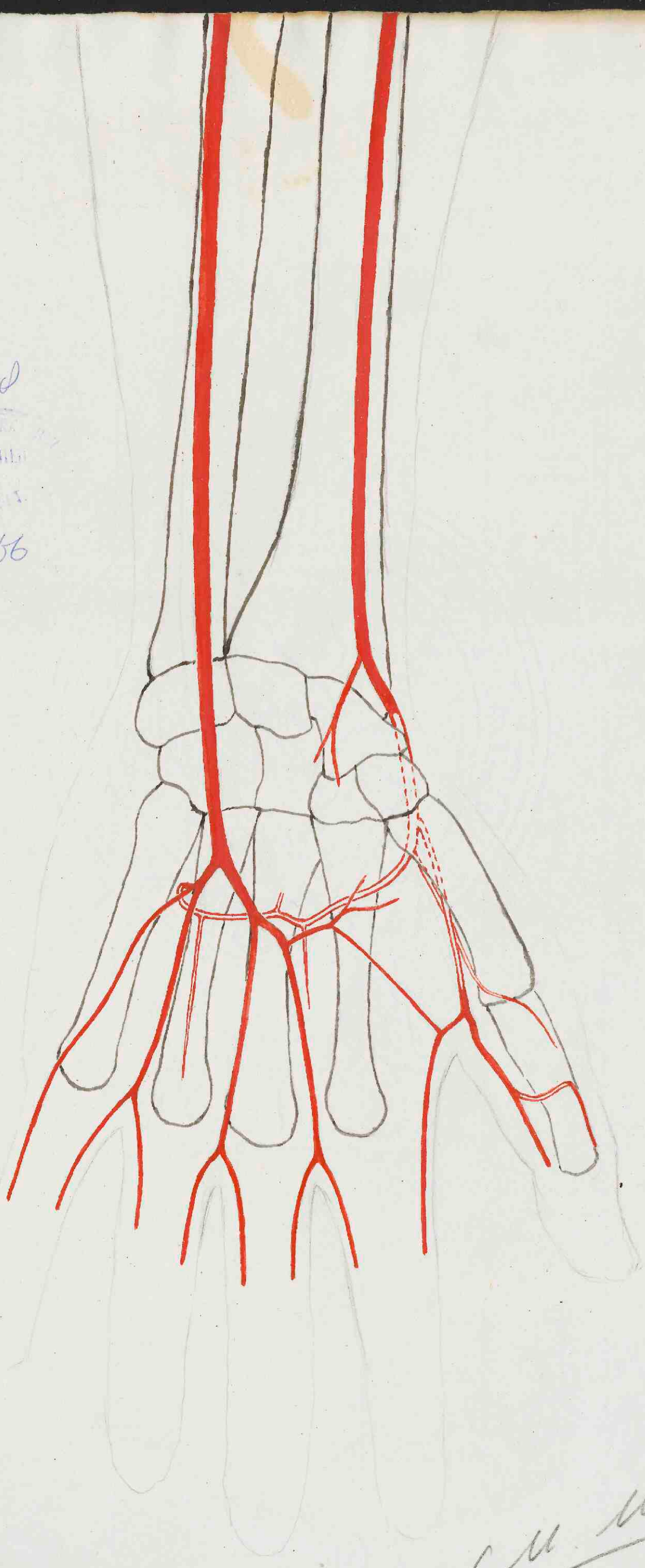
1893.

r. g.

F-1

LIBR. R. NEDERL. R. U. U. R. IJKSUNIVERSITEIT  
TE  
UTRECHT

no 66

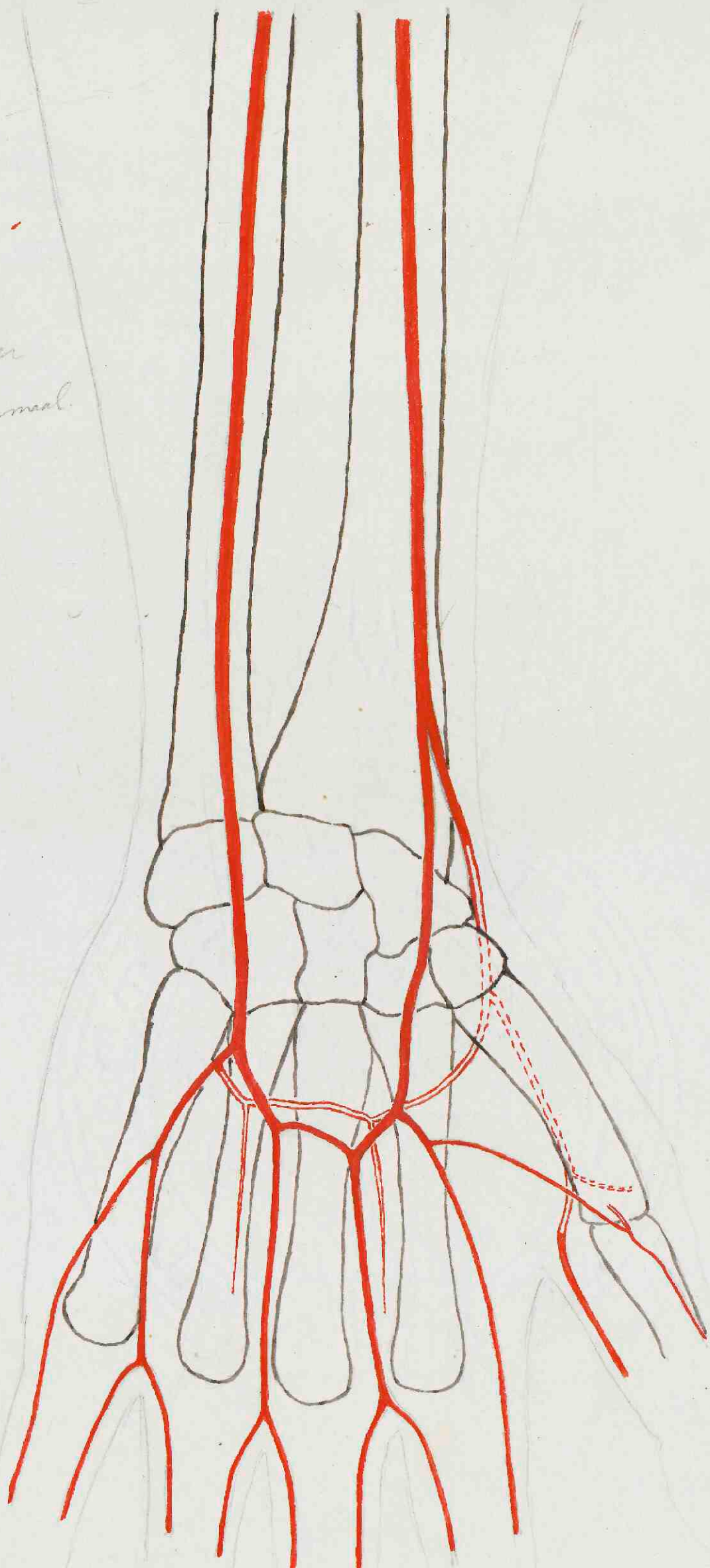


W. M. Moore

1093.

N<sup>o</sup> 10.

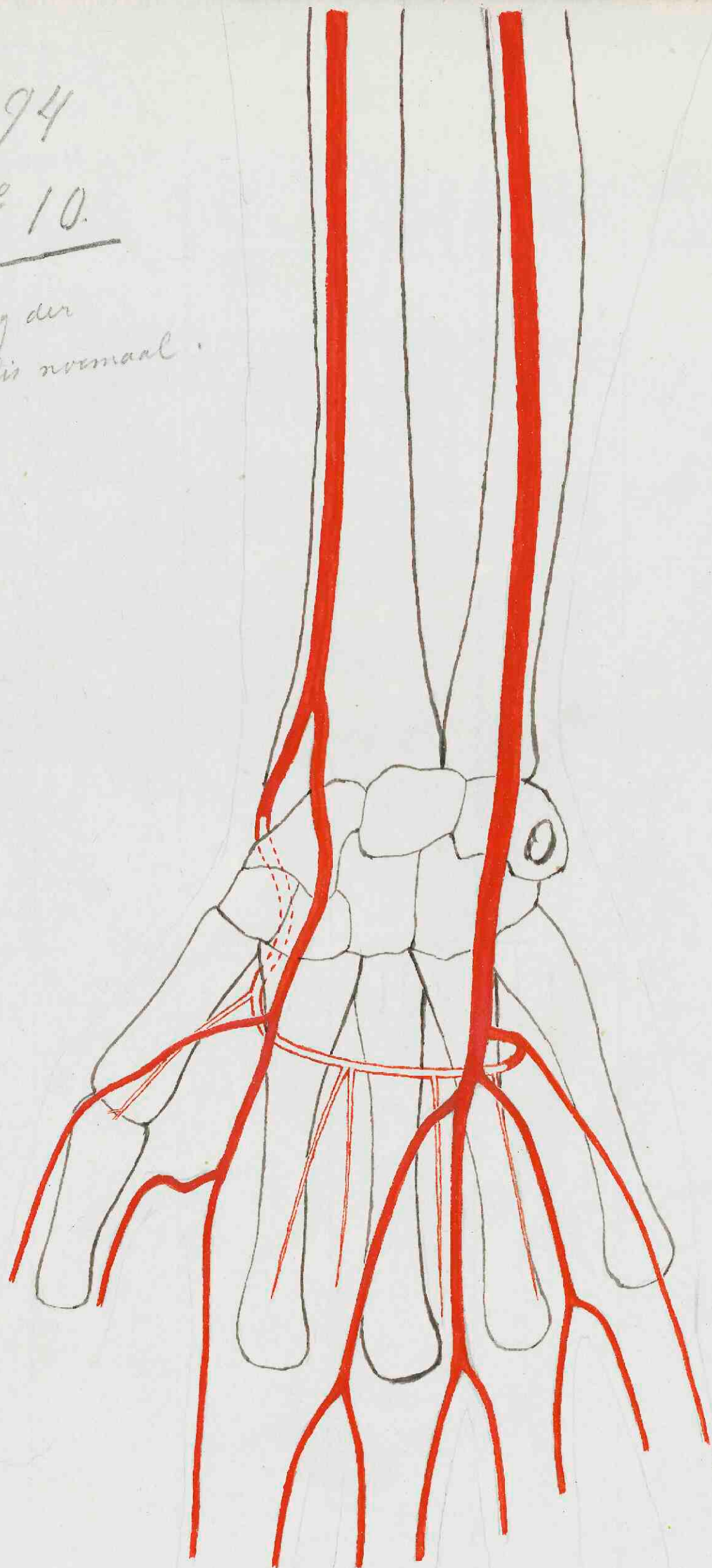
Vertakking der  
Brachial, normaal.



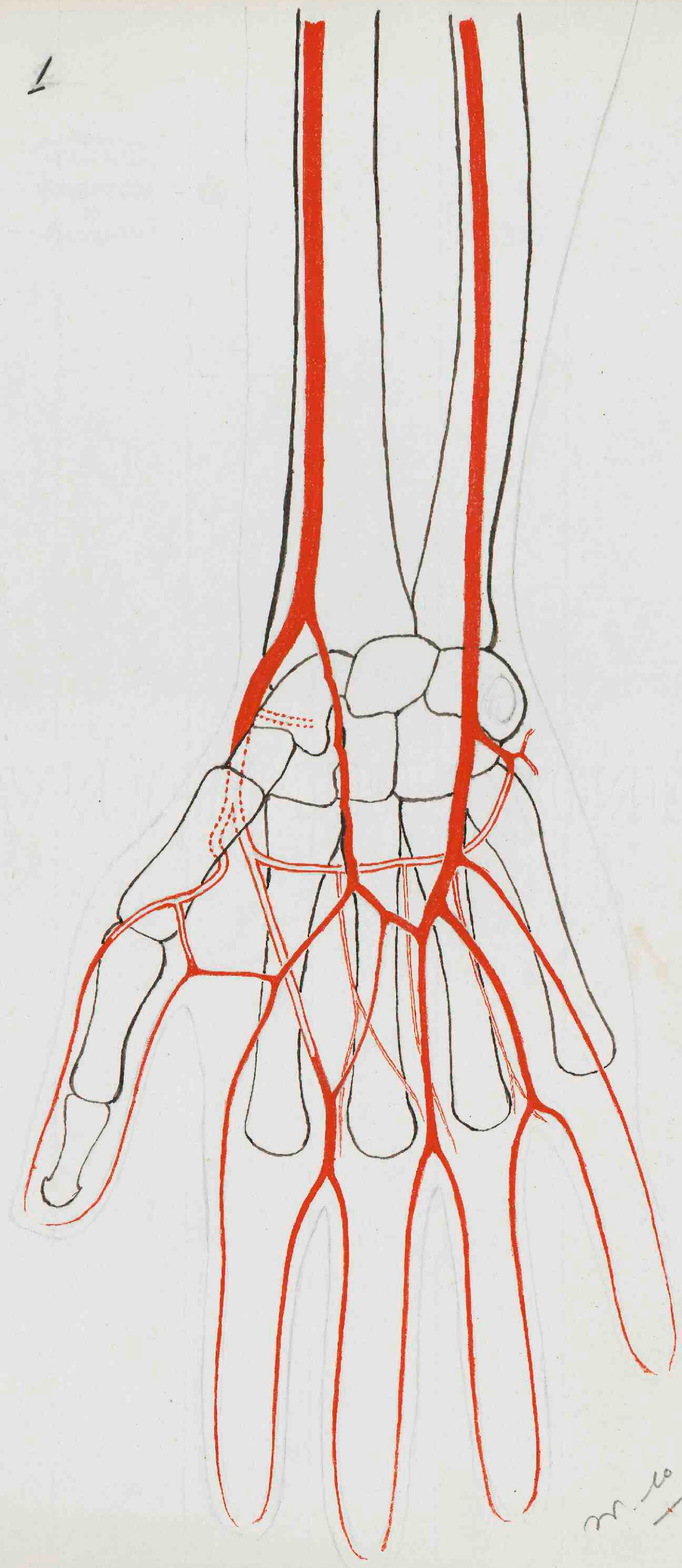
1094

N° 10.

Versnelling der  
Brachialis normaal.



L. W. Moore

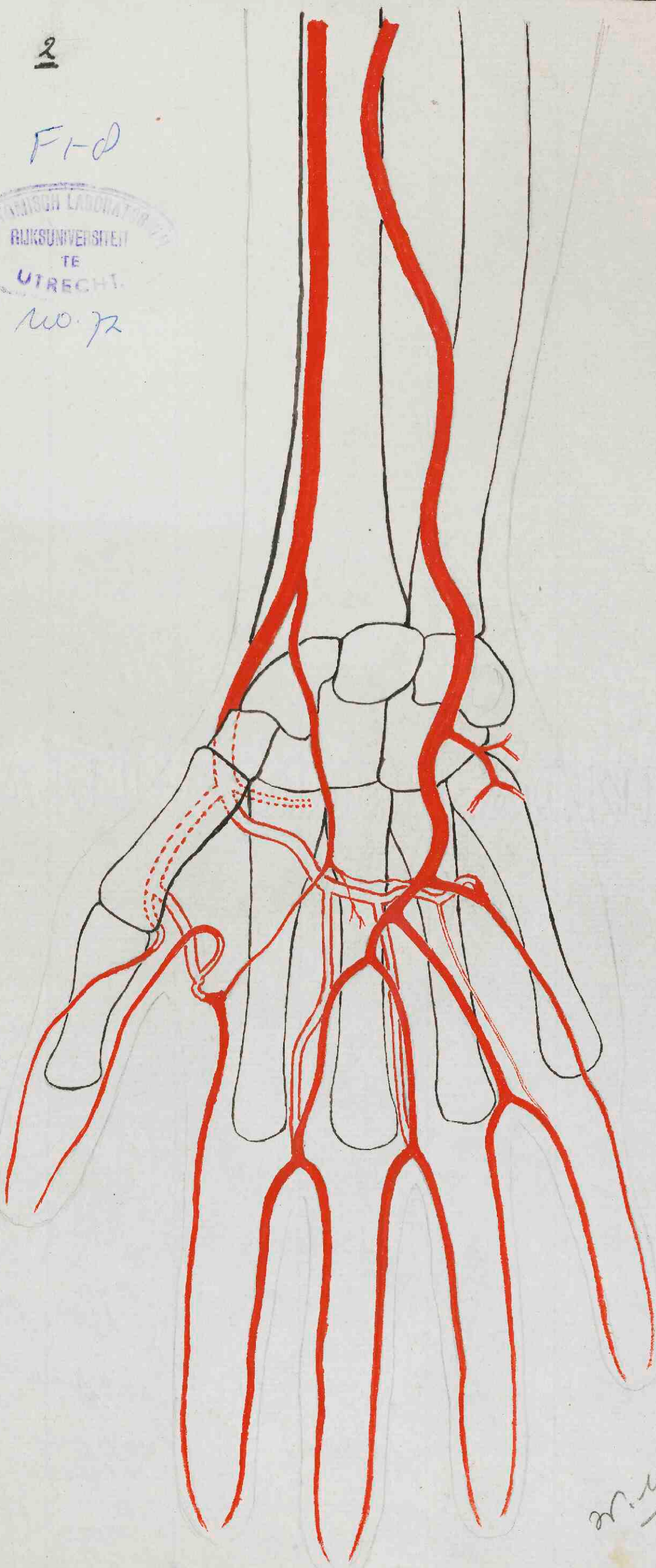


2

F-I-D

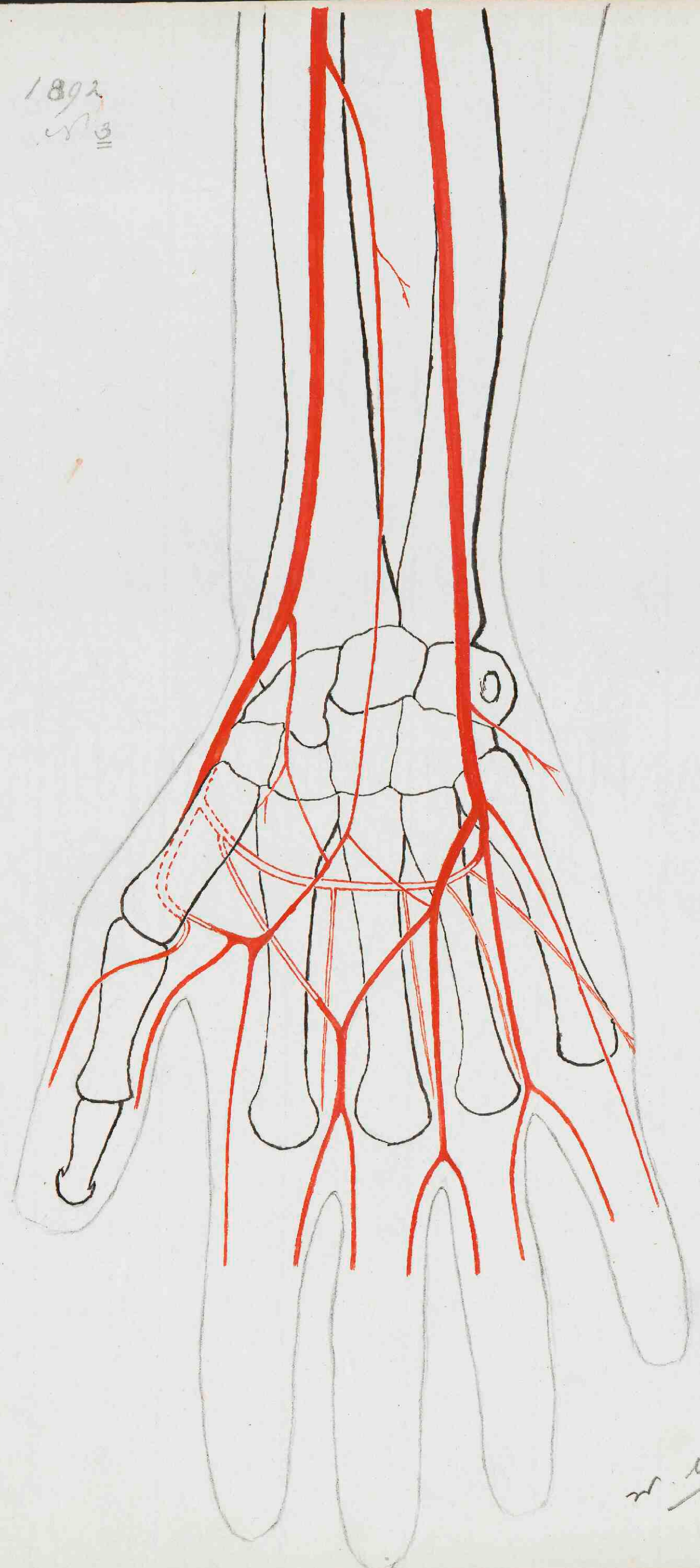


No. 72

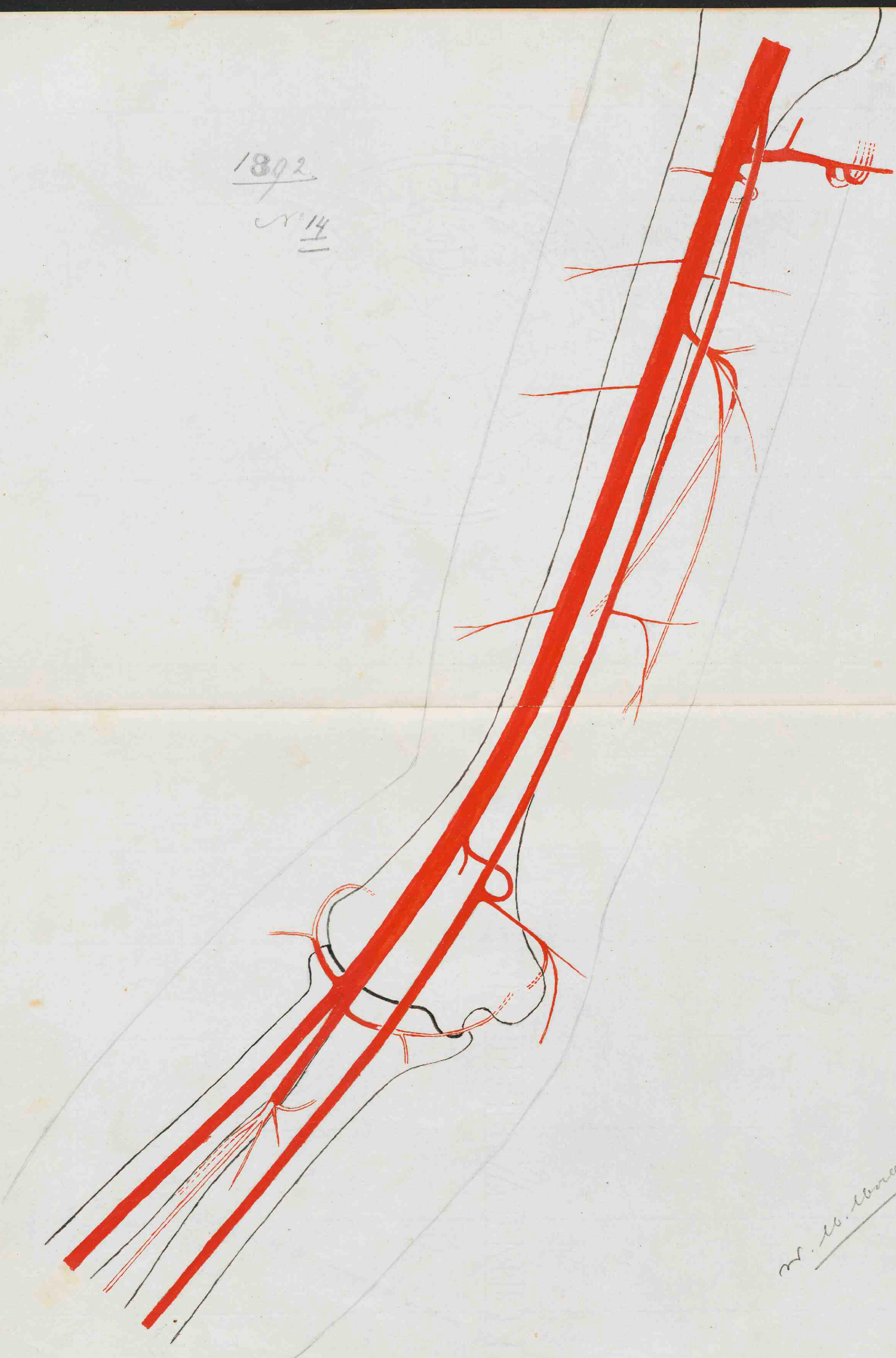


M. de Govee

1892  
N 3



W. W. Bourne



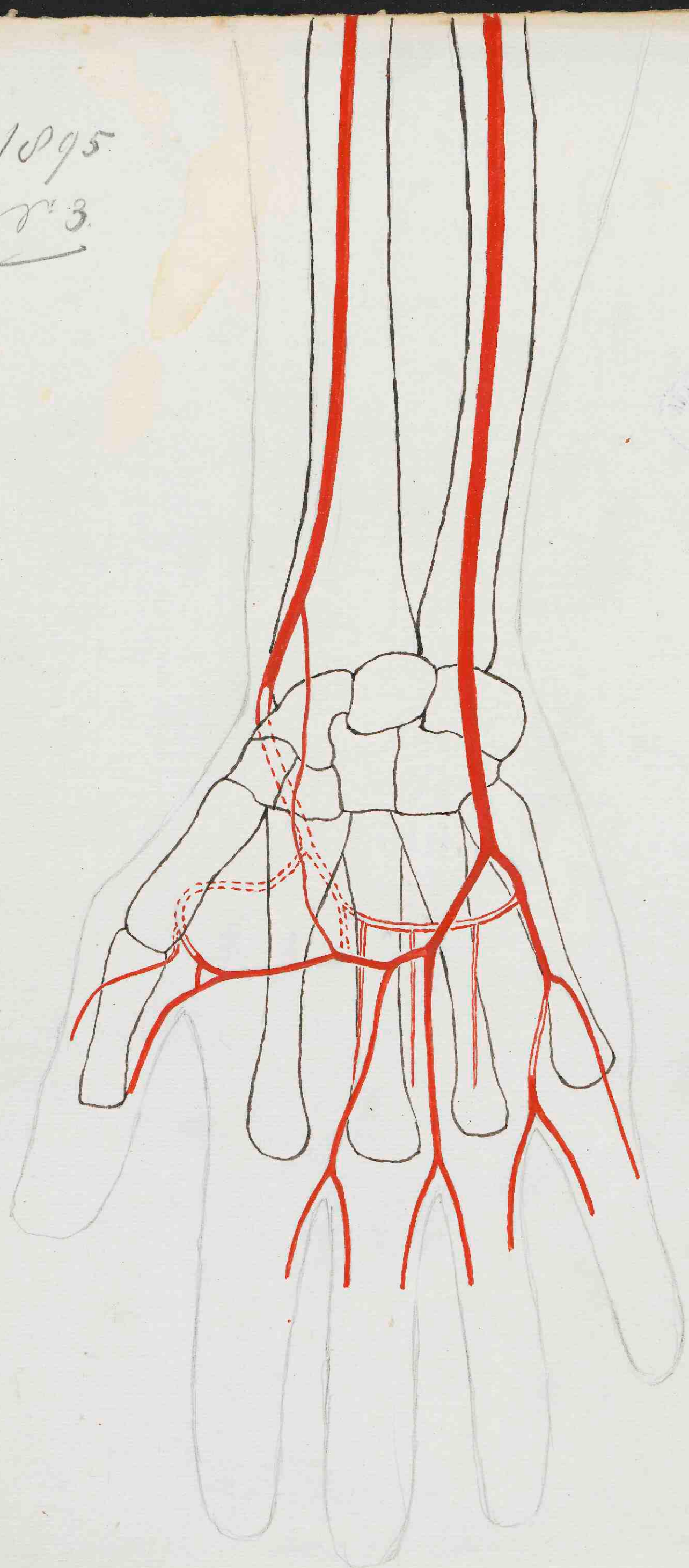
1895

n° 3.

F1-♂

ANATONISCH LABORATORIUM  
RIJKSUNIVERSITEIT  
TE  
UTRECHT.

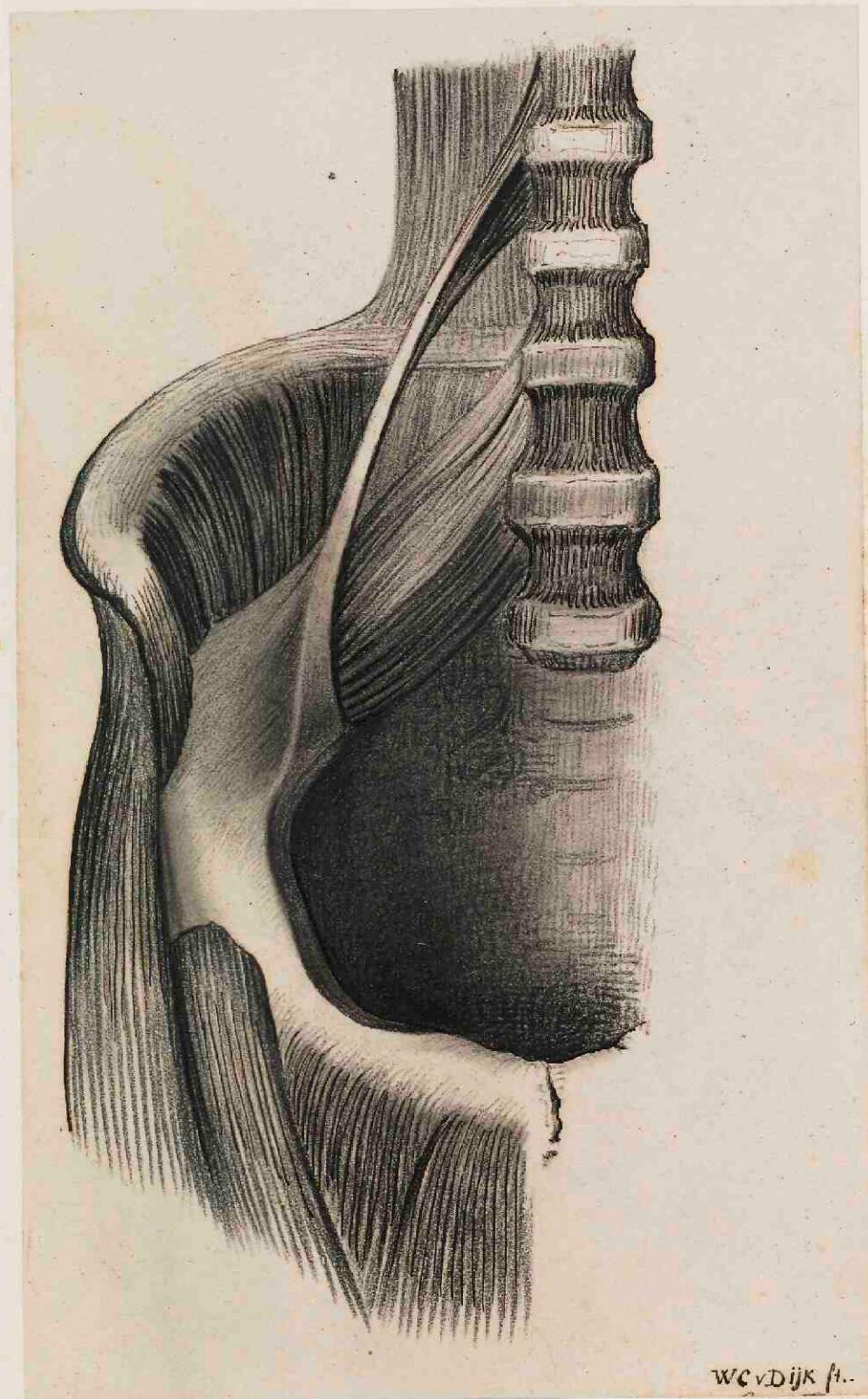
No. 42



NO. 15



F 1-8



W.C.v.Dijk f...

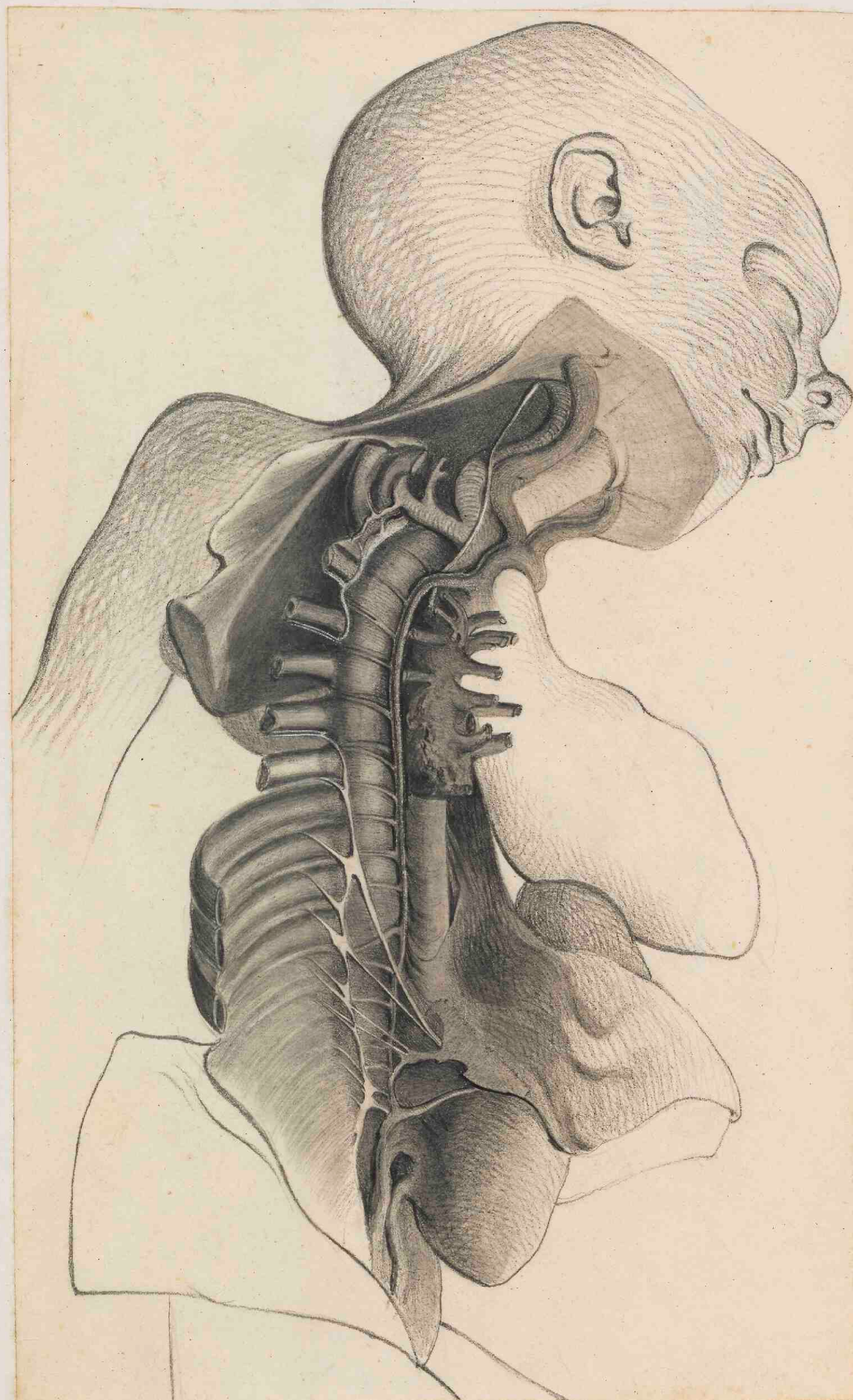
F1-8

NO. 14



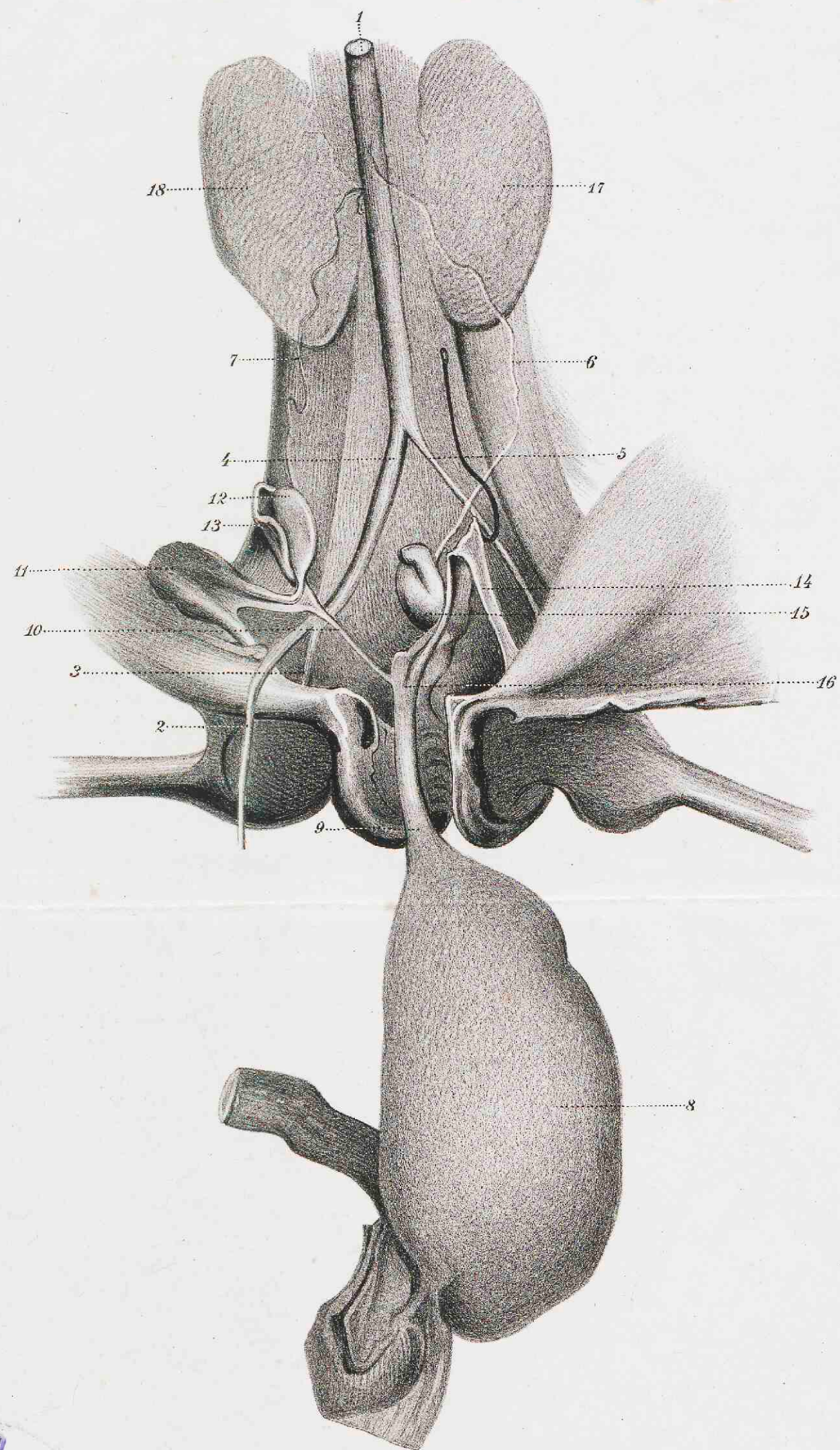
F.1-8

No. 13





*Cyanorum Catalog.*  
99.



91.01

F-1-1

Dwarscorte der crista acustica  
uit een der ampuetten van Raja  
clavata. Schema. Sterker verbrok  
dan in Pl. I.

Pl. II.

Einddrader.

F 1-2



Cylinderellen.

Ganglioncellen

Verdeling van den esocylinder  
uit de mergbevattende vezels  
ontstaan.

Baszalcellen

Epiteliumcellen

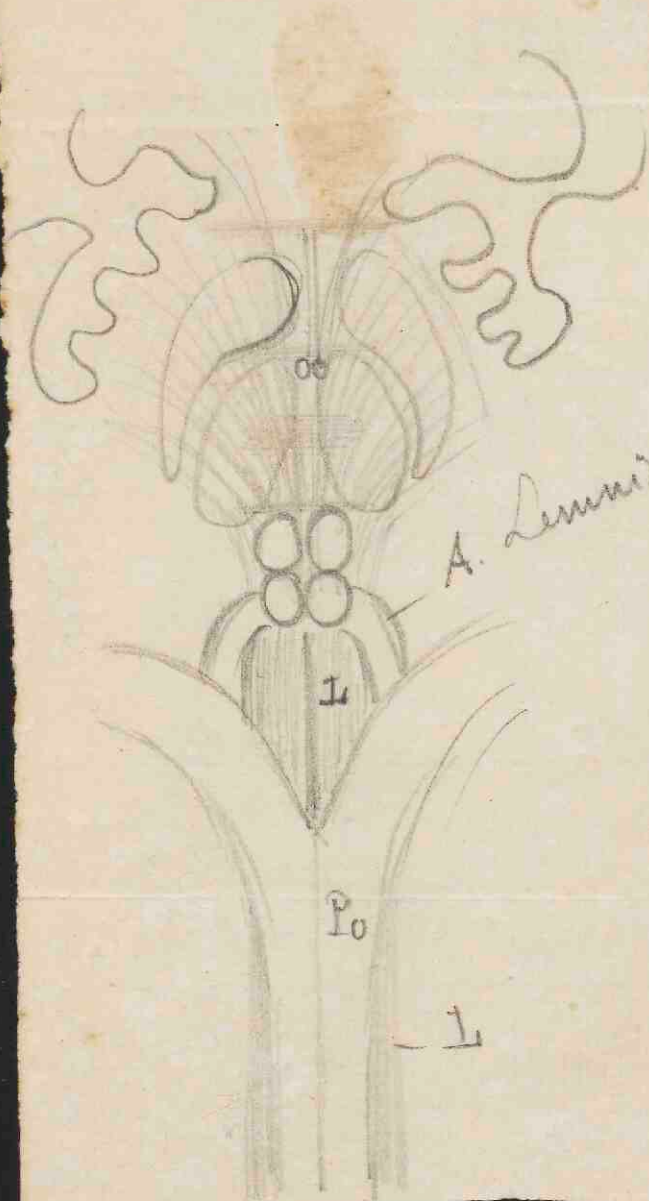
Mergbevattende vezels of  
den n. acusticus.

verdikte gevleugelde  
epitelium van den

Crista  
aud  
tira.

verdikte verbrok  
van den

Januarij 1860.



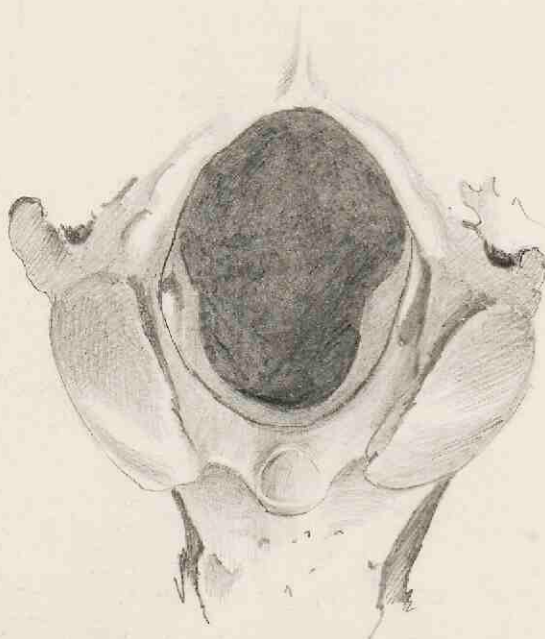
A. Lemire

Po

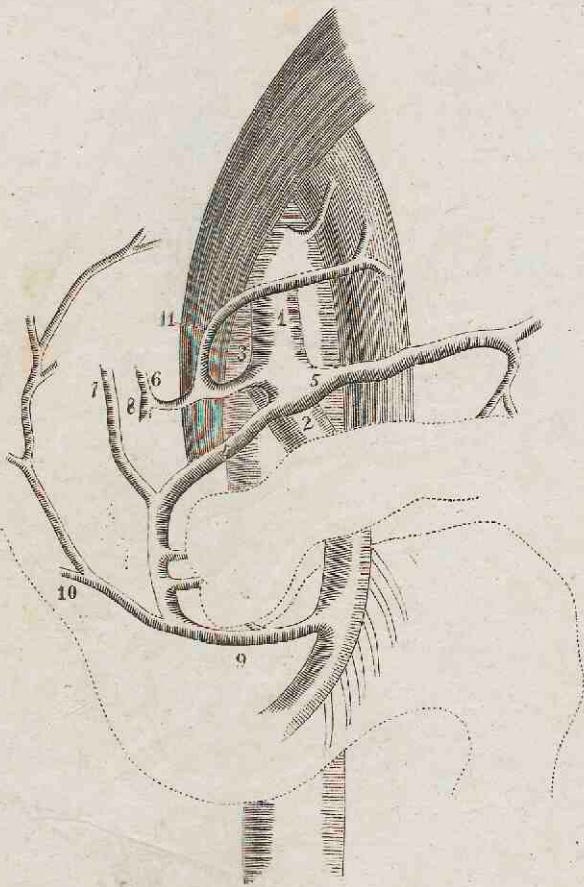
L

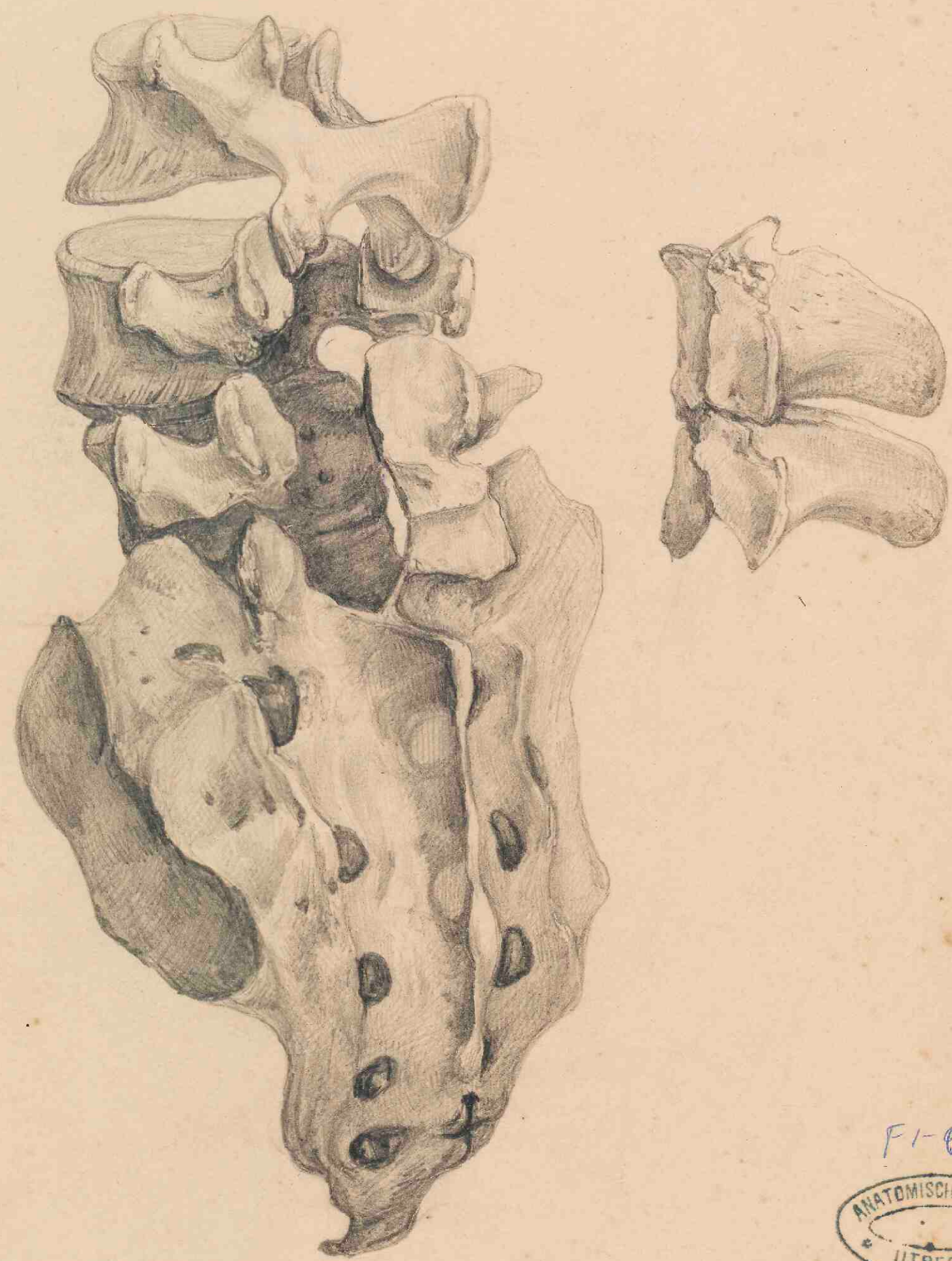
No. 19

F1-Ø



Crau. Cat 17.





F1-8-W.11



H. de Bruin's et sub. del.

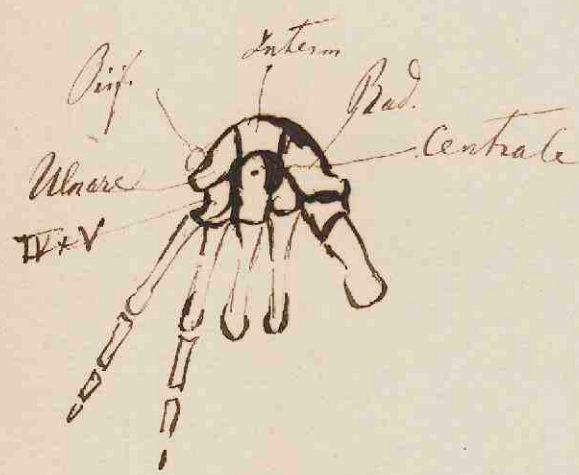
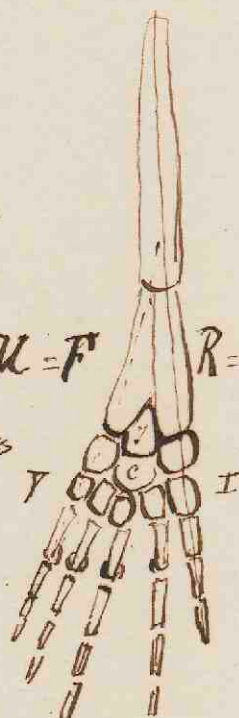
oben, boven Scheiding knaphe,  
lichaam & bagt der 2 onderste  
lendenmer als.

Hand  
Carpalia

Radiale = Scaphoides  
Later.med = Lunatum  
Ulnare = Triquetrum  
Centrale =

Secundi ordinis

I	=	multangularis, mag.	<i>U=F</i>
II	=	" min.	<i>R=T</i>
III	=	Capitatum	
IV	=	} Hamatum	
V	=		

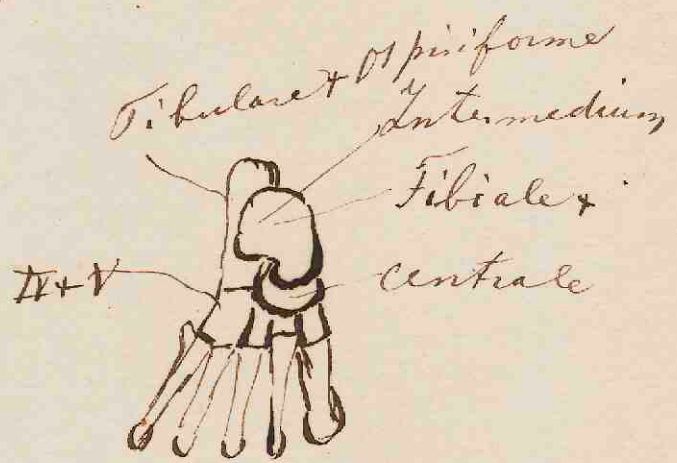


Tarsal  
Tarsalia

Tibiale } astagalus  
Intern }  
Tibiale = talonum  
Centrale = scaphoides

Secundi ordinis

I	=	Cuneiforme I
II	=	" II
III	=	" III
IV	=	} Cuboides,
V	=	



10.00

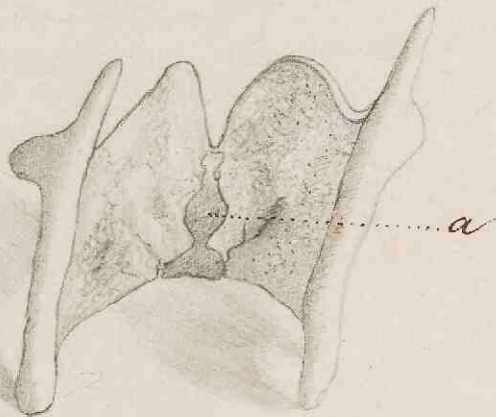
P-1 J



Samenhang van M. abducat. hall.  
en m. flexor brev. digit: bij een kind na 2 maanden

Januari 1885.

Hendrik Boekholt Orléans



Verbeende cartil. thyreoid.  
aan de achterzijde gezien.

a. Zelfstandig verbeende  
Canina mediana.



Wife made it at noddle.

## ERKLÄRUNG DER TAFEL.

Die von vorn eröffnete Brusthöhle. Ansicht des eröffneten Herzbeutels, des Herzens; der aufgeschnittenen Lungenwölke, der Lungen; der grossen Gefäße dts. dts.

## I. Knochen und Knorpel.

- A(6) Die durchsägtene obere Rippe beider Seiten (costae)
- B(7) die durchsägtene Schlüsselbeine (claviculae)
- C(8) der Schildknorpel (cartilago thyroidei)
- D(9) die Luftröhre (trachea)

## II. Muskeln

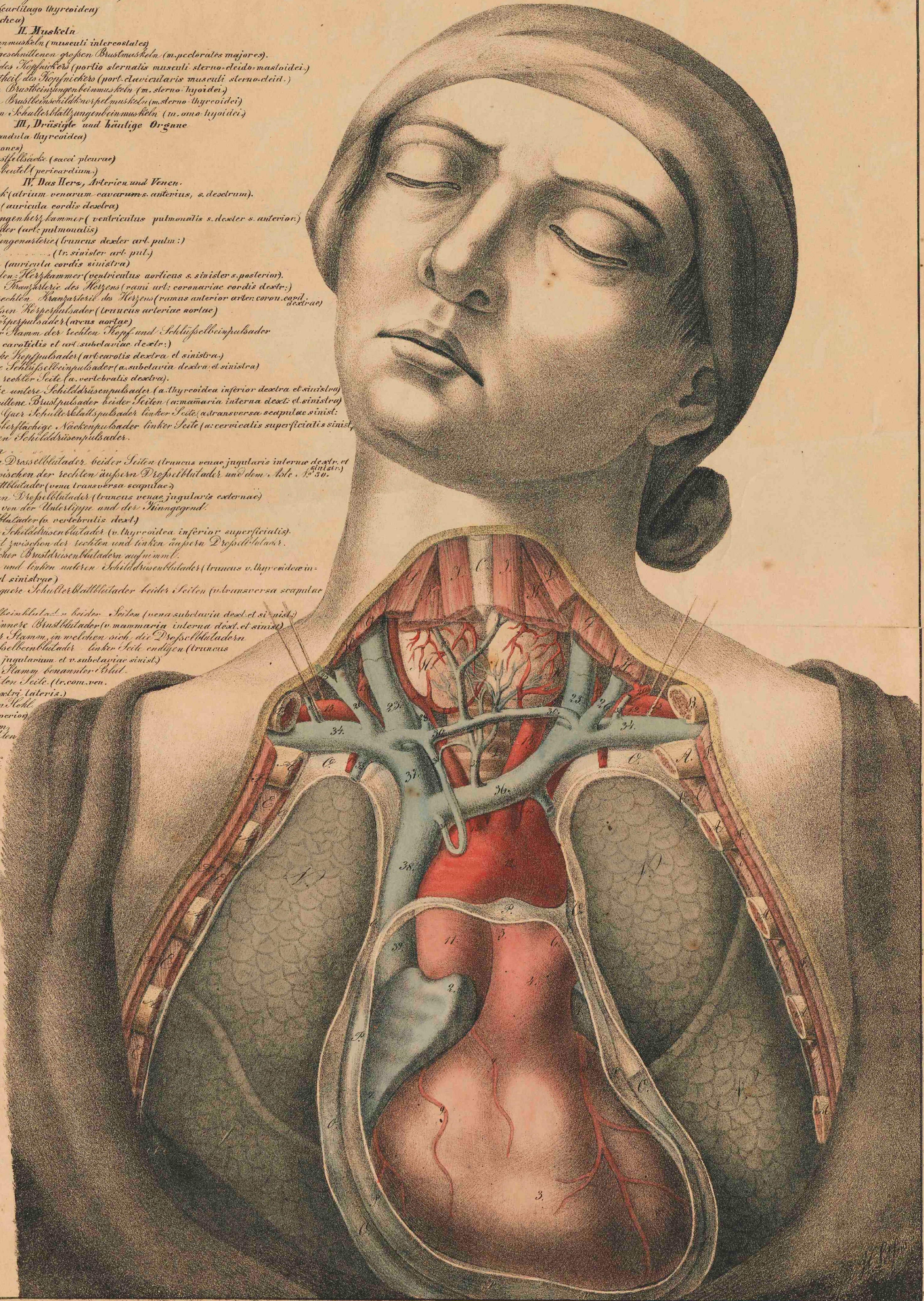
- E(10) die Zwischenrippenmuskeln (m. intercostales)
- F(11) die Ränder der abgeschnittenen großen Brustumfeln (m. pectorales majores)
- G(12) der Brustbeintheil des Kopfkiefers (portio sternalis musculi sterno-claviclaris-mastoidei)
- H(13) der Schlüsselbeintheil des Kopfkiefers (portio clavicularis musculi sterno-claviclaris)
- I(14) die abgeschnittenen Brustbeinschildknorpelmuskeln (m. sterno-thyreoidei)
- J(15) die abgeschnittenen Brustbeinschildknorpelmuskeln (m. sterno-thyreoidei)
- K(16) die abgeschnittenen Schädelstellungsdrümmuskeln (m. omnia hyoidei)

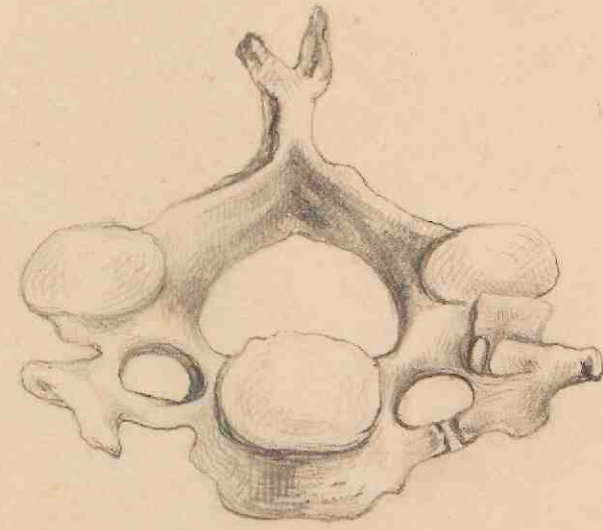
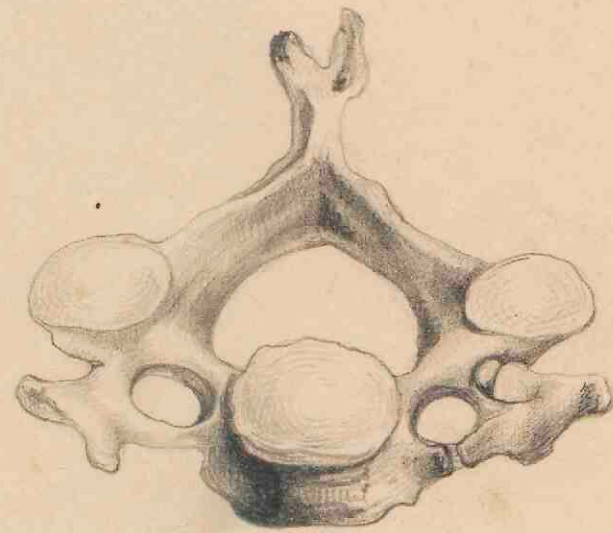
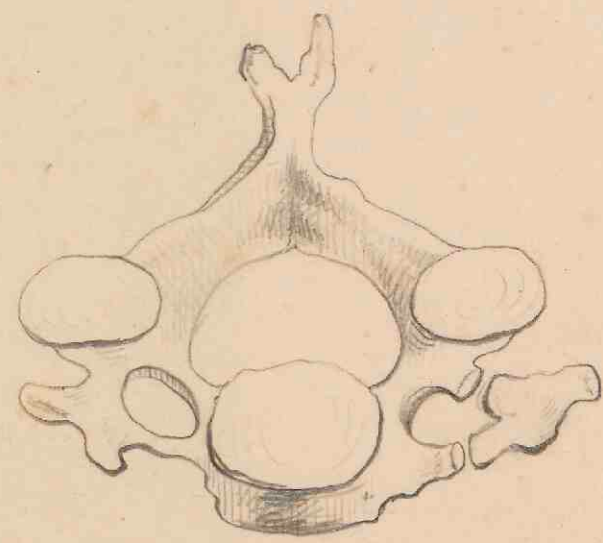
## III. Drüsige und häutige Organe

- L(17) die Schilddrüse (glandula thyroidea)
- M(18) die Lungen (pulmones)
- N(19) die geöffneten Brustfelllöcher (sacci pleuræ)
- O(20) der geöffnete Herzbeutel (pericardium)

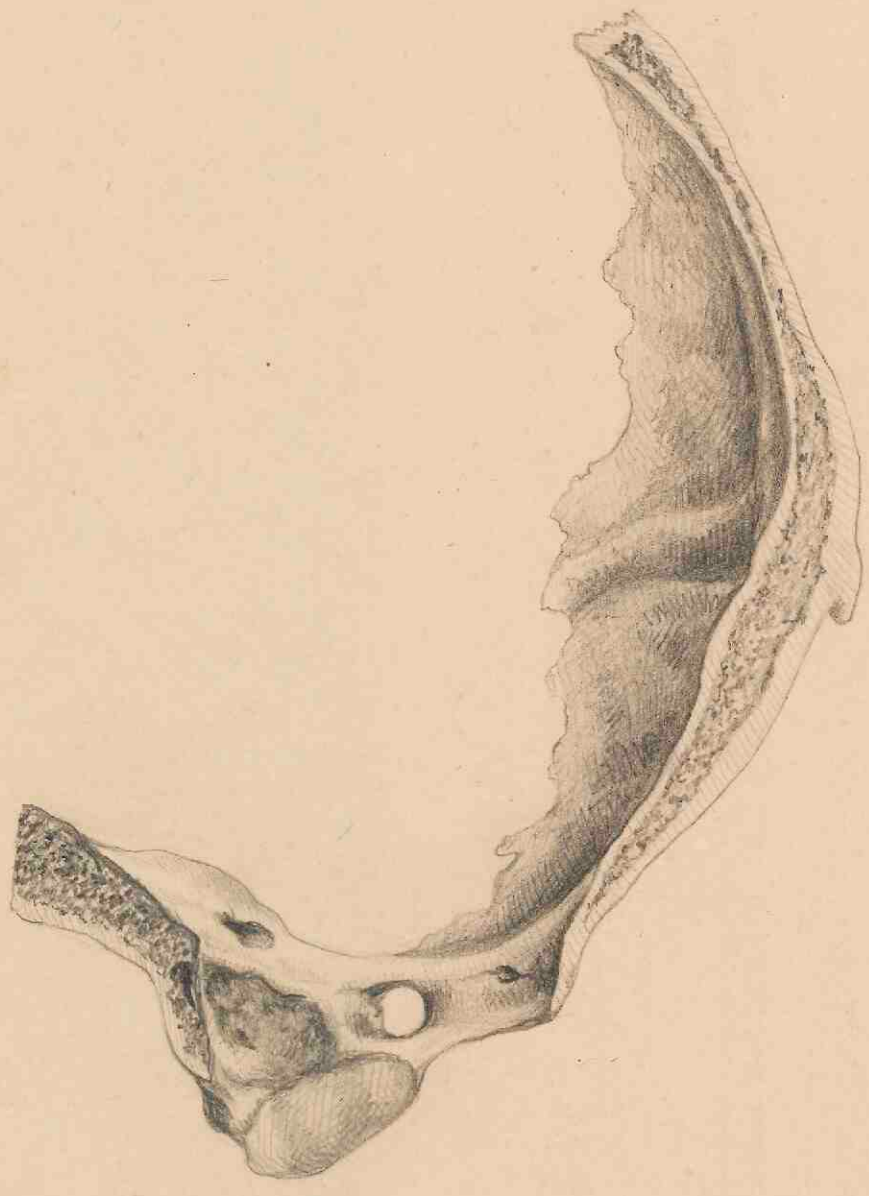
## IV. Das Herz, Arterien und Venen.

- 1. der Hohlvenenrach (atrium venarum cavarum s. anterius, s. dorsum).
- 2. das rechte Herzschr. (auricula cordis dextra)
- 3. die rechte o. d. Lungenherzhammer (ventriculus pulmonalis s. dexter s. anterior)
- 4. die Lungenpulssader (art. pulmonalis)
- 5. rechter Ast der Lungenarterie (truncus dexter art. pulm.)
- 6. linkser Ast der ... (tr. sinister art. pul.)
- 7. das linke Herzschr. (auricula cordis sinistra)
- 8. die linke oder linken Herzhammer (ventriculus aorticus s. sinistral s. posterior)
- 9. Zweige der rechten Brustpulssader des Herzens (rami art. coronariae cordis dextr.)
- 10. Vorderer Ast des rechten Brustarteriel des Herzen (ramus anterior arter. coron. dextr. a.)
- 11. der Stamm der geöffneten Kopfpulsader (truncus arteriae aortae)
- 12. der Bogen der Kopfpulsader (arcus aortae)
- 13. Gemeinschaftlicher Stamm der rechten Kopf- und Schlüsselbeinpulsader (truncus communis art. carotidis et art. subclaviae dextr.)
- 14. die rechte und linke Kopfpulsader (art. carotis dextra et sinistra)
- 15. die rechte und linke Schlüsselbeinpulsader (art. subclavia dextra et sinistra)
- 16. die Wirbelpulsader rechten Seite (a. vertebralis dextra).
- 17. die rechte und linke untere Schilddrüsenpulsader (a. thyroidea inferior dextra et sinistra)
- 18. die innere abgeschnittenen Brustpulsader beider Seiten (a. mammaria interna dextra et sinistra)
- 19. die abgeschnittenen quer Schulterblattpulsader linker Seite (a. transversa scapulae sinist)
- 20. die ... Oberflächige Nierenpulsader linker Seite (a. cervicalis superficialis sinist)
- 21. Zweige der unteren Schilddrüsenpulsader.
- 22. ditto oben.
- 23. Stamm der inneren Drosselblattader beider Seiten (truncus venae jugularis internae dextra et sinistra)
- 24. Verbindungsast zwischen der rechten äußeren Drosselblattader und dem Aste. f. 30.
- 25. die quere Schulterblattader (vena transversa scapulae)
- 26. Stamm der äußeren Drosselblattader (truncus venae jugularis externae)
- 27. Auszweigung von der Unterstirne und der Ninnengegend.
- 28. die rechte Wärmeblattader f. vertebralis dextra)
- 29. Hintere oberflächige Schilddrüsenblattader (v. thyroidea inferior superficialis).
- 30. Ein Verbindungsast zwischen der rechten und linken äußeren Drosselblattader.
- 31. Verbindungsast, welcher Brustdrüsenblattader aufnimmt.
- 32. Stamm der rechten und linken unteren Schilddrüsenblattader (truncus v. thyroideae in-terioris dextra et sinistra)
- 33. die abgeschnittenen queren Schulterblattader beider Seiten (a. transversa scapulae dextra et sinist)
- 34. der Unterwirbelpulsader ... beiden Seiten (v. subclavia dextra et sinist)
- 35. linke und rechte innere Brustblattader (v. mammaria interna dextra et sinist)
- 36. Gemeinschaftlicher Stamm, in welchen sich die Drosselblattader und die Unterwirbelpulsader linker Seite endigen (truncus communis venarum jugularium et v. subclaviae sinist)
- 37. Gemeinschaftlicher Stamm benannter Blutader auf der rechten Seite (tr. com. ven. jug. et v. subcl. dextra lateriz.)
- 38. Stamm der oberen Niere (v. cava superior)
- 39. Der reelle Venenstamm, welcher in den rechten Venenrach hinaufsteigt und vom Herzbeutel umhüllt ist.





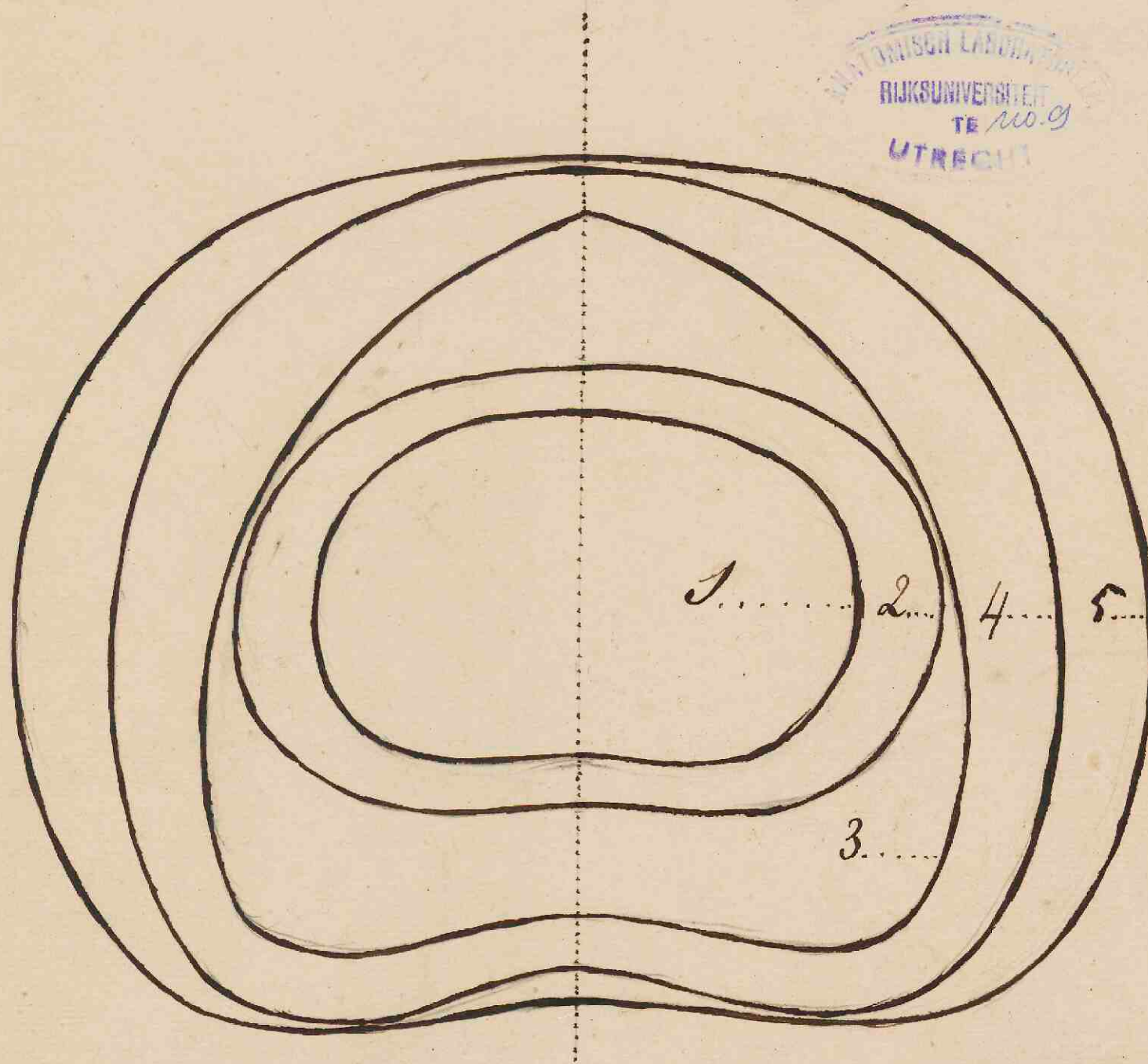
H. M. Adriani ad nat. del.



H. M. Adriani ad nat. col.

F1-D

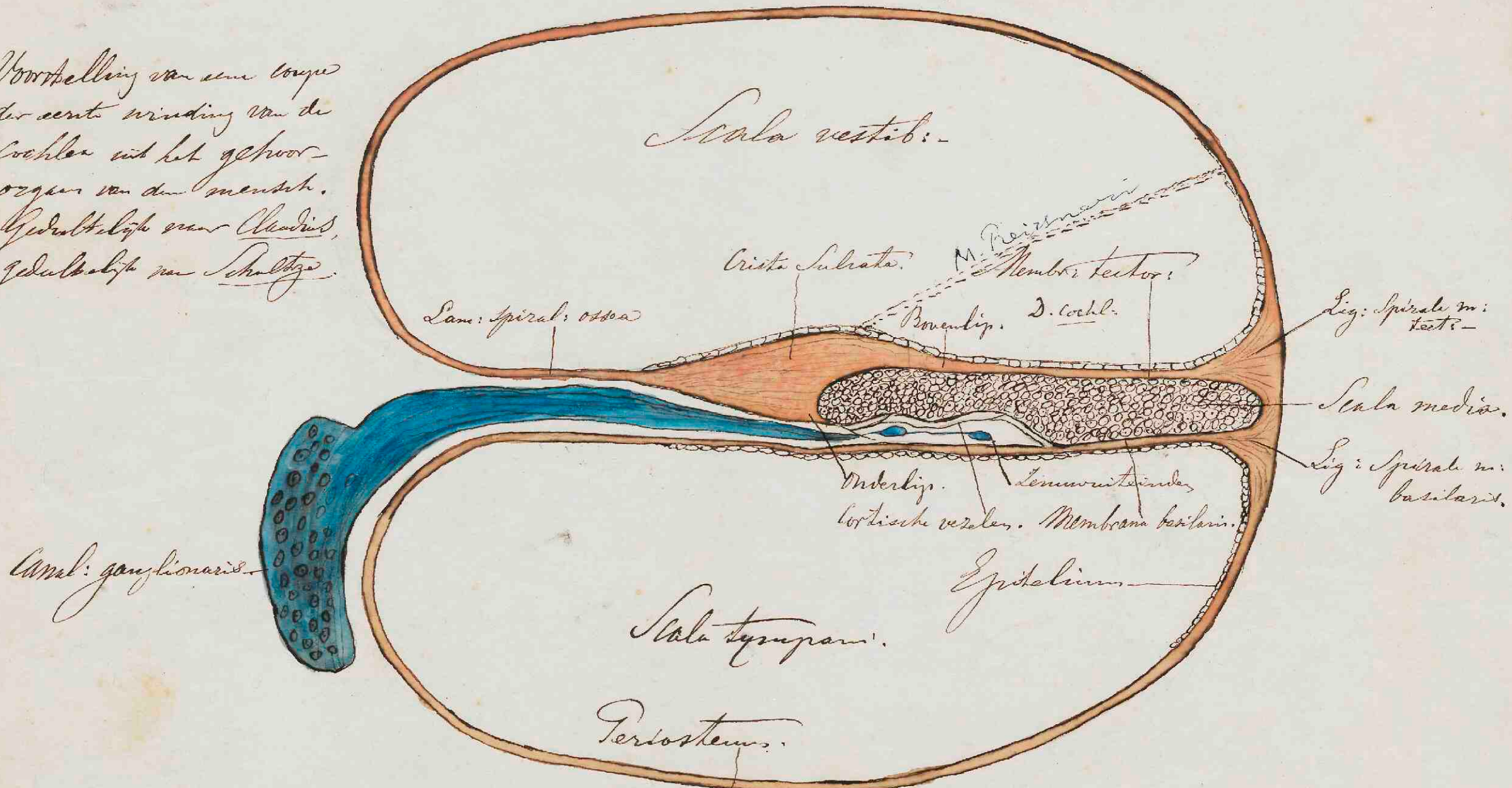
Schemma van den vorm en de betrekkelijke grootte  
der wervelbogchamen. (Meyers).



1. Derde halswervel. 2. Zevende halswervel.  
 3. Zesde borstwervel. 4. Twaalfde borstwervel.  
 5. Vijfde lendenwervel.

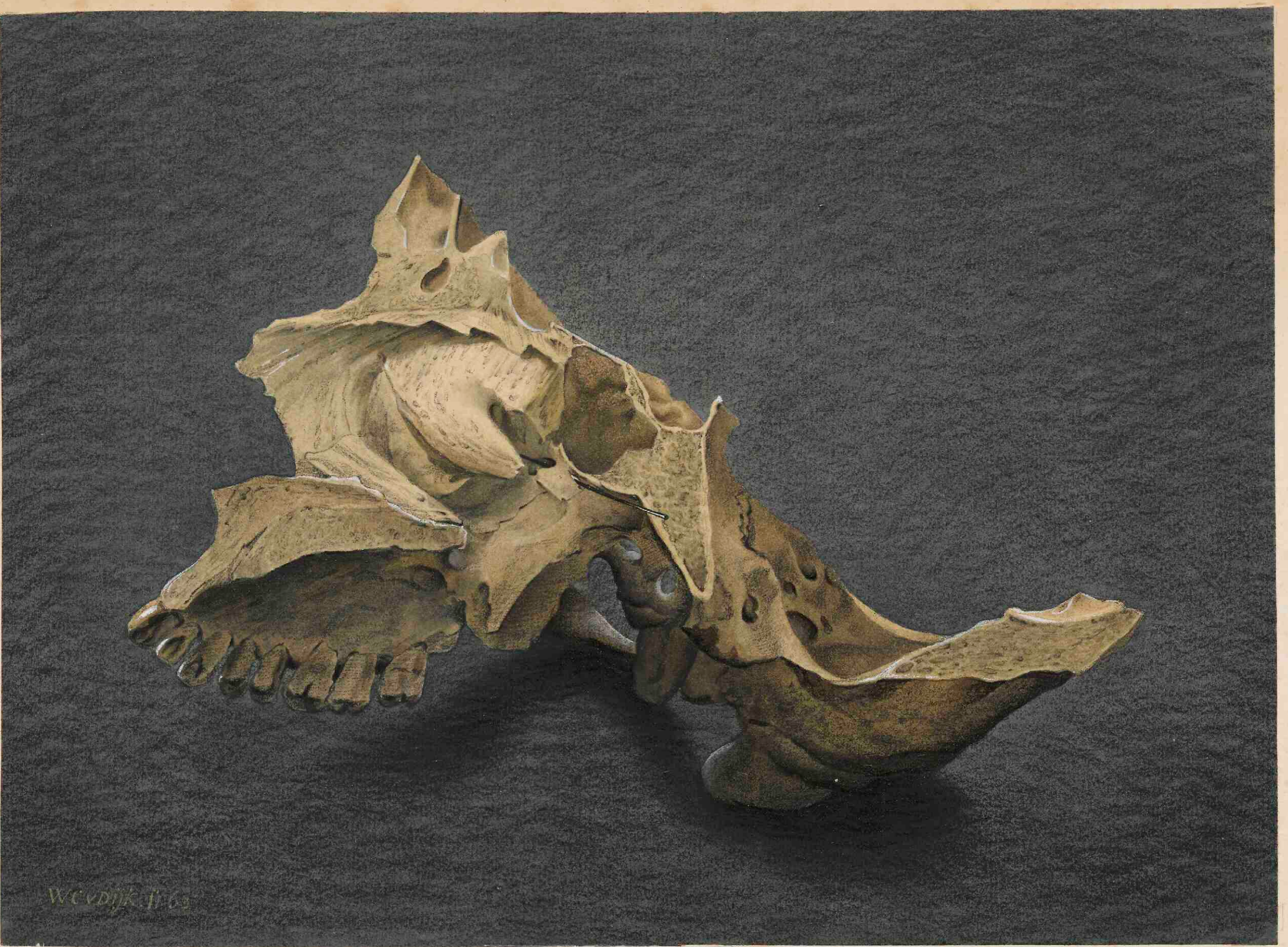
Pl. III

Voorstelling van een coupe  
der eerst winding van de  
cochlea uit het gehoor-  
orgaan van den mensch.  
Gedrukt opgave van Cladins,  
gedubbelgemaakt van Schultz.



De Scala media is gevuld met cellen. Met de membrana tectoria en basilaris  
heeft zij erigen Cladins, zoals van oudst les: lam. spirale membra-  
nosa. Volgens Schultz zijn de cortische vellen Luforganen. —

Januari 1860



Pl. I.

No. 21

Pl. I.

Fi-0

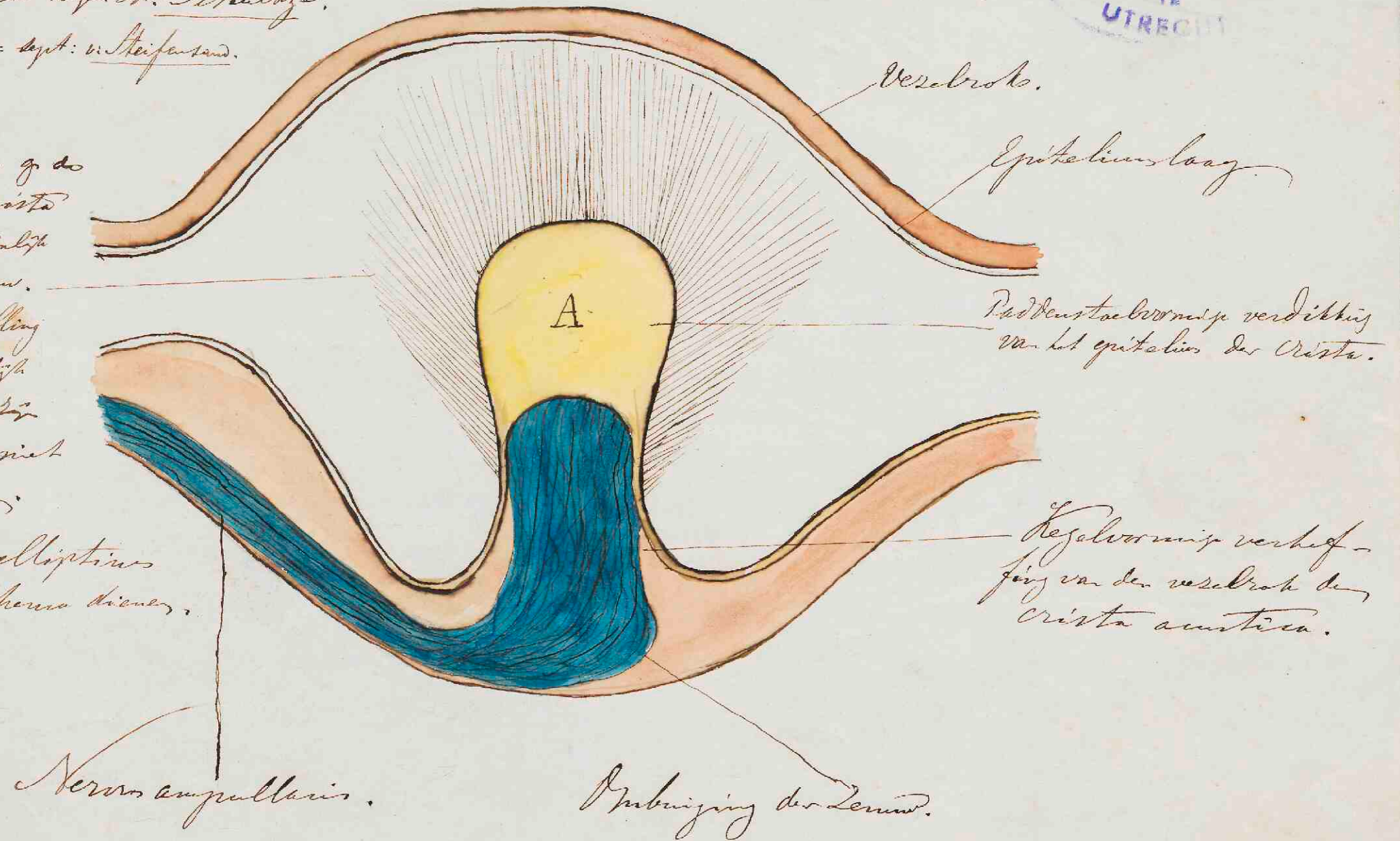
Draaileuge der crista amictica  
tot een der angullen van,

Raja clavata volg M. Schultze.  
Crista amict. = sept. v. Steifer sand.

Hautje of drade g. de  
oppervlakte der crista  
amict., waarmee gelijk  
de enden der lemmen.

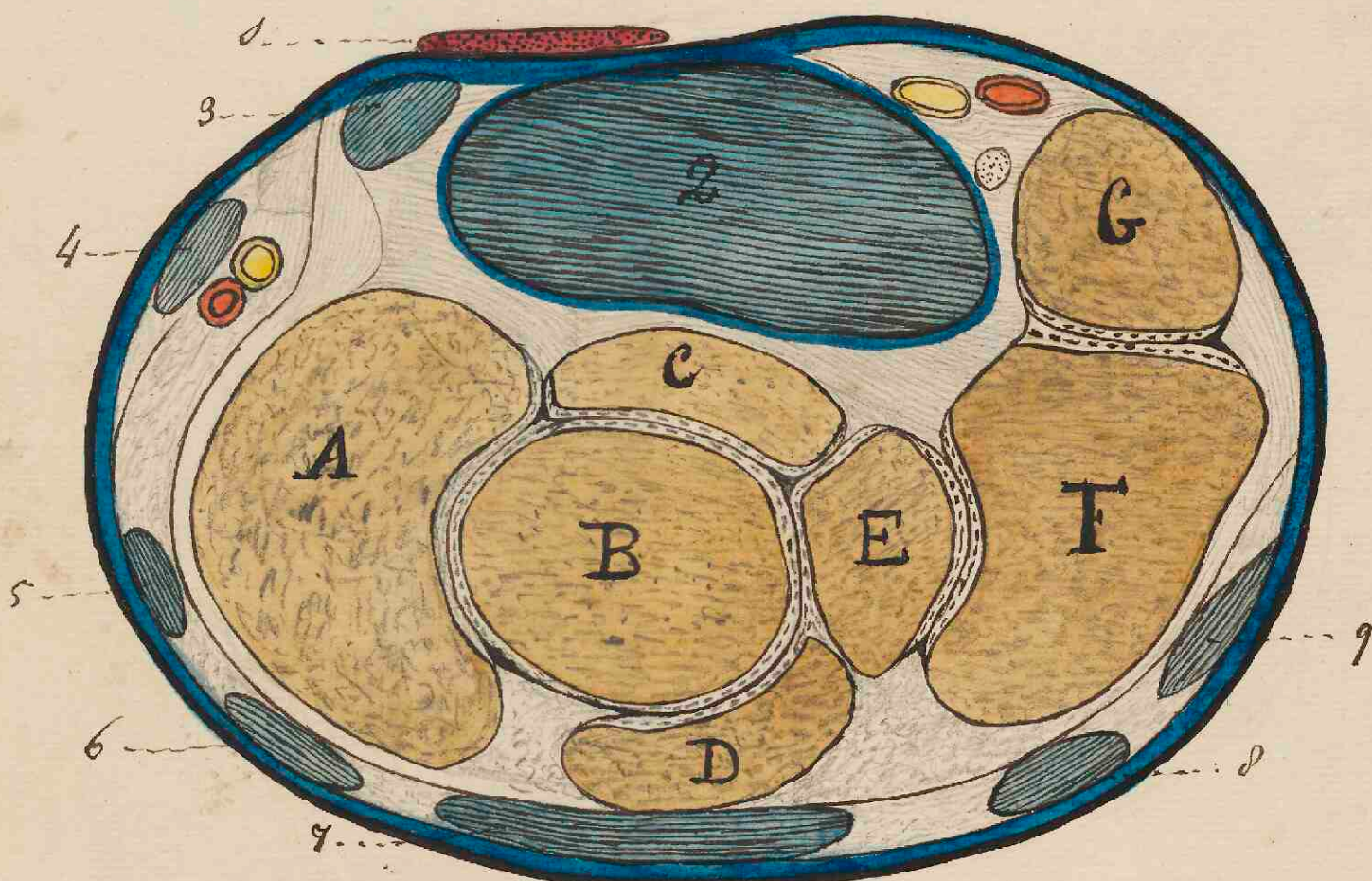
Volgen den onderstelling  
moeten er natuurlijk  
verbindingstraden zijn  
t. A, welk hier niet  
te gegeven;

Wanneer samensellipticus  
kan hetzelfde scherm dienen.



January 1860.

Dwarke doorsnede van de handwortel door het hoofd  
van het os capitatum. naar Henle.



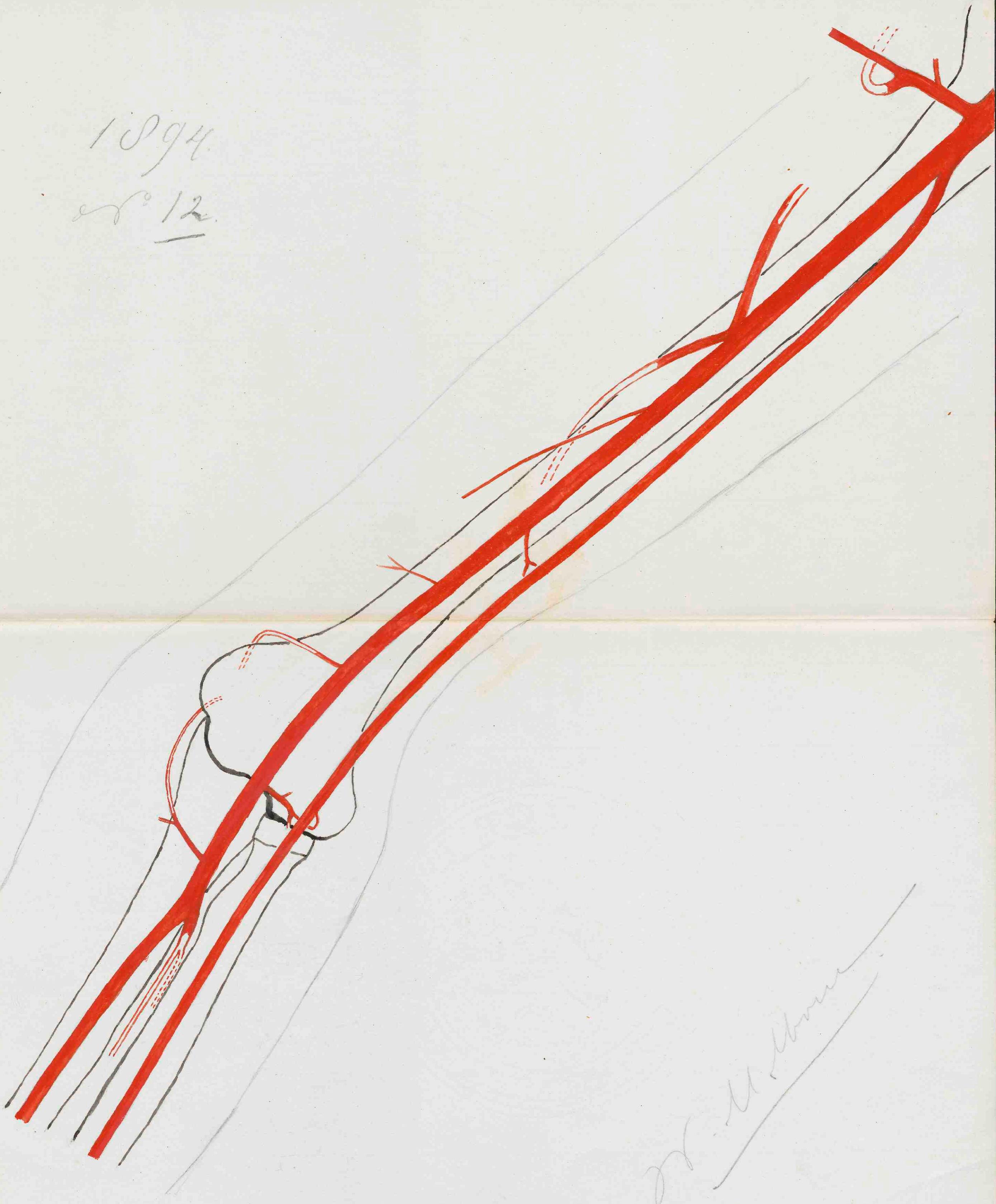
1. Uithouding van de m. palmar. longus.
2. Holte onder het ligam. carpi transv.
3. Geaarde heide voor den m. radialis inter.

no. 22

ANATOMISCHE  
RIJKSUNIVERSITEIT  
TE  
UTRECHT

F 1-8

1894.  
et<sup>o</sup> 12.

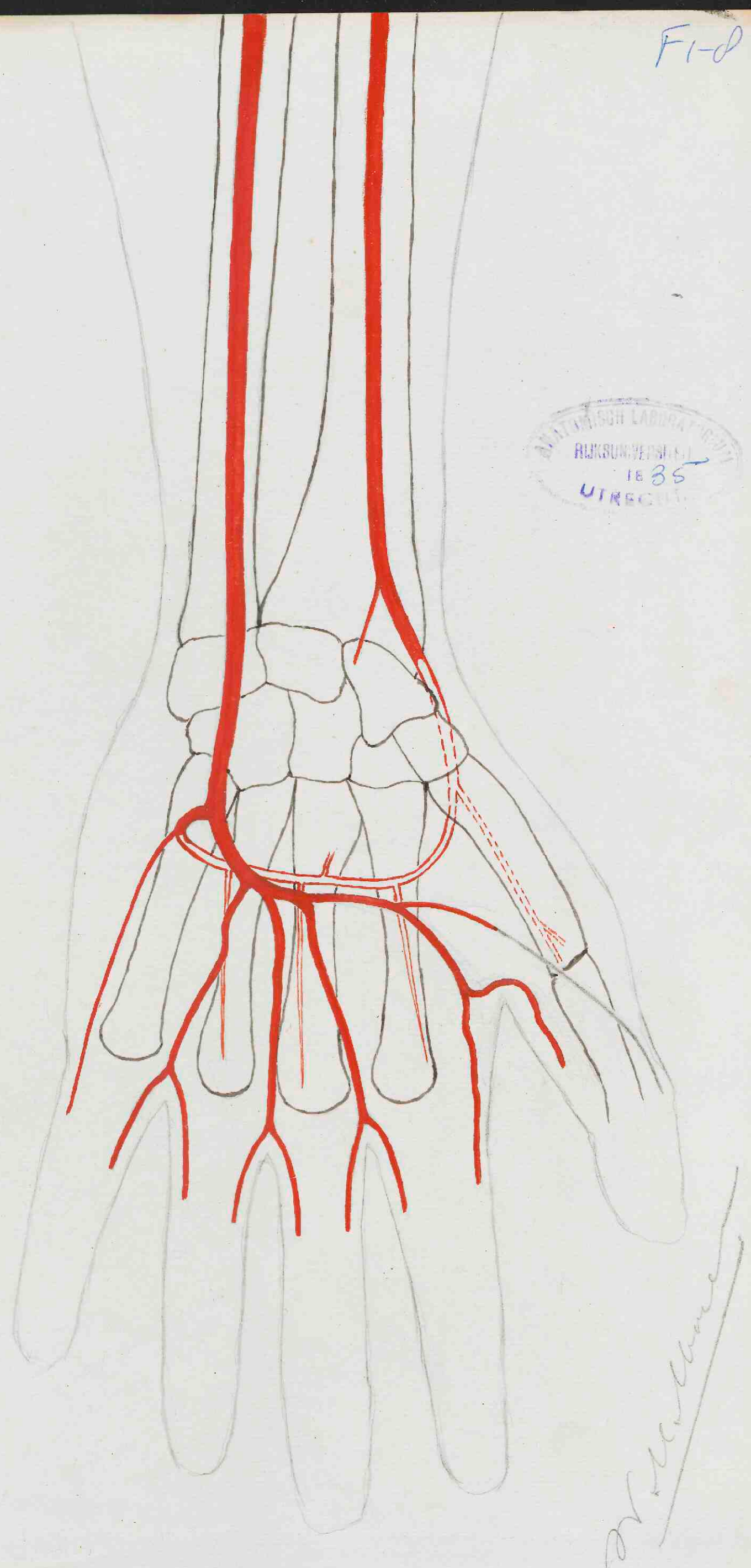


1894.  
et<sup>o</sup> 12.

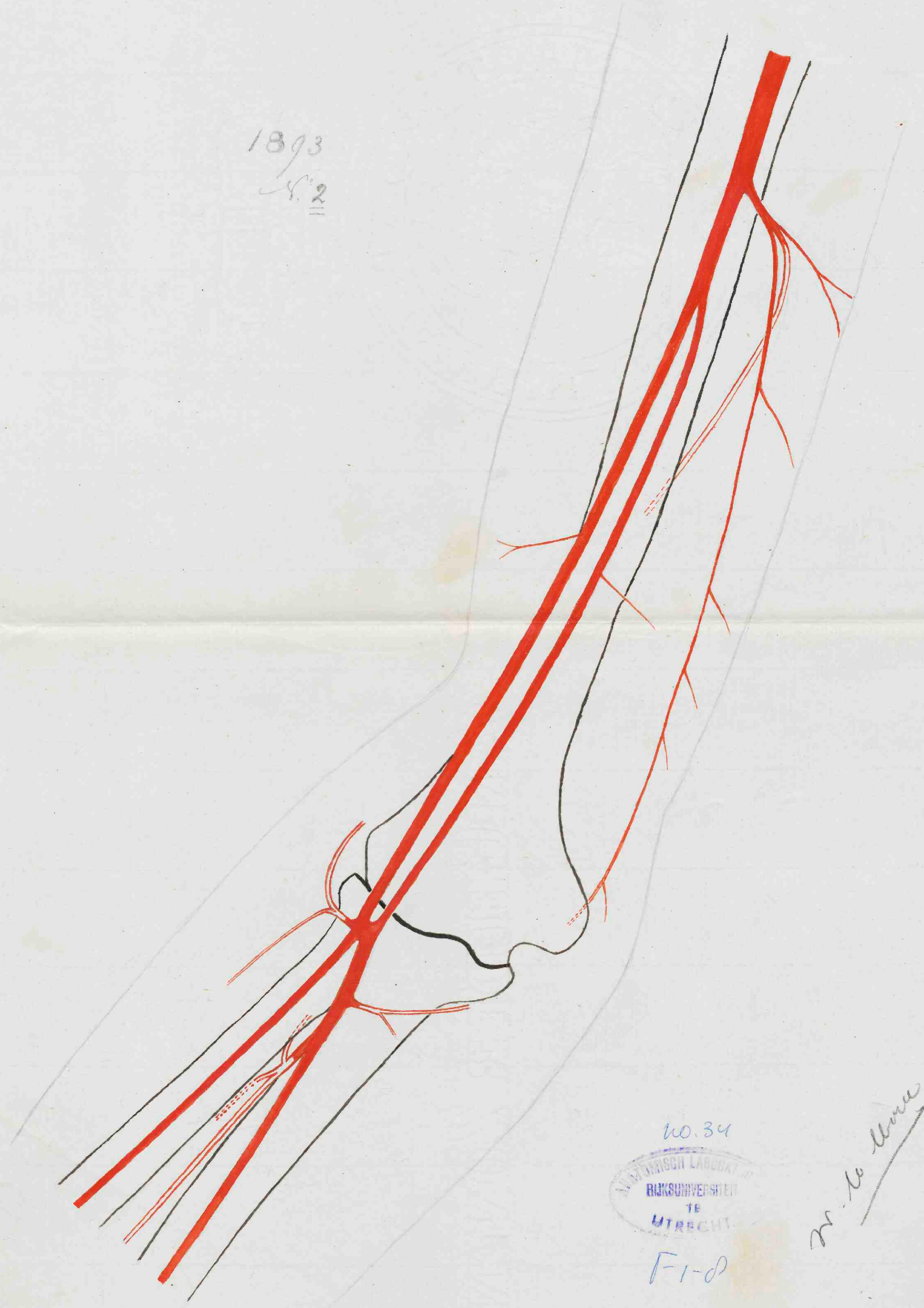
F1-d

1894.

7-12



1893  
8.2

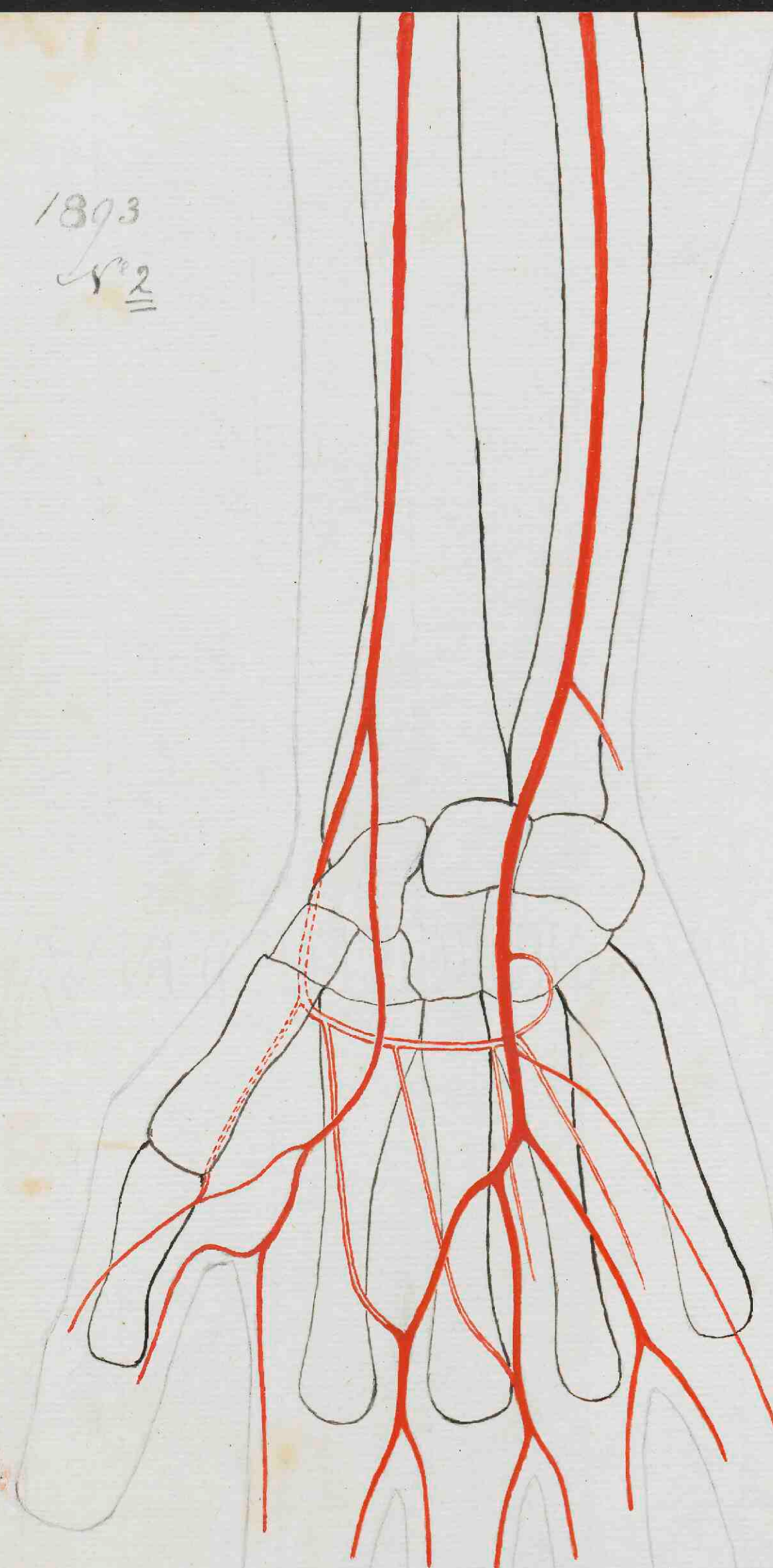
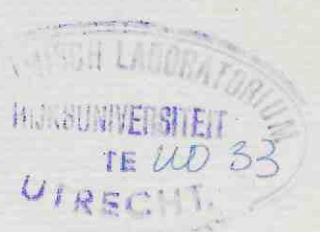


F 1-8

Fr-8

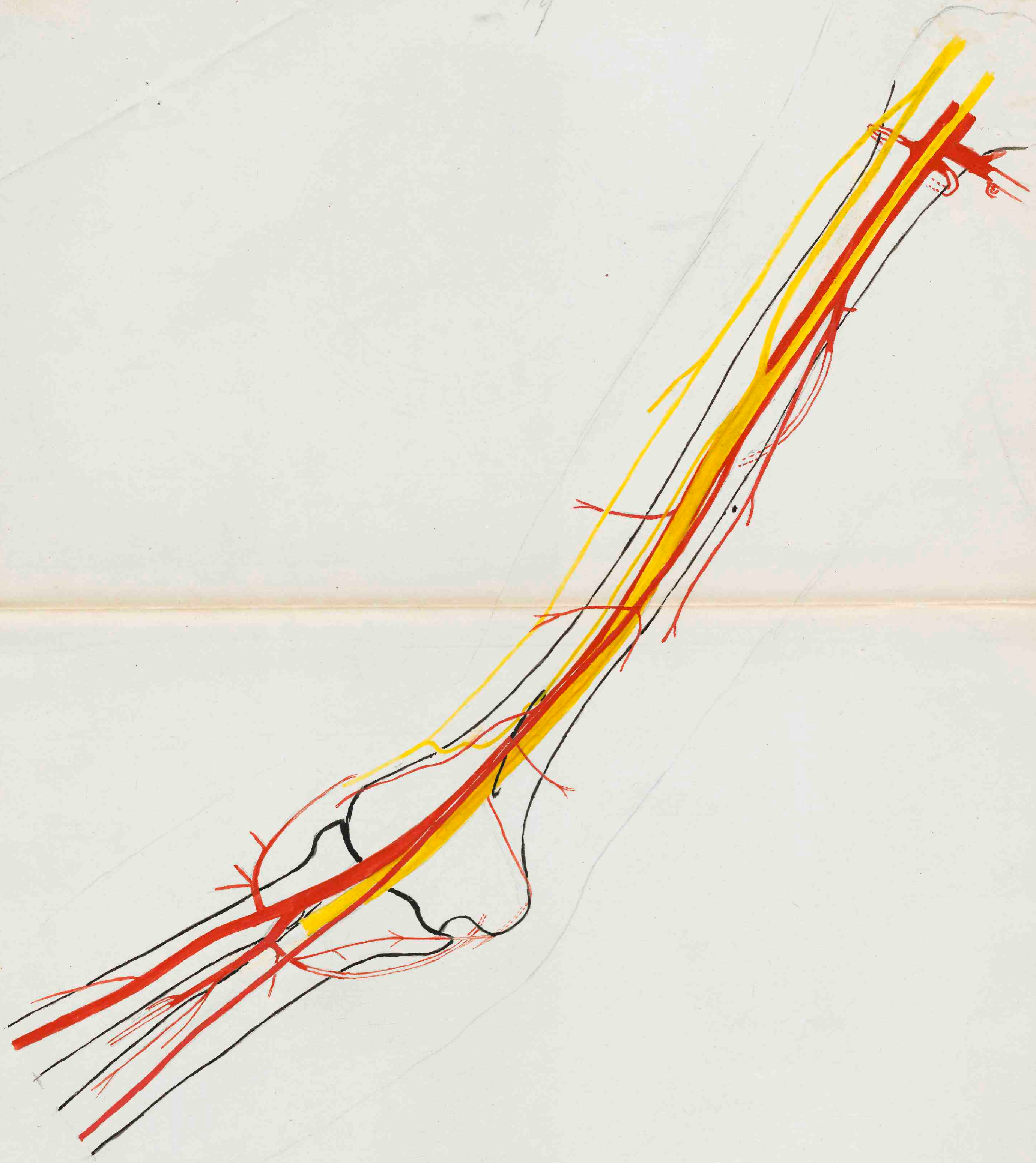
1893

N<sup>o</sup> 2

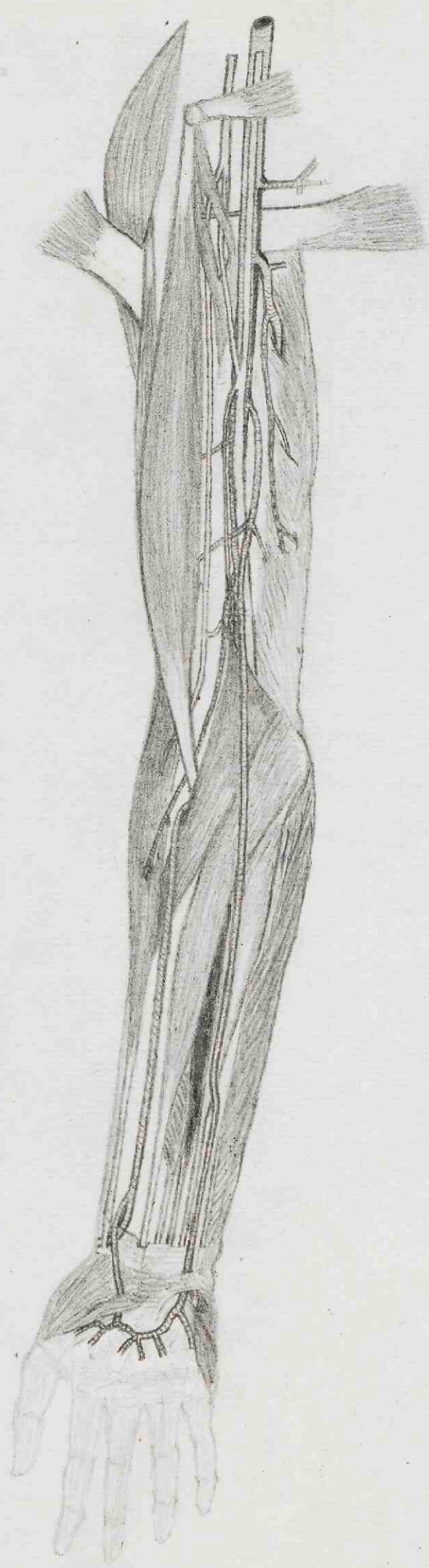


Fr. 8  
n. n. n. n.

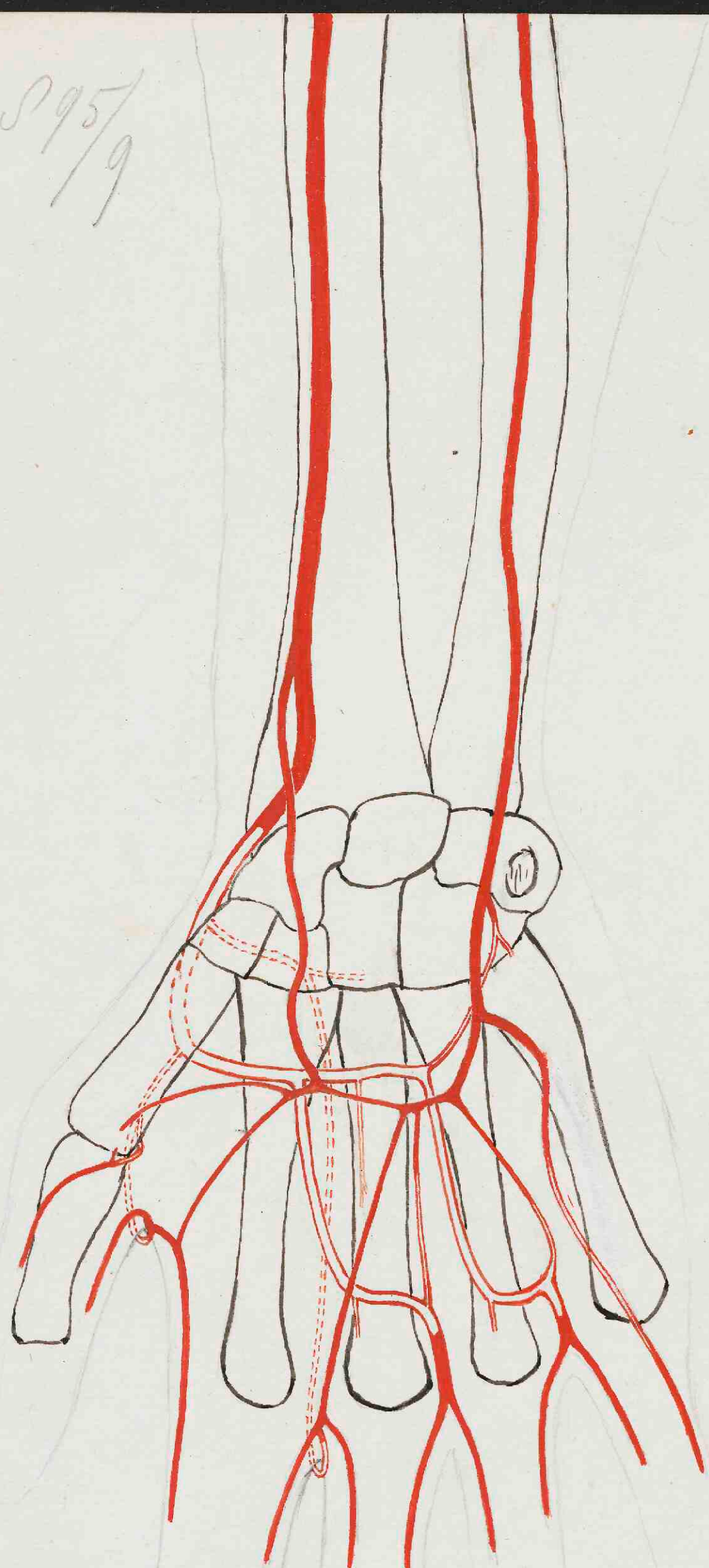
1095/9



1895/9



1895/9

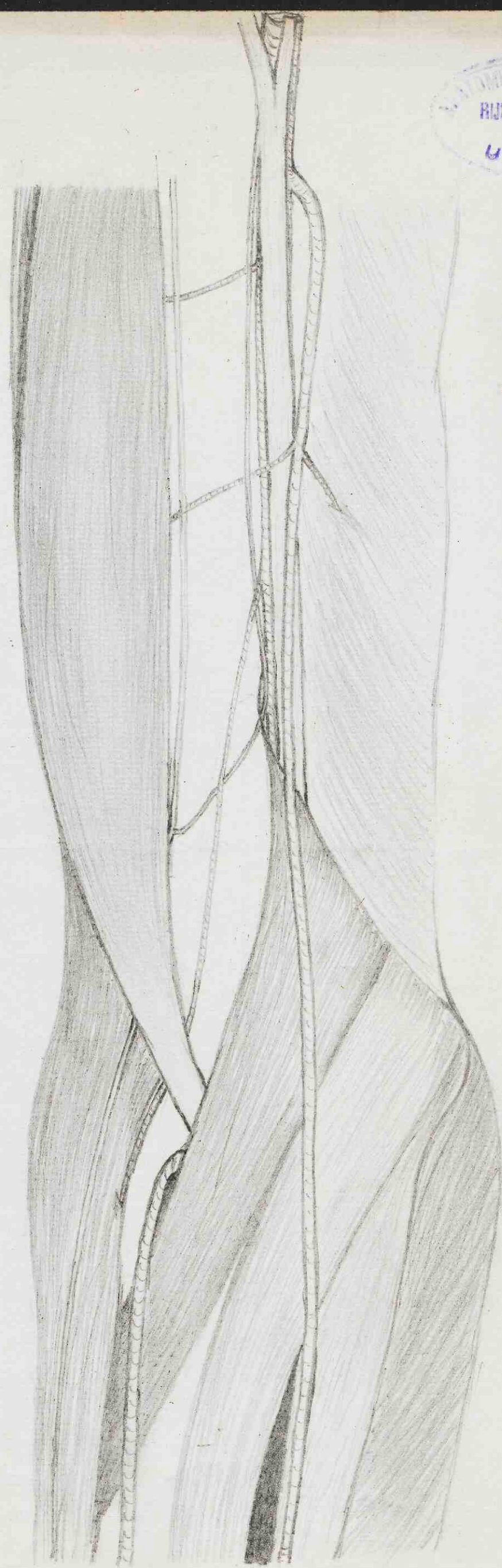


F-1



no. 41

1895  
9

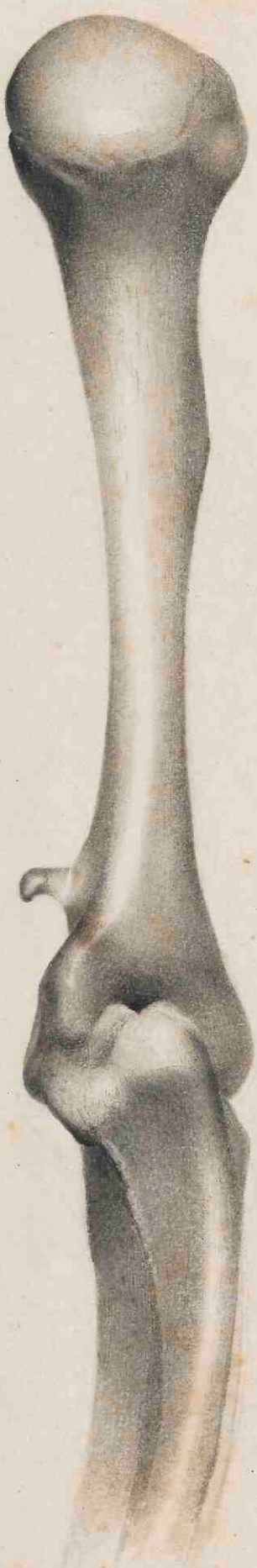


F1-8

STAMISH LABOR  
RIJKSUNIVERSITEIT  
UTRECHT  
no. 39

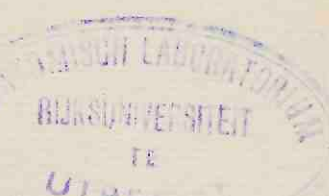
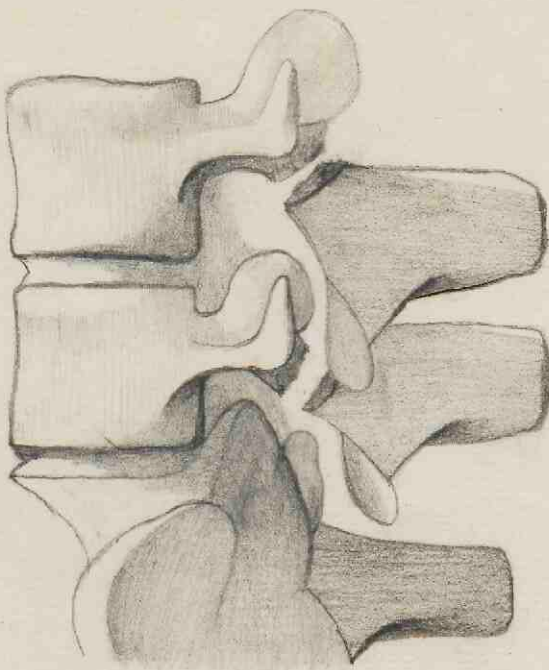


F1-D.



F1-d

2.



No. 31

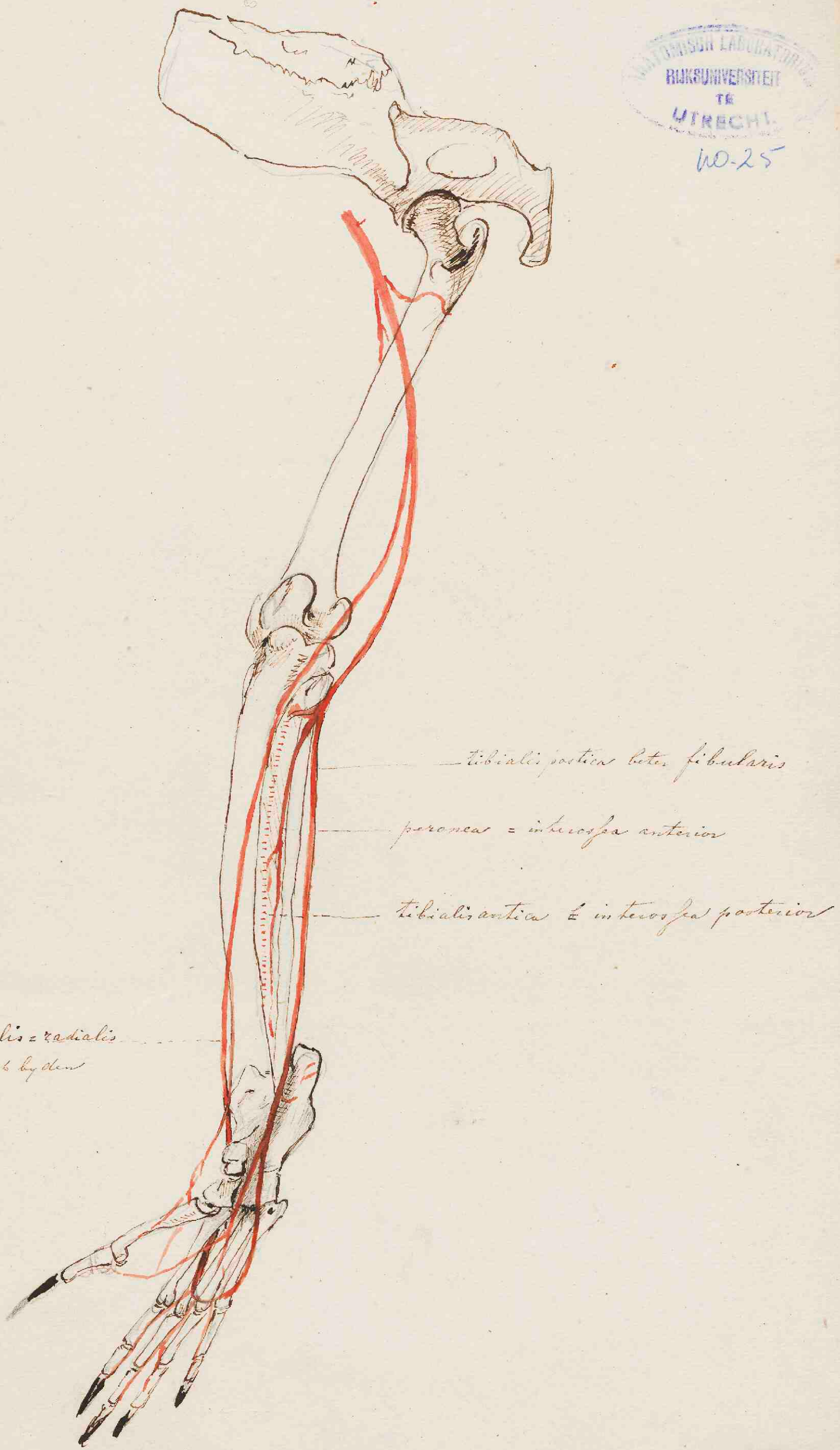
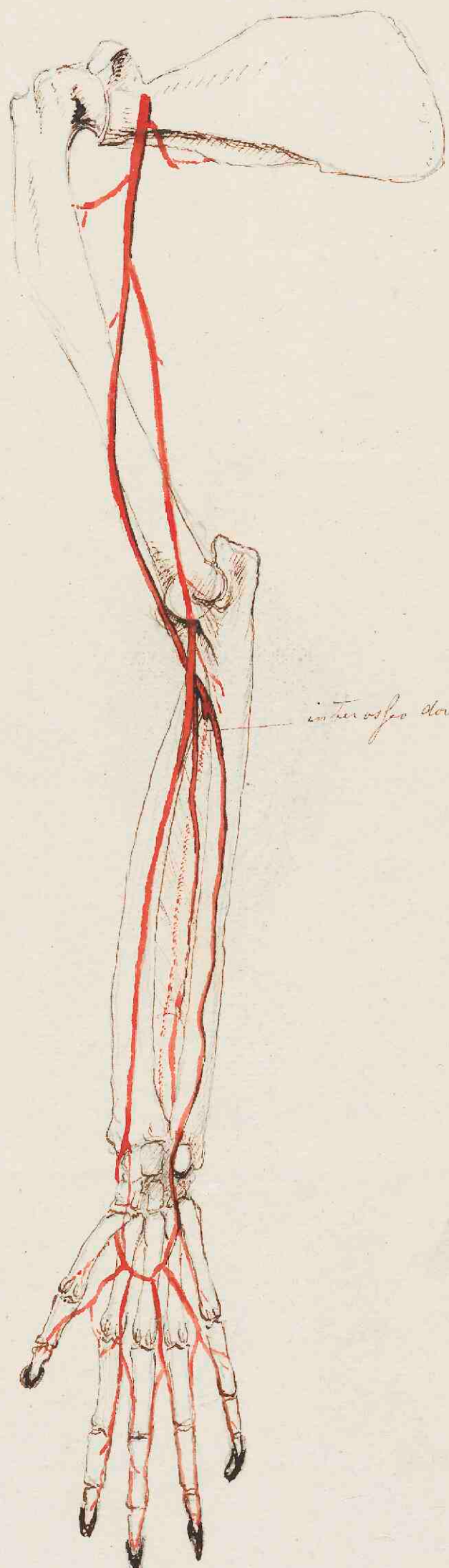
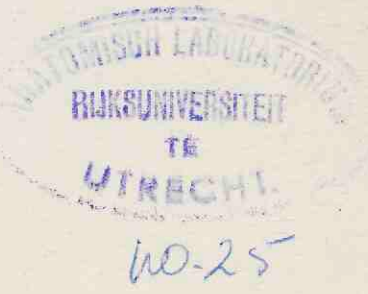
Delineatio vertebrarum anomalarum, in "Nederlandst  
tijdschrift voor geneeskunde, 1860, pag: 197" beschreven.

Sugde Batas: enen Decemb. 1860.

W. H. de Br.

van een Macacus cynomolgus.

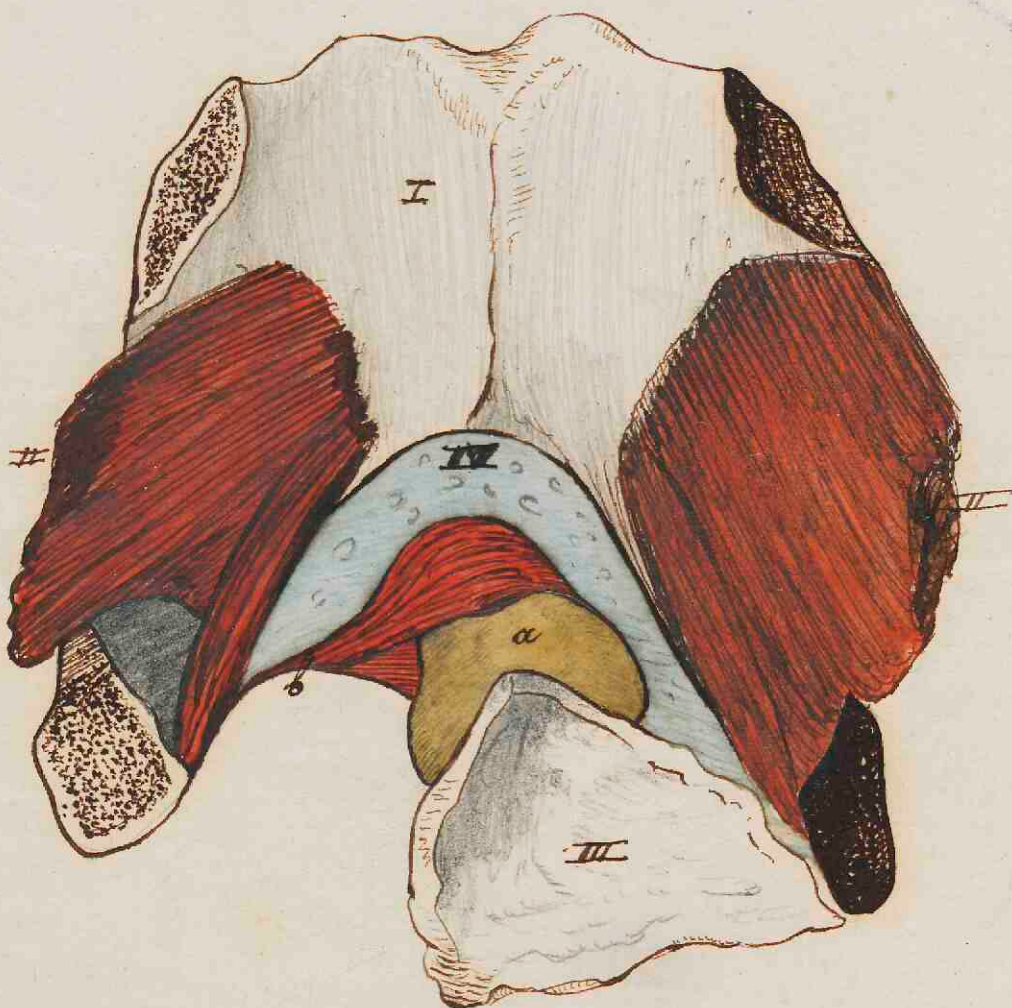
F1-0



F 1-8

RIJKSUNIVERSITEIT  
TE  
UTRECHT

NO. 24

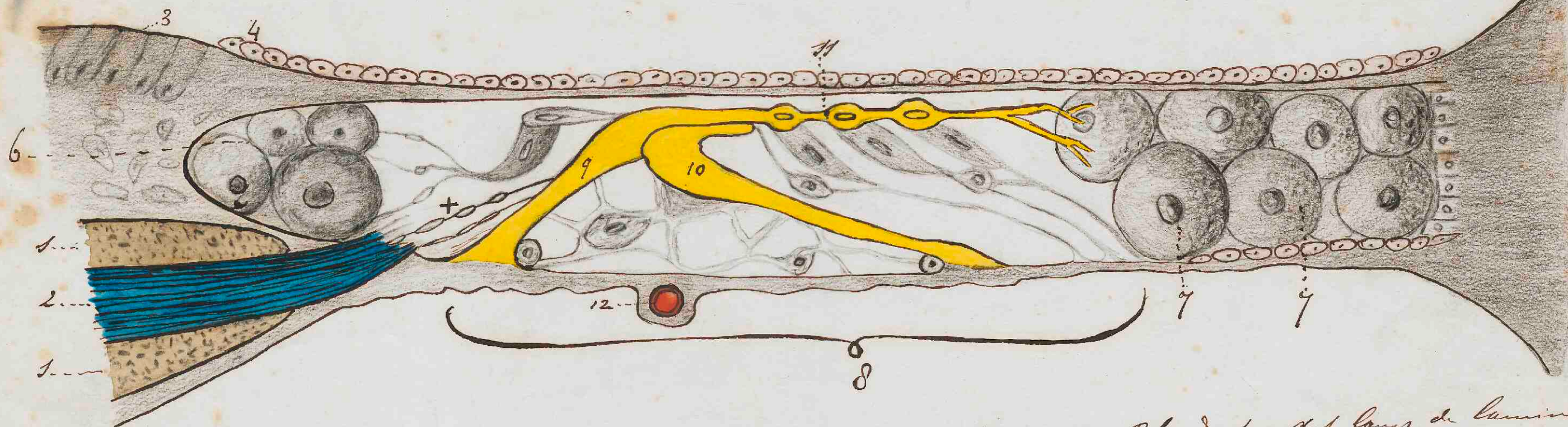


- I. Achterol. der Symph. pubis
- II. Musc. obturat. intern.
- III. Openings Vesica urin.
- IV. Ligam. triangul. rectum
- a. gland. prosta
- b. Muscularis compress. urethrae

Schematische voorstelling van een doorsnede der lamina spiralis cochleae  
(Leiters - Helmholtz?)

Abb. 3.

E 1-0  
RIJKSUNIVERSITEIT  
UTRECHT  
nr. no 23



1. Lining of the Lam. Spir. ossea  
with a nucleus, outer

2. Nerve fiber.

3. Thickening of the periosteum,  
which is in the m. tectorius  
(Corti) overgoedt.

4. Epithelial layer of the m. tectorius  
(of the Scala vestibuli).

5. Thickening, so-called cochlear wall  
of the Lam. Spir. membranous, of  
the wall of the cochlea.

6 en 7. Groote ronde cellen in de midden  
tussen de twee vliezen der Lam.  
Spir. membran. (Scala media)

8. Middelste gedeeltje der Scala me-  
dia, dat het eegelijke cortische  
orgaan bevat).

9. Nerve of the eerste rei.

10. " " tweede ", met 9  
een soort van anterolaterale commissie.

11. Lamina reticularis of the inner  
snout gesien.

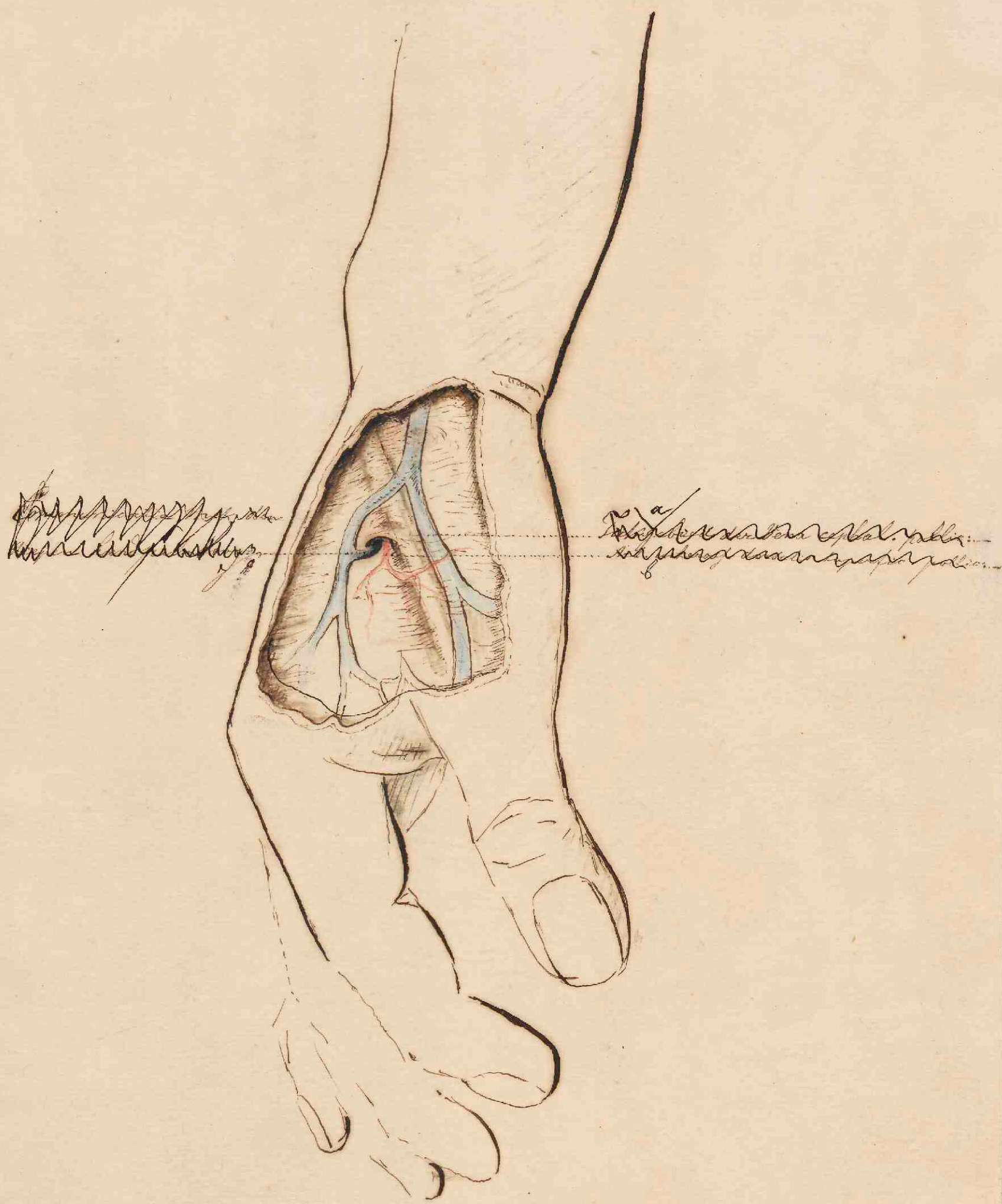
12. Bloedvat, dat langs de Lamina spirali verloopt.

de overige vormelementen zijn bindweefselcellen  
versels, welke het stroma van de cortische  
organen vormen.

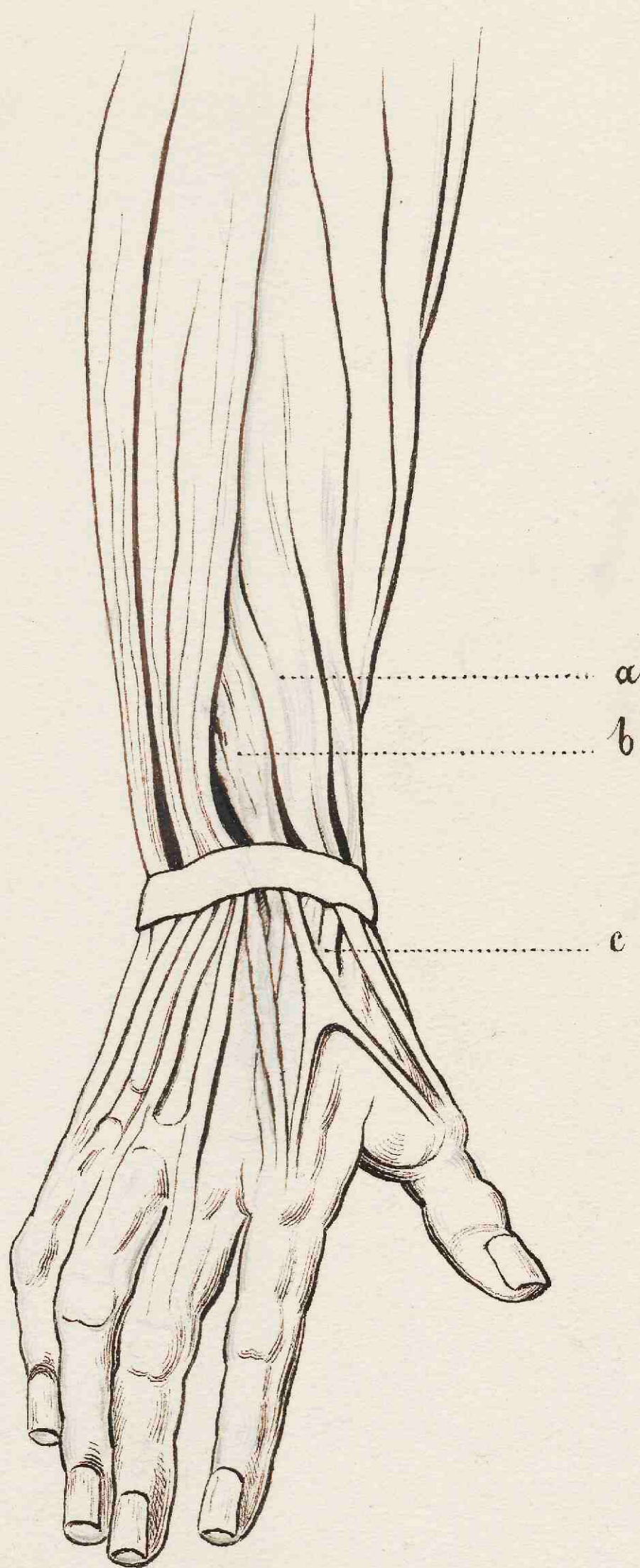
Het verband tussen de Nervefiber (2) en de  
corticale vezelen is nog onbekend. Naar zicht  
bij + enkele kleinere cellen, die de  
Nervefiber oppassen.

Volgens de theorie van Helmholtz is nu ~~af~~  
dat het werkingsgebied uitgebreid tot de ~~hoede~~; loopt een  
maar, voor een latere toepassing gesteld. De opeenvolgend aantal  
dorpslike en verschillende toren gestoende traves, minder dan  
vele in Corti.

F 1-8



F1-0



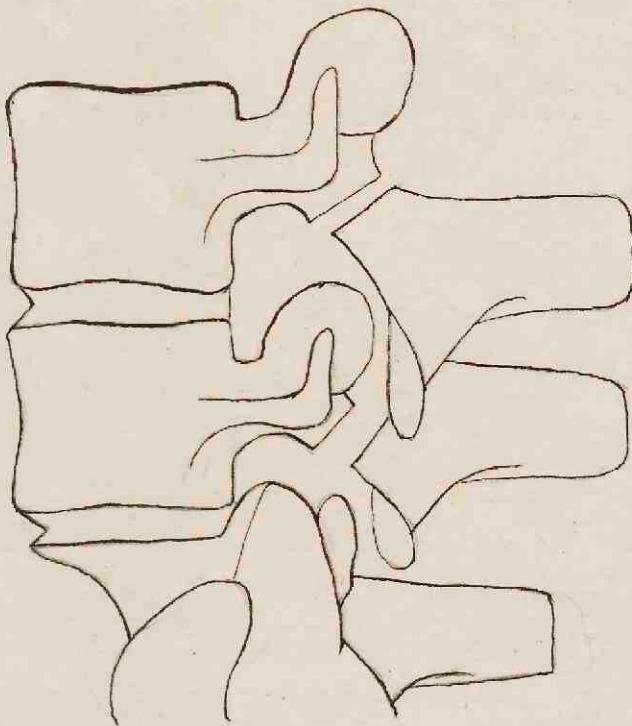
Hand van een jongen man.

Bijzondere peesstrooken van den  
m. indicator, één naar den duim.

April 1878.

- a. M. extens. pollic. longus.
- b. M. indicator.
- c. Pees v. M. ext. carpi rad. long.

F1-0

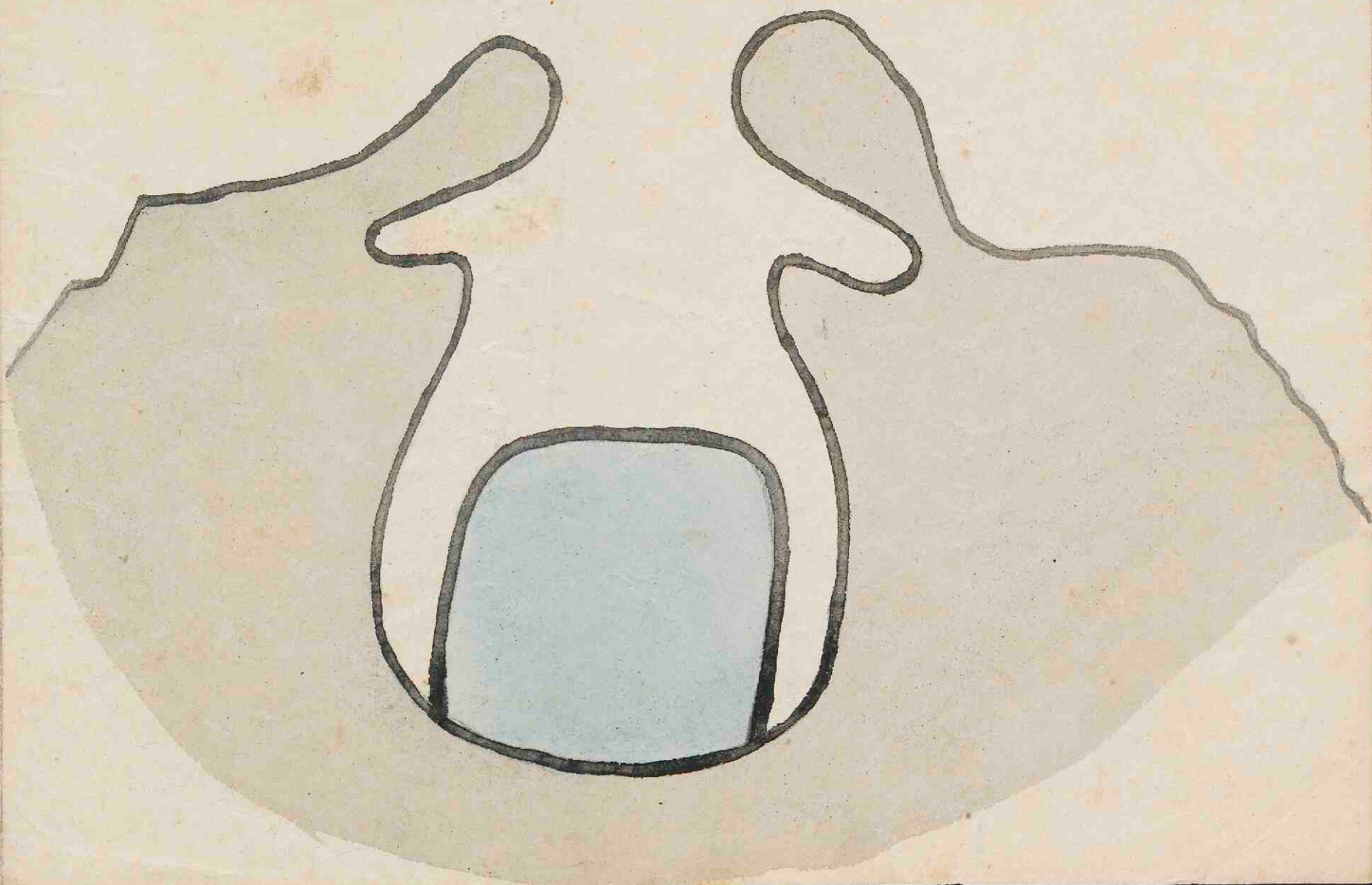


Vertebrae monodelphae. Arcus process posterior, cum anterior  
process, synchondrosis conjuncta.

Nederlandse tydruksels van gevarieerde W.O., pag 197.

Leid: Batav: m. December 1887.

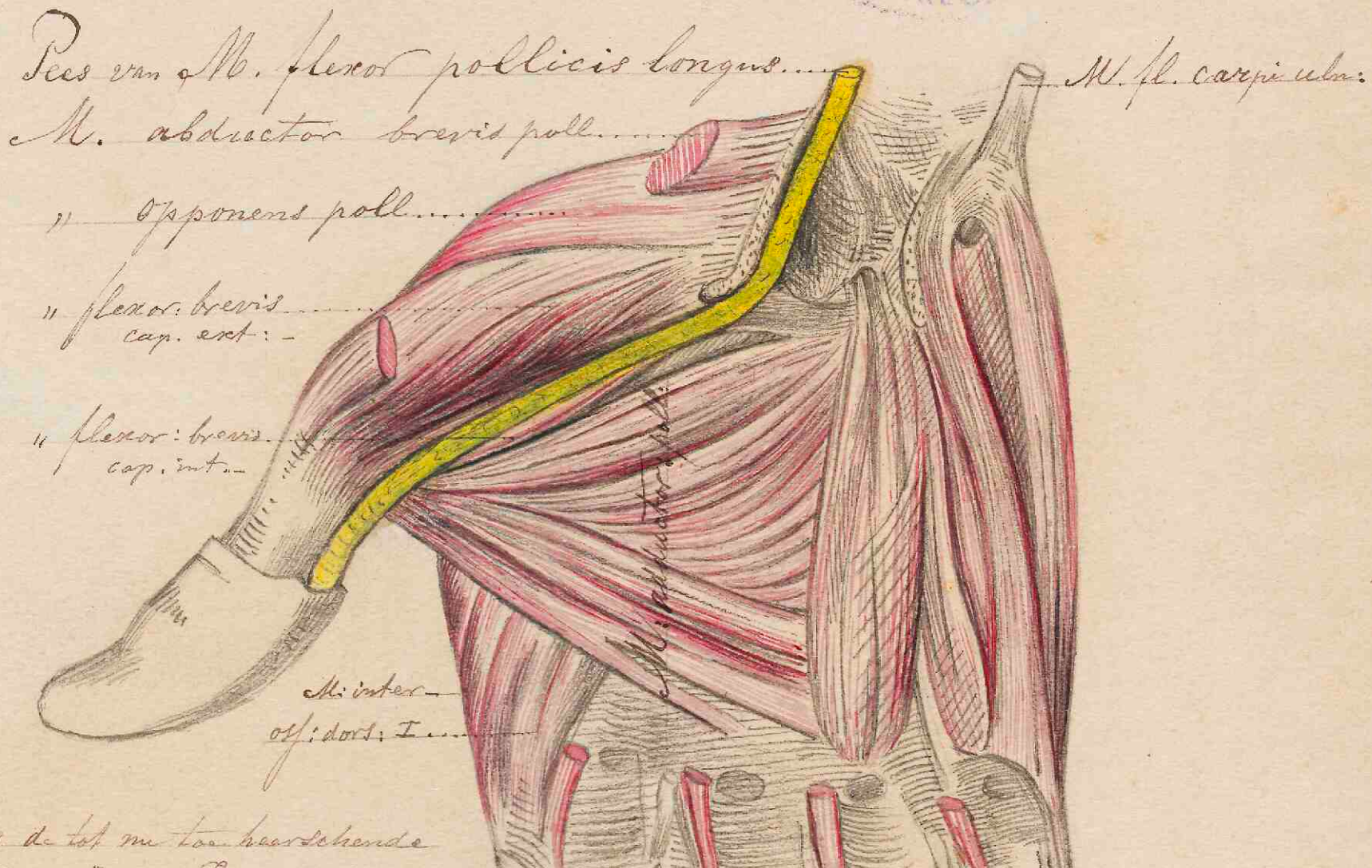
W. Verdelis



no. 28

F 1-9

ANATOMISCHE  
RIJKSUNIVERSITEIT  
UTRECHT



(Volgens de tot nu toe heersende voorstellingen van de M. pollicis long. bij D'Arqz. ostaan ontbreken, en de M. adductor pollicis uitgravingen als buigen van het nagellicid van den duim.)

Gewone toestand der korte spieren voor het eerste lid van den duim, en van depees van de lange buigspieren voor het tweede (nagel) lid.

*Teekeningen.*



F 1  
8